

الجمهورية الجزائرية الديمقراطية الشعبية  
REPUBLIQUE ALGERIENNE DEMOCRATIQUE ET POPULAIRE

وزارة التعليم العالي والبحث العلمي  
Ministère de l'Enseignement et de la Recherche Scientifique  
»o«

85/85

ECOLE NATIONALE POLYTECHNIQUE

1 ex

DEPARTEMENT GENIE CIVIL

## Projet de Fin d'Etudes

المدرسة الوطنية للعلوم الهندسية

المكتبة

en vue de l'obtention du diplôme d'ingénieur d'état

ECOLE NATIONALE POLYTECHNIQUE

BIBLIOTHÈQUE

Sujet

# Salle de Sport Ossature Autostable Toiture en béton Précontraint

Proposé par :

**B. E.A.D.**

dirigé par :

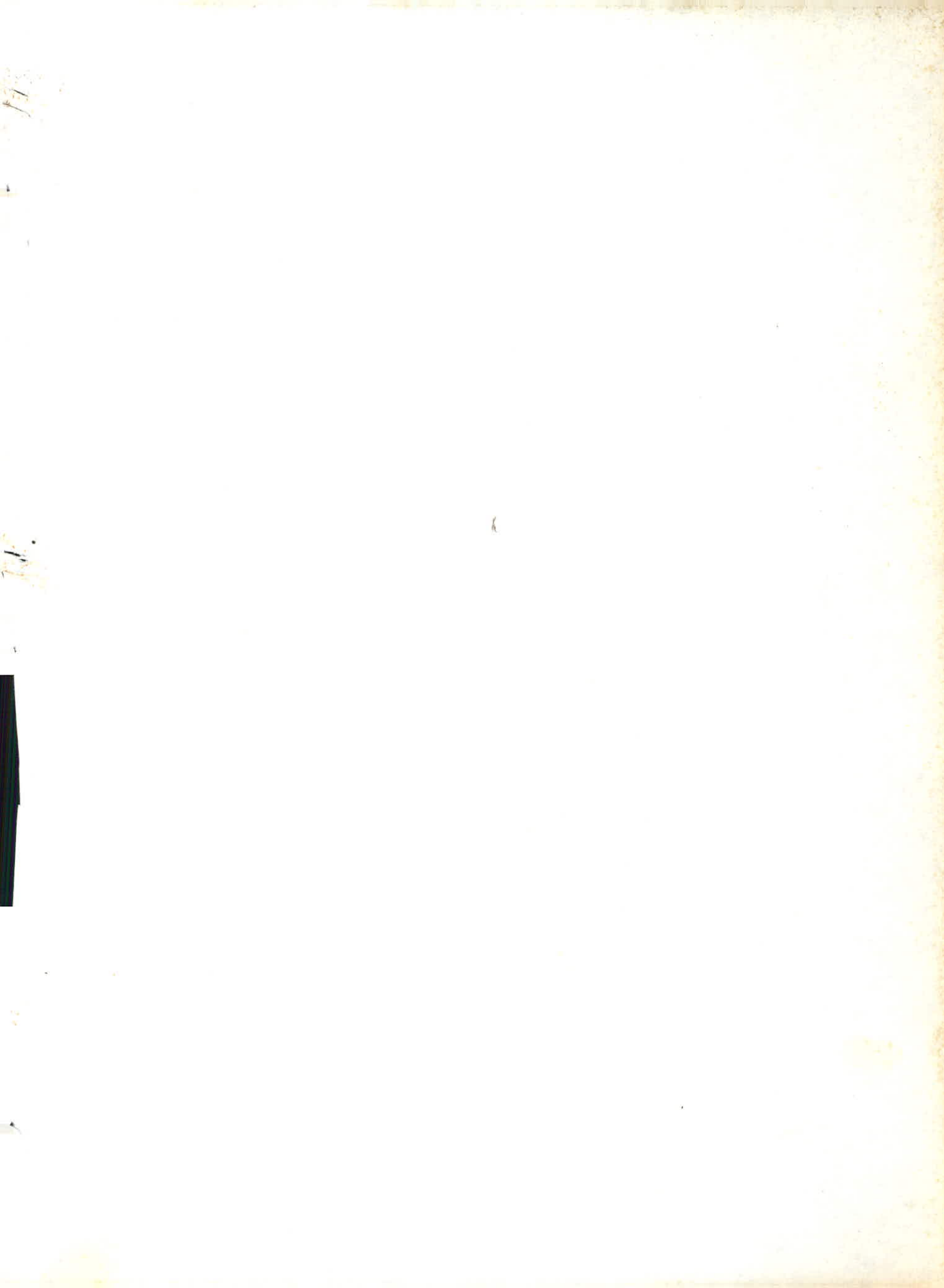
**Mr CRAINIC**

étudié par :

**M. ZENATI**

**B. BENNAOUM**

Promotion Juin 1985



الجمهورية الجزائرية الديمقراطية الشعبية  
REPUBLIQUE ALGERIENNE DEMOCRATIQUE ET POPULAIRE

وزارة التعليم العالي والبحث العلمي  
Ministère de l'Enseignement et de la Recherche Scientifique  
»o«

ECOLE NATIONALE POLYTECHNIQUE

DEPARTEMENT GENIE CIVIL

## Projet de Fin d'Etudes

en vue de l'obtention du diplôme d'ingénieur d'état

### Sujet

**Salle de Sport  
Ossature Autostable  
Toiture en béton  
Précontraint**

Proposé par :

**B. E.A.D.**

Etudié par :

**Mr CRAINIC**

Dirigé par :

**M. ZENATI**

**B. BENNAOUM**

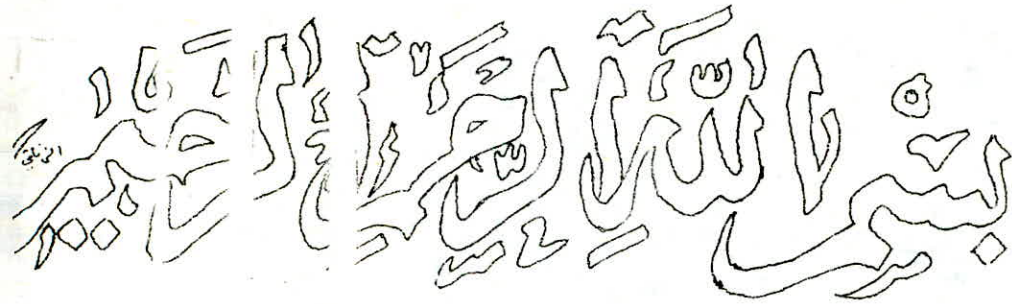
Promotion Juin 1985

# REMERCIEMENTS

Nous tenons à remercier vivement notre promoteur CRAINC pour sa disponibilité durant l'élaboration du modeste travail et pour ses conseils et orientations puisés dans sa grande expérience et ses riches connaissances théoriques et pratiques.

Nos plus sincères remerciements à tous les enseignants qui ont contribué de près et de loin à notre formation en particulier HAFIDI BAGHDADI + CHE IAF

Tous les membres de notre jury trouvent ici notre gratitude et nos remerciements pour l'honneur qu'ils nous font en jugeant notre modeste travail.



## Dedicaces

A mon mari : de mon grand père Mohomed

A ma ante et mère El Hadja Zineb

A mon oncle Tayeb

A mon frère

A ma sœur

A nos sœurs et soeurs

A tous mes amis

M. Zenati

A l'amour de ma mère

A mon père

A ma belle-mère

A mes grands-parents

A mes sœurs et soeurs

A mes tantes

A tous mes amis

B. BACHIR.

# TABLE DES MATIERES

Présentation de l'ouvrage.

Caractéristiques mécaniques des matériaux

Etude de la précontrainte.

Charges Verticales

Etude au Vent

Etude au séisme

Superposition des sollicitations

Calcul des poutres

Calcul des poteaux.

Etude des gradins

Calcul des escaliers

Calcul de l'accrotière

Voile périphérique

Fondations

Calcul des tassements.

## PRESENTATION de L'OUVRAGE

Le projet qui nous a été proposé par le B.E.A de DJELFA, consiste à l'étude et au calcul des éléments résistants d'une salle de sports qui sera implantée à LAGHOUAT classée par l'organisme C.T.C comme région de forte sismicité. longueur = 48m . largeur : 30m.

### OSSATURES

La salle est contreventée par des portiques transversaux et longitudinaux, le remplissage sera fait avec de la maçonnerie. Un joint est placé à mi-longueur.(24m)

### Toiture:

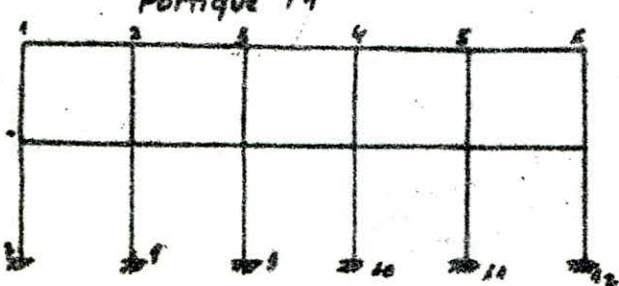
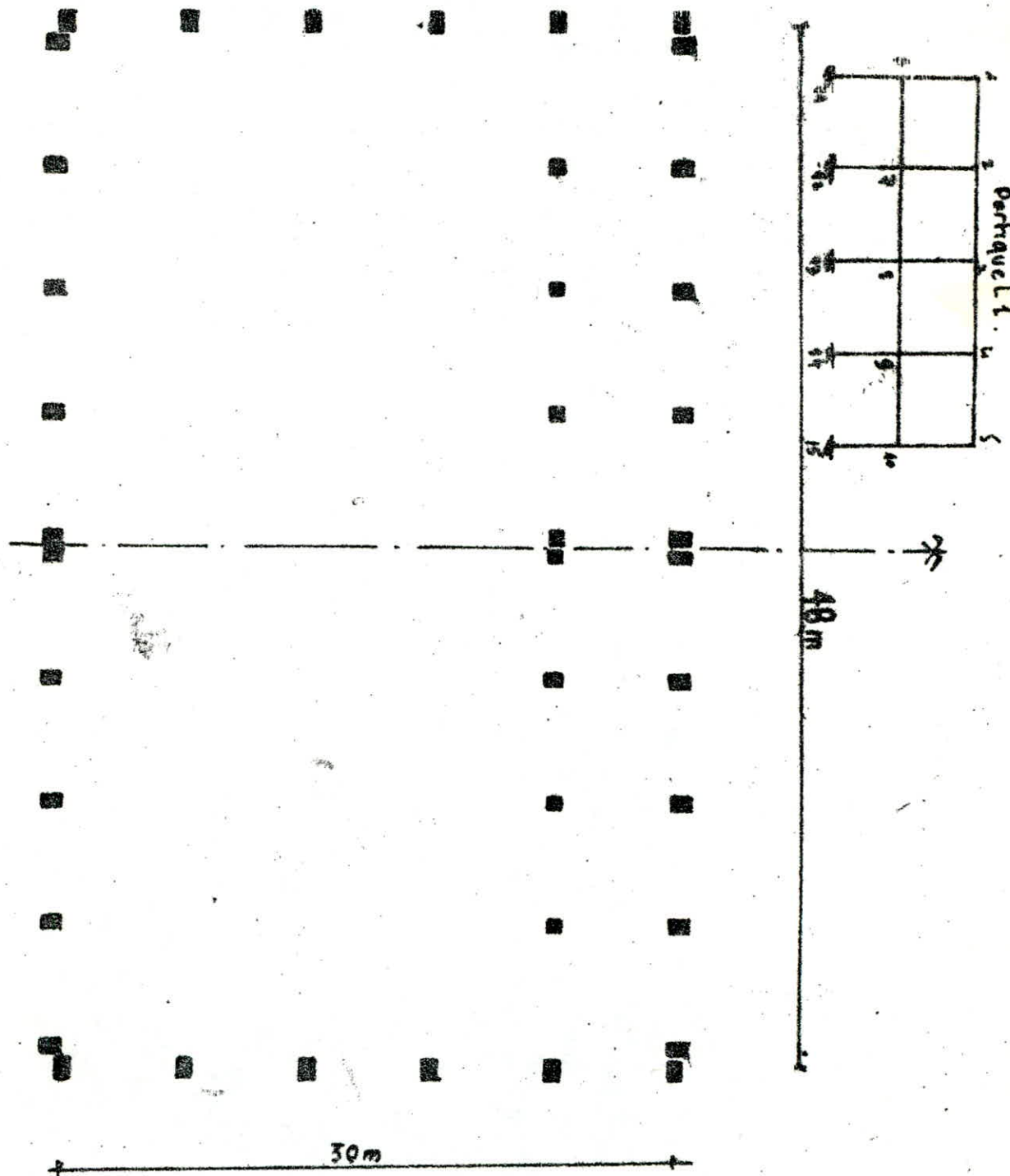
La toiture est constituée de poutres en béton précontraint (pré-tension) disposées dans le sens transversal.

### Gradins:

les gradins sont disposés sur toute la longueur, constitués de poutres transversales et longitudinales reliées entre elles par des paliers (cilles).

### Taux de travail du sol:

le rapport de sol fournit une contrainte admissible  $\bar{\sigma}_s = 2,5$  bars à une profondeur de 1,50 m.



CARACTÉRISTIQUES des MATERIAUXBéton:

le béton est dosé à 350 kg/m<sup>3</sup> de ciment CPA 315 à saut de 10 mm.

$c_g = 25 \text{ mm}$  : dimension maximale du granulat.

$\sigma_{28}' = 270 \text{ bars}$  Resistance nominale de compression à 28 jours.

$\tau_{28} = 25,2 \text{ bars}$  Resistance nominale de traction à 28 jours.

Dosage pour 1m<sup>3</sup> de béton:

800 l de gravillons

400 l de sable

350 l de ciment CPA 325

175 l d'eau

Le sable doit être propre et ne doit comporter ni terre, ni matières organiques ni argile.

Le gravier doit être propre et dur. L'eau doit pure et sans acide.

contrainte de compression admissible (Art 9.4 CCBA 68)

$$\bar{\sigma}_b' = \alpha \beta T \delta E \sigma_{28}'$$

où

•  $\alpha$  dépend de la classe du ciment  $\rightarrow \alpha = 1$  CPA 325

•  $\beta$  dépend de l'effacé du contrôle  $\rightarrow \beta = 5/6$  contrôle affiné

•  $\gamma = \begin{cases} 1 & \text{si } h_m \geq 4c_g \\ \frac{h_m}{4c_g} & \text{si } h_m < 4c_g \end{cases}$  dépend de l'épaisseur relative des éléments et la grosseur du granulat.

0,3 compression simple

•  $b = \begin{cases} 0,6 & \text{flexion simple et flexion composée avec traction} \\ \min[0,6, 0,3(1 + \frac{e_0}{3c_g})] & \text{flexion composée avec N compression} \end{cases}$

$e_0$  étant l'excentricité de la résultante des forces extérieures au CG du béton seul.

$c_g$ : Distance de la limite du noyau central au CG du béton seul dans le plan radial passant par le centre de pression

$\alpha b = 1$  compression simple et section rectangulaire en flexion simple ou en flexion composée avec traction.

$0,5 \leq E < 1$  pour les autres cas avec  $\bar{\sigma}_m' \leq \bar{\sigma}_{b_m}'$

compression simple:

$$\bar{\sigma}_{b_0}' = \alpha \beta T \delta E \sigma_{28}' = 1 \cdot 5/6 \cdot 0,3 \cdot 1 \cdot 275 = 68,5 \text{ kg/cm}^2$$

Flexion simple ou flexion composée avec traction (section rectangulaire)

$$\bar{\sigma}_b' = \alpha \beta T \delta E \sigma_{28}' = 1 \cdot 5/6 \cdot 1 \cdot 0,8 \cdot 1 \cdot 275 = 137 \text{ kg/cm}^2$$

### Ferion composées

$$\bar{\sigma}_t = \begin{cases} \bar{\sigma}_{t,0} & \text{si } e_0 > \frac{h_t}{2} \\ \bar{\sigma}_{t,0} \left( 1 - \frac{2e_0}{h_t} \right) & \text{si } e_0 < \frac{h_t}{2} \end{cases}$$

Contrainte de traction de référence: CCBA 68 Art 95

$$\begin{aligned} \bar{\sigma}_t &= \alpha \beta \gamma \delta \bar{\sigma}_{t,0} \quad \text{avec } \alpha = 0,018 + \frac{0,1}{f_{ck}^{\prime}} [\text{Nm}] \\ &= 1,56 \cdot 1 \left( 0,018 + \frac{0,1}{270} \right) 275 = 5,9 \text{ kg/cm}^2 \end{aligned}$$

### Aciers.

#### . Aciers doux ouronds lisses Fc E24

$$\bar{\sigma}_s = \bar{\sigma}_0 = \bar{\sigma}_f \quad \text{car } \gamma_0 = 1/3 \quad \bar{\sigma}_f = 2400 = 1600 \text{ kg/cm}^2$$

#### . Aciers tendre adhérence: Fc E 40

$$\phi \leq 20 \text{ mm} \rightarrow \bar{\sigma}_{s0} = 4200 \text{ kg/cm}^2 \rightarrow \bar{\sigma}_s = 2,6 \bar{\sigma}_{s0} = 2000 \text{ kg/cm}^2$$

$$\phi > 20 \text{ mm} \rightarrow \bar{\sigma}_{s0} = 4000 \text{ kg/cm}^2 \rightarrow \bar{\sigma}_s = 2,6 \bar{\sigma}_{s0} = 1670 \text{ kg/cm}^2$$

#### . treillis solides:

$$\bar{\sigma}_{s0} = 5300 \text{ kg/cm}^2 \quad \text{si } \phi \leq 6 \text{ mm}$$

$$\bar{\sigma}_{s0} = 4500 \text{ kg/cm}^2 \quad \text{si } \phi > 6 \text{ mm}$$

Contraintes admissibles imposées par la condition de fissuration

$$\cdot \bar{\sigma}_s \geq \max(\bar{\sigma}_1, \bar{\sigma}_2) \quad (\text{CCBA 68 Art 99})$$

$$\bar{\sigma}_1 = \frac{k \varphi}{\phi} \frac{\bar{\omega}_f}{1 + 100 \bar{\epsilon}_f} \quad \bar{\sigma}_2 = 2,4 \sqrt{\frac{k \varphi f_b}{\phi}}$$

avec:  $\phi$  en [mm] diamètre de la plus grosse barre.

$$k = \begin{cases} 1,5 \cdot 10^6 & \text{site protégé, fissuration peu nuisible} \\ 10^6 & \text{site intempéries, fissuration préjudiciable} \\ 0,5 \cdot 10^6 & \text{site agressif, fissuration très préjudiciable} \end{cases}$$

$\varphi$ : coefficient de fissuration

$$\varphi = \begin{cases} 1 & \text{R.L.} \\ 1,6 & \text{H.A.} \end{cases}$$

$$\bar{\omega}_f = \frac{A}{A_f}$$

$A$ : section totale des barres tendues

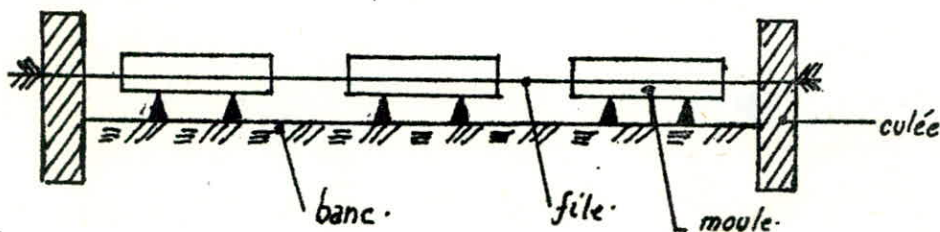
$A_f$ : section du béton encroûtant les barres tendues.

## ETUDE de la Precontrainte

### généralités - Procédé

Les poutres constituant la torture sont en béton précontraint, le mode utilisé est la prévention (ou à armatures adhérentes).

La précontrainte par prévention est obtenue entendant à l'avance les aciers en fixant sur les culées solidement ancrées. Les armatures existent sur toute la longueur du moule souvent sur la longueur de plusieurs moulages disposées bout à bout sur un banc de mise en tension dont la longueur peut atteindre une centaine de mètres.



Les armatures traversent les extrémités des moulages dans lesquelles, le béton est coulé directement en contact de l'acier. Lorsque le béton a atteint un degré de durcissement suffisant, les armatures sont détendues par relâchement de la force de traction aux extrémités et par sectionnement entre chaque moule. Les pièces démoulées se trouvent alors précontraintes par le jeu simple de l'adhérence des aciers tendus. Ses armatures précontrainte sont rectilignes, l'excentricité étant la même sur toute la longueur de la poutre.

Ce procédé est généralement utilisé dans les usines, il faut donc obtenir un dément aussi élevé que possible et par conséquent réduire au minimum la durée d'un lot d'opérations et ceci en utilisant des ciments à durcissement rapide, et accélérer la prise de ciment.

Règles de prédimensionnement:

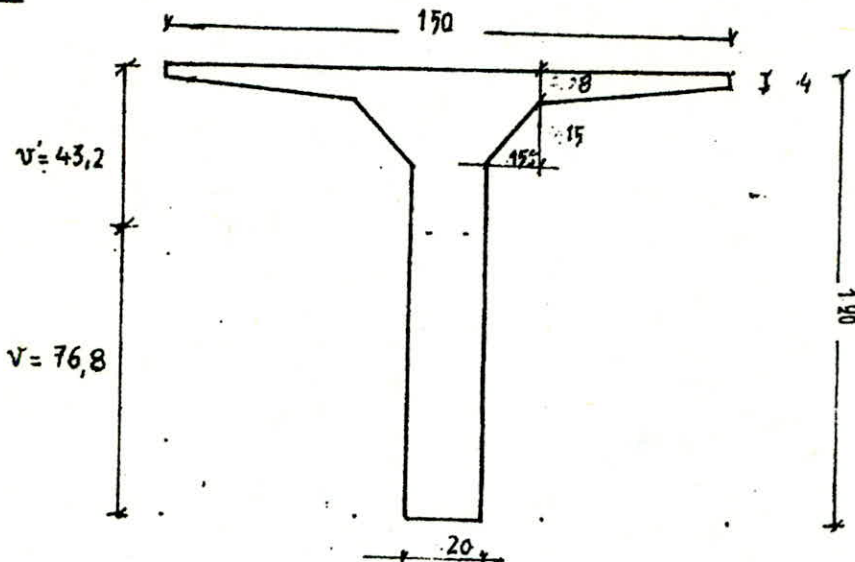
$$\bullet \quad \frac{L}{30} < h_t < \frac{L}{25}, \quad L=30\text{m.} \rightarrow 1\text{m} < h_t < 1,20\text{m}$$

$$h_t = 1,20\text{m}$$

$$\bullet \quad 9 + \frac{h_t}{40} \leq b_o \leq 20\text{cm} \rightarrow 12 \leq b_o \leq 20\text{cm.}$$

$$b_o = 20\text{cm.}$$

Autre de toiture : L = 30 m.



rmation des caractéristiques géométriques

$B_b$ [cm <sup>2</sup> ]	$B_n = 95\% B_b$	$v'$ [cm]	$v$ [cm]	$I_b$ [cm <sup>4</sup> ]	$I_n = 90\% I_b$
3465	3291,75	43,2	76,8	$5 \cdot 10^6$	$4,5 \cdot 10^6$

$r/r'$ [cm <sup>2</sup> ]	$I/r'$ [cm <sup>3</sup> ]	$L^2 = I/r$ [cm <sup>8</sup> ]	$\beta = \frac{L^2}{r r'}$
4167	38593,75	1367,05	0,41

$0,41 < 0,45 \rightarrow$  section massive. ( $\beta$ : rendement de la section).

$$-v' + d' = -76,8 + 44 = -32,8 \text{ cm.}$$

### EVALUATION DES CHARGES ET SURCHARGES.

#### a. Charges permanentes:

- Poids propre	2400 . 0,3465	= 831,6 kg/ml
- forme de pente	1,50 . 75	= 112,25 -
- étanchéité	1,50 . 50	= 75 -
- Protection (sable ou gravier)	1,50 . 85	= 127,5 -
		1,146 t / ml.

#### b. surcharges

- Toiture non accessible	1,50 . 85	= 150 daN / ml.
--------------------------	-----------	-----------------

La poutre est simplement appuyée sur la structure, on aura alors; moment max à mi-traveé, et effort tranchant max aux appuis.

• Moment de flexion:

$$M_G = G \cdot \frac{l^2}{8} = 1,146 \cdot \frac{30^2}{8} = 129 \text{ t.m}$$

$$M_Q = 1,1 Q \cdot \frac{l^2}{8} = 1,1 \cdot 0,15 \cdot \frac{30^2}{8} = 18,5625 \text{ t.m.}$$

• Efforts tranchants :

$$T_G = G \cdot \frac{l}{2} = 17,2 \text{ t.}$$

$$T_Q = 1,1 Q \cdot \frac{l}{2} = 2,475 \text{ t.}$$

Contraintes élémentaires de flexion dans le béton.

\* Sous poids propre seul:

$$\text{Fibre supérieure: } \sigma_G = \frac{M_G v}{I} = \frac{129 \cdot 10^5 \cdot 43,2}{4,5 \cdot 10^6} = 123,4 \text{ kg/cm}^2$$

$$\text{Fibre inférieure: } \sigma_Q = -\frac{M_Q v'}{I} = -\frac{129 \cdot 10^5 \cdot 76,8}{4,5 \cdot 10^6} = -220,16 \text{ kg/cm}^2$$

\* sous surcharges seules

$$\text{Fibre supérieure: } \sigma_Q = \frac{M_Q v}{I} = \frac{18,56 \cdot 10^5 \cdot 43,2}{4,5 \cdot 10^6} = 17,82 \text{ kg/cm}^2$$

$$\text{Fibre inférieure: } \sigma_Q = -\frac{M_Q v'}{I} = -31,68 \text{ kg/cm}^2.$$

Sous précontrainte (en service), la contrainte de traction sur la fibre inférieure, sous l'effet du poids propre et des surcharges, atteindrait  $-220,16 - 31,68 = -251,84 \text{ kg/cm}^2$ .

Si l'on veut qu'il n'y ait pas dans ce cas de contrainte de traction, il convient d'appliquer une précontrainte d'au moins  $251,84 \text{ kg/cm}^2$ .

$$\sigma'_p = \frac{P}{B} \left( 1 - \frac{e^{v'}}{e^v} \right) \geq 251,84$$

soit P ≥ 291,6 t.

On prévoit, l'utilisation de câbles 7Φ8 de section  $A = 3,52 \text{ cm}^2$ , les pertes sont estimées à 25%.

$$\sigma_t = \sigma_0 - \delta \sigma. \quad \sigma_A: \text{tension résiduelle.}$$

$$\sigma_0 = \min(0,85 R_g, 0,95 T_g)$$

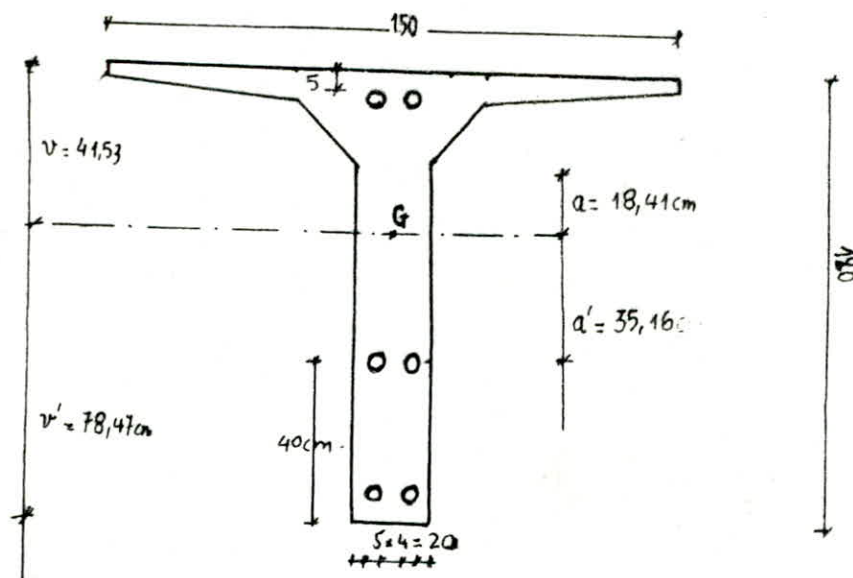
$$\sigma_t = 75\% \sigma_0 = 15725 \text{ kg/cm}^2$$

Le nombre de câbles est alors:

$$n = \frac{P}{A \sigma_A} = \frac{291,16 \cdot 10^3}{3,52 \cdot 15725} = 5,27$$

Soit 6 câbles 7Φ8 tendus à  $138 \text{ kg/mm}^2$ .

Nouvelles caractéristiques géométriques:



CDG des câbles:

$$x_G = \frac{2 \cdot 6 + 2 \cdot 40 + 2 \cdot 113}{6} = 53$$

$v' [cm]$	$v [cm]$	$I_b [cm^4]$	$I_{trous} [cm^4]$	$I_n [cm^4]$	$B_b [cm^2]$	$B_{brouss} [cm^2]$	$B_n = B_b - B_b$ [cm <sup>2</sup> ]	$\lambda^2 = \frac{I}{B}$ [cm <sup>2</sup> ]
78,47	41,53	$5 \cdot 10^6$	$48,91 \cdot 10^3$	$4,95 \cdot 10^6$	3465.	75,40	3389,6.	1460,35

$$B_{trous} = 6 \times \frac{\bar{4}^2}{4}, \quad I_{trous} = 6 \times \frac{\bar{4}^2}{4} (78,47 - 53)^2$$

$$\beta = \frac{\lambda^2}{vv'} = \frac{1460,35}{78,47 \cdot 41,53} = 0,448 < 0,45 \quad \text{section massive.}$$

TRACE de CABLES.

On essayera de vérifier le tracé déjà proposé, c'est que le centre de pression doit être toujours contenu dans le noyau central.

fuseaux limites: c'est la zone limitée par 2 courbes généralement paraboliques, dans lesquelles doit toujours se situer le centre de pressions des forces dans les sections pour que ces dernières soient toujours comprises, ce fuseau limite résulte du tracé de 2 fuseaux élémentaires.

Premier fuseau limite: c'est le fuseau à l'intérieur duquel doit se situer le tracé du cable équivalent pour qu'il n'y ait pas de traction sur l'une ou l'autre des fibres extrêmes et cela quelque soit la charge.

Dépend directement des coordonnées du noyau central.

$$\left. \begin{array}{l} a = \frac{c^2}{v}, \text{ borne supérieure} \\ a' = -\frac{c^2}{v}, \text{ borne inférieure} \end{array} \right\} \text{ coordonnées du noyau central}$$

Les valeurs limites de l'excentricité de la précontrainte sont

$$e_1 = a \Rightarrow \frac{M_G}{N} \quad e_2 = a - \frac{M_G + M_Q}{N}.$$

3 sections à considérer (mediane, quart, About).

Les résultats obtenus sont réunis dans le tableau suivant.

Designations	SECTIONS		
	MDIANE	QUART	ABOUT
$M_G [t.m]$	129	96,75	0
$M_Q [t.m]$	18,56	13,92	0
$N [t]$	291,60	291,60	291,60
$M_G/N [cm]$	44,24	33,20	0
$\frac{M_G+M_Q}{N} [cm]$	50,60	37,95	0
$-a' [cm]$	35,16	35,16	35,16
$a [cm]$	18,61	18,61	18,61
$e_1 [cm]$	-79,40	-68,36	-35,16
$e_2 [cm]$	-31,99	-19,34	18,61

2<sup>eme</sup> fuseau limite: C'est un fuseau dans lequel doit se trouver le câble équivalent pour que la contrainte maximale reste toujours inférieure à la contrainte admissible sur l'une ou l'autre des fibres extrêmes

Les valeurs limites de l'excentricité du câble équivalent sont.

$$S_1 = \left( \frac{\bar{\sigma}_B}{N} - 1 \right) \frac{c^2}{v} - \frac{M_G + M_Q}{N} \quad \text{en charge.}$$

$$S_2 = - \left( \frac{\bar{\sigma}_B}{N} - 1 \right) \frac{c^2}{v} - \frac{M_G + M_Q}{N} \quad \text{à vide}$$

on considère tjs les 3 sections sus-citées.

Les résultats sont réunis dans le tableau suivant

SECTIONS	$B [cm^2]$	$N [t]$	$a = \frac{c^2}{v} [cm]$	$a = \frac{c^2}{v} [cm]$	$\bar{\sigma}_B/N$	$M_G/N$	$\frac{M_G+M_Q}{N}$	$S_1$	$S_2$
MDIANE	3389,6	291,6	35,16	18,61	2,44	44,24	50,60	0,031	-71,04
QUART	3389,6	291,6	35,16	18,61	2,44	33,20	37,95	42,68	-60,0
ABOUT	3389,6	291,6	35,16	18,61	2,44	0	0	50,63	-26,80

$$\bar{\sigma}_b = 0,42 \cdot \sigma_{28} = 0,42 \cdot 500 = 210 \text{ kg/cm}^2.$$

## CONTRAINTE NORMALES dans la section d'appui

Elles sont dues à la précontrainte uniquement, les moments de flexion étant nuls sur appuis:  $e = -v' + d' = -78,47 + 53 = -25,47 \text{ cm}$ .

$$\text{Fibre supérieure: } \sigma_p = \frac{P}{B} \left( 1 + \frac{ev}{c^2} \right) = \frac{291,6 \cdot 10^3}{3389,6} \left( 1 + \frac{-25,47 \cdot 41,53}{1460,35} \right).$$

$$\sigma_p = 23,72 \text{ kg/cm}^2$$

$$\text{Fibre inférieure: } \sigma_p = \frac{P}{B} \left( 1 - \frac{ev}{c^2} \right) = \frac{291,6 \cdot 10^3}{3389,6} \left( 1 + \frac{25,47 - 78,47}{1460,35} \right).$$

$$\sigma_p = 203,77 \text{ kg/cm}^2$$

au niveau on aura:

$$\sigma_G = 23,72 + (203,77 - 23,72) \cdot \frac{41,53}{120}$$

$$\boxed{\sigma_G = 86,03 \text{ kg/cm}^2}$$

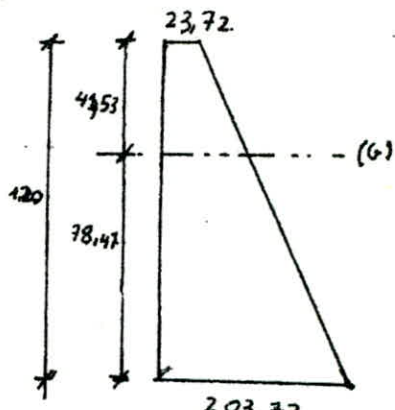


Diagramme des contraintes dans la section d'appui

## CONTRAINTE de CISAILLEMENT.

L'effort tranchant réduit est:

à vide  $T_{GQ} = T_G = 17,2 \text{ t}$

en charge  $T_{GQ} = T_G + T_Q = 17,2 + 2,475 = 19,675 \text{ t}$

La valeur de la contrainte de cisaillement est donnée par:

$$\tau = \frac{T_e \cdot S}{b_0 \cdot I} = \frac{T_e}{b_0 \cdot Z} \quad \text{avec } Z = \frac{I}{S}$$

où

$b_0$ : largeur nette de l'âme déduction fait du diamètre des 2 gaines.

$$b_0 = 20 - 2 \cdot 4 = 12 \text{ cm}$$

$S$ : moment statique de la partie située au dessus du CG de la section.

$$S = 150 \cdot 4 \cdot 39,53 + 2 \cdot 50 \cdot 2 \cdot 36,197 + 50 \cdot 4 \cdot 35,53 + \frac{\pi}{2} \cdot 2 \cdot 28,53 + 20 \cdot 33,53 \cdot 16,765 - 2 \pi \frac{\pi}{4} \cdot 34,53$$

$$S = 54857,43 \text{ cm}^3$$

$$Z = \frac{I}{S} = \frac{4,95 \cdot 10^6}{54857,43} = 90,23 \text{ cm}$$

on a donc:

$$\text{à vide : } \tau = \frac{T_{GQ}}{b_0 Z} = \frac{17,2 \cdot 10^3}{12 \cdot 90,23} = 15,89 \text{ kg/cm}^2$$

41.

$$\text{en charge: } \tau = \frac{T_{GQ}}{b_0 s} = \frac{19,675 \cdot 10^3}{12 \cdot 90,23} = 18,17 \text{ kg/cm}^2$$

Sa contrainte admissible de cisaillement est donnée par:

$$\bar{\tau}^2 = \frac{\bar{\sigma}'}{\bar{\sigma}} (\bar{\sigma} - \sigma_c) (\bar{\sigma}' + \sigma_c)$$

donc:

$$\bar{\sigma}_b = 0,42 \sigma_{28} = 0,42 \cdot 500 = 210 \text{ kg/cm}^2$$

$$\bar{\sigma}'_b = 0,42 \sigma'_{28} = 0,42 \left( 7 + \frac{5}{100} \sigma_{28} \right) = 0,42 \cdot 37 = 15,54 \text{ kg/cm}^2$$

$$\bar{\sigma}_c = 86,03 \text{ kg/cm}^2$$

d'où

$$\bar{\tau}^2 = \frac{15,54}{210} (210 - 86,03)(15,54 + 86,03) = 931,75$$

$$\bar{\tau} = 30,52 \text{ kg/cm}^2$$

on a bien

$$\tau = 18,17 < \bar{\tau} = 30,52 \text{ kg/cm}^2$$

Armatures transversales:

Si  $\gamma$  est l'angle d'une éventuelle fissure, on aura:

$$\operatorname{tg} 2\gamma = \frac{2\tau}{\sigma} = \frac{2 \cdot 18,17}{86,03} = 0,42$$

$$\text{d'où } \gamma = 11^\circ 45 \text{ et } \operatorname{tg} \gamma = 0,20$$

Nous avons choisi pour les cadres, des armatures T10°, pour lesquelles on a

$$A_t^l = 2 \phi 10 = 1,57 \text{ cm}^2$$

$$\text{et } \bar{\sigma}'_a = \left[ 1 - \frac{1}{3} \left( \frac{\tau}{\bar{\sigma}} \right)^2 \right] \sigma'_{en} = \left[ 1 - \frac{1}{3} \left( \frac{18,17}{30,52} \right)^2 \right] = 24$$

$$\bar{\sigma}'_a = 21,16 \text{ kg/cm}^2$$

L'espacement minimal  $\bar{t}$  des cadres est donné par la formule:

$$\bar{t} = \frac{\bar{\sigma}'_a A_t}{T_Q} \cdot \frac{\tau}{\operatorname{tg} \gamma}$$

$$\bar{t} = \frac{21,16 \cdot 1,57}{19,675 \cdot 10^3} \cdot \frac{86,03}{0,2} = 79,63 \text{ cm}$$

La valeur de  $\bar{t}$  est également limitée par la plus faible des 3 valeurs:

$$\bullet \bar{t} = h_t (1,25 - 0,95 \frac{\tau}{\bar{\sigma}}) = 120 \left( 1,25 - 0,95 \frac{18,17}{30,52} \right) = 82,13 \text{ cm}$$

$$\bullet \bar{t} = b_o \left( 5 - \frac{2\tau}{\bar{\sigma}} \right) = 20 \left( 5 - \frac{2 \cdot 18,17}{30,52} \right) = 76,19 \text{ cm}$$

$$\bullet \bar{t} = 4b_o = 80 \text{ cm}$$

Nous devons nous assurer également que le pourcentage minimal est respecté

$$\omega = 0,25 \frac{h_t}{h_t + 3b_0} \% = 0,25 \frac{120}{120 + 3 \times 20} \% = 0,17 \%$$

$t$  est alors limité par:

$$\frac{A_t}{t b_0} = \frac{\omega}{100} \Rightarrow t = \frac{A_t}{\omega} \cdot \frac{100}{b_0} = 46,18 \text{ cm.}$$

L'espacement choisi est  $t = 45 \text{ cm}$  qui satisfait l'ensemble des conditions limitatives.  
L'acier TØR. est choisi pour des raisons de sécurité à la rupture par l'effort tranchant.

### SECURITE de RUPTURE du BETON:

moment de rupture du béton:

$$\bullet M_{RB\text{âme}} = 0,35 b_0 h^2 \sigma_{28} \\ = 0,35 \cdot 20 \cdot 0,67^2 \cdot 500 \cdot 10^4$$

où  $M_{RB\text{âme}}$ : moment résistant de l'âme

$$M_{RB\text{âme}} = 157,115 \text{ t.m.}$$

$$\bullet M_{RB\text{houdis}} = 0,80 (b - b_0) h_0 (h - \frac{h_0}{2}) \sigma_{28} \\ = 0,80 \cdot (1,5 - 0,2) 0,04 \left(0,67 - \frac{0,04}{2}\right) 500 \cdot 10^4$$

$$M_{RB\text{houdis}} = 135,2 \text{ t.m.}$$

$$\bullet M_{RB\text{Houdis}} = 0,35 (b - b_0) \cdot h^2 \cdot \sigma_{28} = 0,35 \cdot (1,50 - 0,2) \cdot 0,67^2 \cdot 500 \cdot 10^4 \\ = 1021,2475 \text{ t.m.}$$

On prendra la plus faible des 2 valeurs de  $M_{RB\text{Houdis}}$ .

$$M_{RB} = 135,2 \text{ t.m.}$$

$$\text{d'où } M_{RB} = M_{RB\text{âme}} + M_{RB\text{Houdis}} = 157,115 + 135,2$$

$M_{RB} = 292,315 \text{ t.m.}$ , moment de rupture du béton.

### Moment de fissuration "M<sub>f</sub>"

Le moment de fissuration est le moment qui provoquerait sur la fibre inférieure une contrainte résultante égale à  $2\sigma'_{28}$

$$2\sigma'_{28} = 2 \cdot 37 = 74 \text{ kg/cm}^2$$

la compression due à la précontrainte étant.

$$\sigma_p' = \frac{P}{B} \left(1 - e^{\frac{v'}{c^2}}\right) = 203,77 \text{ kg/cm}^2$$

Le moment de fissuration devrait engendrer, pour que ceci soit atteint la contrainte de  $-74 \text{ kg/cm}^2$ , une contrainte élémentaire de

$$203,77 + 74 = 277,77 \text{ kg/cm}^2$$

$$\text{on a donc: } \frac{M_f}{I} v' = 277,77 \text{ kg/cm}^2 \Rightarrow M_f = 277,77 \cdot \frac{4,95 \cdot 10^6}{78,47}$$

$$M_f = 175,22 \text{ t.m.}$$

$$\begin{aligned} M_G + 1,8 M_Q &\leq 0,7 M_{R_B} \quad \text{sécurité pour le béton} \\ M_G = 129 \text{ t.m.} \\ M_Q = 16,875 \end{aligned} \quad \left. \begin{array}{l} \rightarrow M_G + 1,8 M_Q = 129 + 1,8 \cdot 16,875 = 159,375 \text{ t.m.} \\ 0,7 M_{R_B} = 0,7 \cdot 292,815 = 204,62. \end{array} \right.$$

donc  $M_G + 1,8 M_Q < 0,7 M_{R_B}$ .

moment de rupture pour les aciers:

$$M_{RA} = 0,9 \cdot h \omega \cdot R_g$$

$$M_{RA} = 235,5 \text{ t.m.}$$

$$\left\{ \begin{array}{l} \text{où } R_g = 18500 \text{ kg/cm}^2 \\ R_g : \text{contraintes de rupture garantie pour} \\ \text{les fils} \\ \omega = 6 \left( \frac{\pi \cdot 0,8^2}{4} \right) = 21,11 \text{ cm}^2 \\ h = 120 - 53 = 67 \text{ cm} \end{array} \right.$$

sécurité pour les aciers:

$$M_G + 1,8 M_Q \leq \begin{cases} 0,9 M_{RA} & \text{si } M_f < M_{RA} \\ 0,8 M_{RA} & \text{si } M_f \geq M_{RA} \end{cases}$$

$$M_G + 1,8 M_Q = 159,35 < 0,9 M_{RA} = 211,95 \text{ t.m.} \quad (M_f < M_{RA})$$

La sécurité à la rupture du béton et de l'acier est donc assurée

CONDITION de SECURITÉ à la RUPTURE par l'effort tranchant:

Calcul de  $\tau$  et  $\sigma$  dans le cas des surcharges majorées par le coefficient 1,8.

$$1,8 T_Q = 1,8 \cdot 2,25 = 4,05 \text{ t.}$$

$$T_{RGQ} = T_Q + T_Q = 17,2 + 2,475 = 19,675 \text{ t.}$$

L'effort tranchant total est donc majoré de.

$$4,05 - \frac{2,475}{1,1} = 1,8 \text{ t.}$$

Il est donc au total  $19,675 + 1,8 = 21,475 \text{ t.}$

$$\tau = 18,17 \frac{21,475}{19,675} = 19,83 \text{ kg/cm}^2$$

$$\text{On a donc } \tau \cdot t_g \cdot 28 = \frac{\sigma \tau}{\sigma} = \frac{2 \cdot 19,83}{86,03} \Leftrightarrow 28 = 24,74$$

$$\gamma = 12^\circ,37.$$

La contrainte de compression des bielles du béton peut être évaluée par la formule.

AD

$$\sigma = \frac{3\tau}{\sin 2\gamma} = \frac{3 \cdot 19,83}{\sin 24,74} = 94,80 \text{ kg/cm}^2 \ll 0,5 \sigma_{zB} = 0,5 \cdot 500 = 250 \text{ kg/cm}^2$$

En ce qui concerne la contrainte dans les armatures transversales, on prend:

$$\sigma'_a = \frac{t}{A'_t} T \cdot \frac{\operatorname{tg} \gamma}{2} = \frac{45 \cdot 21,475 \cdot 10^3}{1,57} \cdot \frac{0,22}{90,23} = 1501 \text{ kg/cm}^2$$

$$\text{soit } \sigma'_a = 15,01 \text{ kg/mm}^2 \ll 1,2 \sigma'_{zB} = 1,2 \cdot 42 = 50,4 \text{ kg/mm}^2$$

# PERTES ET CHUTES de TENSION.

## I Introduction:

### 1. Pertes instantanées:

a. frottement: Elles sont très faibles, on peut compenser les effets dans les poutres à câbles, par une augmentation de la tension à l'ancrage. Ces pertes sont dues à la force de frottement qui s'oppose au mouvement de l'armature, lors du contact armature - gaine.

b. Raccourcissement instantané du béton: La raccourcissement s'effectue au fur et à mesure de la tension des câbles qui sont tendus en même temps, ces pertes sont données par:  $m \sigma_c$ : où  $m = \frac{E_a}{E_d} = 13$ .

$\sigma_c$  = contrainte permanente du béton au niveau de l'armature.

### 2. Pertes différencées:

a. Retrait du béton: Le retrait est le raccourcissement accompagnant la prise du ciment, on peut l'assimiler à l'effet d'un abaissement de température, qui entraîne un certain raccourcissement  $\delta L$ , les pertes dans ce cas (pré-tension) sont plus élevées

b. flUAGE du béton: Déformations différencées due à l'application indéfinie d'une charge fixe. Ces pertes engendrées sont plus élevées

c. Relaxation de l'acier: Si une barre d'acier est tendue à une contrainte relativement élevée entre 2 pts fixes (longueur constante), cette contrainte tend à diminuer avec le temps. Une partie notable de la relaxation étant déjà effectuée lorsqu'on libère les fils

### 3. Évaluation des pertes:

• Perte due au retrait \_\_\_\_\_ 8 kg/mm<sup>2</sup>

• Perte due à la relaxation \_\_\_\_\_ 8 kg/mm<sup>2</sup>

• Raccourcissement du béton. "  $m \sigma_c$ ",  $m = 13$

torons supérieurs  $\sigma_c = 45,38$  kg/cm<sup>2</sup>

torons intermédiaires  $\sigma_c = 52,46$  —

torons inférieurs  $\sigma_c = 129,21$  kg/cm<sup>2</sup>

les pertes correspondantes sont de:

$$13 \times 45,38 = 589,94 \text{ kg/cm}^2 \quad (6 \text{ kg/mm}^2)$$

$$13 \times 52,46 = 681,98 \text{ kg/cm}^2 \quad (7 \text{ kg/mm}^2)$$

$$13 \times 129,21 = 1679,73 \text{ kg/cm}^2 \quad (17 \text{ kg/mm}^2)$$

## CONTRAINTE NORMALES:

Les contraintes permanentes dans les torons sont donc:

fils supérieurs:  $138 - 16 - 6 = 116 \text{ kg/mm}^2$

fils intermédiaires  $138 - 16 - 7 = 115 \text{ kg/mm}^2$

fils inférieurs  $138 - 16 - 17 = 105 \text{ kg/mm}^2$ .

L'effort total dans les torons devient:

$$F = 2 A (\sigma_1 + \sigma_2 + \sigma_3) = 2 \cdot 3,52 (116 + 115 + 105) = 236,544 \text{ t.}$$

l'excentricité

$$e = \frac{\sum F_i x_i}{\sum F_i} = \frac{2 \cdot 3,52 [105 (-72,47) + 115 (-38,47) + 116 \cdot 34,53]}{2 \cdot 3,52 (105 + 115 + 116)}.$$

$$\boxed{e = -24 \text{ cm.}}$$

\* La précontraintes permanentes deviennent:

$$\sigma_0 = \frac{F}{S} \left(1 + \frac{e}{l^2} v\right) = \frac{236544}{3465} \left(1 - 24 \cdot \frac{43,2}{1443}\right) = 19,2 \text{ kg/cm}^2$$

$$\sigma'_0 = \frac{F}{S} \left(1 - \frac{e}{l^2} v'\right) = \frac{236544}{3465} \left(1 + 24 \cdot \frac{76,8}{1443}\right) = 175,5 \text{ kg/cm}^2$$

\* Contraintes dues aux charges:

$$\sigma_G = \frac{M_G v}{I} = \frac{129 \cdot 10^5 \cdot 43,2}{5 \cdot 10^6} = 111,456 \text{ kg/cm}^2$$

$$\sigma'_G = - \frac{M_G v'}{I} = - \frac{129 \cdot 10^5 \cdot 76,8}{5 \cdot 10^6} = - 168,144 \text{ kg/cm}^2$$

\* Contraintes dues aux surcharges:

$$\sigma_S = \frac{M_Q v}{I} = \frac{18,56 \cdot 10^5 \cdot 43,2}{5 \cdot 10^6} = 15,57 \text{ kg/cm}^2$$

$$\sigma'_S = - \frac{M_Q v'}{I} = - \frac{18,56 \cdot 10^5 \cdot 78,8}{5 \cdot 10^6} = - 29,42 \text{ kg/cm}^2$$

Contraintes résultantes:

à vide  $\sigma_0 + \sigma_G = 19,2 + 111,456 = 130,656 \text{ kg/cm}^2$

$$\sigma'_0 + \sigma'_G = 175,5 - 168,144 = + 12,644 \text{ kg/cm}^2$$

$$\text{en charge: } \sigma_0 + \sigma_q + \sigma_s = 130,656 + 15,57 = 146,226 \text{ kg/cm}^2.$$

$$\sigma'_0 + \sigma'_q + \sigma'_s = 16,776 \text{ kg/cm}^2.$$

Les contraintes restent satisfaisantes

$$\bar{\sigma} = 0,42 \sigma_{28} = 0,42 \cdot 500 = 210 \text{ kg/cm}^2$$

$$\sigma'_n = 0,42 \sigma'_n = 0,42 \left( 7 + \frac{5}{100} \sigma_{28} \right) = 0,42 \cdot 37 = 15,54 \text{ kg/cm}^2$$

# 18 FLECHES et CONTRE-FLECHES

Les flèches sont comptées positivement vers le bas et négativement vers le haut. (contre-fleches).

\* flèche du poids propre:

$$f_G = \frac{58 l^4}{384 EI}$$

- on suppose  $E = E_0 = 1,57 \cdot 10^5 \text{ kg/cm}^2$
- $g = 1,146 \text{ t/mL}$
- $l = 30 \text{ m}$
- $I = 4,98 \cdot 10^6 \text{ kg/cm}^2$

$$f_G = \frac{5 \cdot 1,146 \cdot (3000)^4}{384 \cdot 1,57 \cdot 10^5 \cdot 4,98 \cdot 10^6}$$

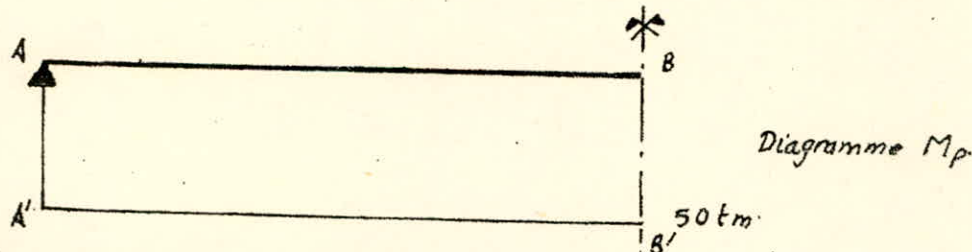
$f_G = 15,46 \text{ cm.}$

\* flèche de précontrainte:

Tracons le diagramme des moments (constants) de précontrainte; la contrainte dans les fils au milieu est  $\sigma_a = 138,12 \text{ kg/mm}^2$ .

Diagramme du moment de précontrainte.

SECTION	$N [t]$	$e [cm]$	$M_p = Ne [tm]$
MEDIANE	291,6	17,15	50
QUART	291,6	17,15	50
ABOUT	291,6	17,15	50



Le moment statique par rapport à AA' est :

$$\int_0^{l/2} M_x dx = S \times v = -(50 \cdot 15) \cdot \frac{15}{2} = -5625 \text{ tm.} \quad \text{où } S = \text{Aire AA'BB' de } M_p$$

on a donc comme flèche de précontrainte.

$v$ : Distance du CDG.

$$\int_0^{l/2} \frac{M_x dx}{EI} = -\frac{5625}{1,57 \cdot 10^5 \cdot 0,0498}$$

$$f_p = -19,90 \text{ cm}$$

c'est contre flèche dirigée vers le haut.

### \* flèche de construction:

on adoptera pour le coffrage une flèche de construction  $f_c$  vers le bas égale à:

$$f_c = \frac{3}{4} (|f_p| - |f_g|) = \frac{3}{4} (19,90 - 15,46)$$

$$f_c = 3,33 \text{ cm}$$

### \* flèche des surcharges:

Nous prendrons.  $E = E_i = 4,7 \cdot 10^5 \text{ kg/cm}^2$ .

$$f_Q = \frac{5q \cdot l^4}{384 E_i I} = \frac{5 \times 1,65 \cdot (3000)^4}{384 \cdot 4,7 \cdot 10^5 \cdot 498 \cdot 10^6}$$

$$f_Q = 0,74 \text{ cm}$$

On aura en définitive :

- en service à vide:

$$f = f_p + f_g + f_c = -19,90 + 15,46 + 3,33$$

$$f = -1,11 \text{ cm}$$

- en service en charge

$$f = f_p + f_g + f_c = -1,11 + 0,74$$

$$f = -0,37 \text{ cm}$$

## Rotations d'appuis:

### \* Rotation d'appui sous poids propre:

$$\beta_q = \frac{8l^3}{24EI} = \frac{1,146 \cdot 30^3}{24 \cdot 4,7 \cdot 10^5 \cdot 0,0498} = 0,01649 \text{ rd.}$$

$$\beta_q = 1,65 \cdot 10^{-2} \text{ rd}$$

### \* Rotation d'appui sous surcharges:

$$\beta_Q = \frac{q l^3}{24EI} = \frac{0,145 \cdot 30^3}{24 \cdot 4,7 \cdot 10^5 \cdot 0,0498} = 2,4 \cdot 10^{-3} \text{ rd.}$$

$$\beta_Q = 2,4 \cdot 10^{-3} \text{ rd.}$$

La rotation sous précontrainte étant nulle :  $\beta_p = 0$ .

Rotation totale résultante:

\* En service à vide:  $\beta = \beta_G = 1,65 \cdot 10^{-2} \text{ rd.}$

\* En service en charge:  $\beta = \beta_G + \beta_Q = 1,65 \cdot 10^{-2} + 2,4 \cdot 10^{-3} = 1,89 \cdot 10^{-2} \text{ rd.}$

## Déplacement d'appui

\* Déplacement dû à la rotation

$$\Delta_\beta = \beta \frac{h}{2} = 1,89 \cdot 10^{-2} \cdot \frac{120}{2} = 1,134 \text{ cm.}$$

\* Déplacement dû à l'abattement:

$$\Delta_r = 3 \cdot 10^{-4} \frac{\ell}{2} = 3 \cdot 10^{-4} \cdot \frac{3000}{2} = 0,45 \text{ cm.}$$

\* Déplacement dû à la variation de température:

$$\Delta_t = \pm \frac{\ell}{10000} = \pm \frac{3000}{10000} = \pm 0,3 \text{ cm}$$

\* Déplacement dû au fluage:

$$\Delta_f = \frac{\ell}{2} \cdot \frac{\sigma'_m}{E_v}$$

$\sigma'_m$  = valeur moyenne entre la contrainte de compression de la F.I au milieu ( $\sigma'_m$ ) et celle d'appui  $\sigma'_A$ :  
 $\sigma'_{m0} = \frac{\sigma'_m + \sigma'_A}{2} = 127,1 \text{ kgf/cm}^2$

$$\Delta_f = \frac{3000}{2} \cdot \frac{127,1}{1,57 \cdot 10^5} = 1,2 \text{ cm.}$$

Déplacement total:

$$\Delta_{\max} = \Delta_\beta + \Delta_r + \Delta_f + \Delta_t = 1,134 + 0,45 + 0,3 + 1,2$$

$$\Delta_{\max} = 3,08 \text{ cm.}$$

Les poutres sont préfabriquées et posées sur leurs appuis après mise en précontrainte, le déplacement à prendre en compte est inférieur à  $\Delta_{\max}$ , soit approximativement.

$$\Delta = \frac{2}{3} (\Delta_\beta + \Delta_r + \Delta_f) + \Delta_t = 2,02156$$

soit  $\Delta = 2,156 \text{ cm}$

## CHARGES VERTICALES

Le calcul des portiques sous les charges verticales sera fait avec la méthode exacte de CROSS.

Principe de la méthode: lorsque dans une barre partiellement ou totalement encastrée son connaît les moments de flexion agissant, par les formules classiques de la R.D.M., on sait calculer les éléments de réduction ( $M, N, T$ ) en toute section de la barre. Il est donc utile de commencer par calculer les moments d'enca斯特rement. La méthode de CROSS œuvre dans ces sens, par des approximations successives simples.

### • Conventions de signe.

Cette convention de signe permet de tracer la ligne moyenne déformée de chaque barre



La méthode de CROSS consiste à prendre comme valeur approchée du moment cherché le moment qui serait transmis par le nœud à la barre si celle-ci était parfaitement encastrée et à déterminer quelles corrections faut-il apporter à ce moment pour obtenir le moment réel.

Pratiquement nous aurons toujours à effectuer 4 opérations :

1. Calculer les raidisseurs des barres ( $\frac{I}{z}$  ou  $\frac{I}{4} \frac{E}{c}$ )

2. calcul des coefficients de répartition des barres:

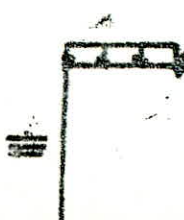
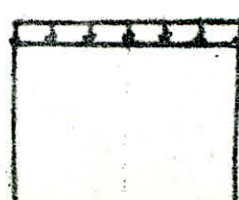
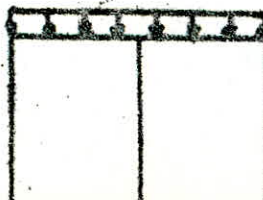
3. calcul des moments d'encastration parfait des barres  $M_0$

4. Répartition et transmission des moments d'après un tableau

Dans notre cas, on a des portiques symétriques et chargés symétriques.

Pour les portiques où les nombres de travées sont pairs, il y a lieu de considérer la moitié du portique en supprimant la barre coïncidant avec l'axe de symétrie puisqu'elle ne supporte aucun moment.

Nbre de travées impair: on se contentera d'étudier la moitié de la structure en attribuant à la partie de la travée centrale les moments correspondant à leur portée réelle, mais en les attribuant une raidisseur égale à la moitié de sa raidisseur réelle.



*Portique "L1" sous "G"*

---

efforts										moments												
MN [Nm]	-15,1035	8,15	-8,15	3-8	4-9	5-10	6-11	7-12	8-13	9-14	10-15	N	44,03	8,1394	74,377	84,384	14,03	60,836	106,383	144,282	60,836	
ME [+m]	-2,1459											TH = 3 [Tm]	5,90	0,134	0,134	0,134	0,134	0,134	0,134	0,134	0,134	
ME [-m]												ME [-m]	-10,1448	-4,945	-4,945	-4,945	-4,945	-4,945	-4,945	-4,945	-4,945	-4,945
M3 [Tm]												M3 [Tm]	10,1448	-4,945	-4,945	-4,945	-4,945	-4,945	-4,945	-4,945	-4,945	-4,945
M6 [Tm]												M6 [Tm]	-2,1459									
TH = 1 [Tm]												TH = 1 [Tm]	5,90	0,134	0,134	0,134	0,134	0,134	0,134	0,134	0,134	0,134
TL [T]												TL [T]	32,385	27,026	29,026	23,705	15,069	14,589	14,589	14,589	14,589	14,589
TM [T]												TM [T]	23,705	29,026	27,026	32,385	14,034	14,589	14,589	14,589	14,589	14,589
TM [T]												TM [T]	26,888	19,428	19,428	26,888	7,314	7,314	7,314	7,314	7,314	7,314
ME [+m]	-44,1420	-32,474	-32,474	-38,620	-41,420	-41,420	-45,055	-45,564	-46,622	-46,622	-46,622	ME [+m]	-44,1420	-32,474	-32,474	-38,620	-41,420	-41,420	-45,055	-45,564	-46,622	-46,622
ME [-m]												ME [-m]	-15,1035	-38,620	-32,474	-41,420	-41,420	-45,055	-45,564	-46,622	-46,622	-46,622
TL [T]												TL [T]	32,385	27,026	29,026	23,705	15,069	14,589	14,589	14,589	14,589	14,589

POUTRES										EFFETS												
MW [Nm]	-15,1035	-38,620	-32,474	-32,474	3-4	4-5	5-6	6-7	7-8	8-9	9-10	TL [T]	32,385	27,026	29,026	23,705	15,069	14,589	14,589	14,589		
ME [+m]	-44,1420	-32,474	-32,474	-38,620	-41,420	-41,420	-45,055	-45,564	-46,622	-46,622	-46,622	ME [+m]	-44,1420	-32,474	-32,474	-38,620	-41,420	-41,420	-45,055	-45,564	-46,622	-46,622
ME [-m]												ME [-m]	-15,1035	-38,620	-32,474	-41,420	-41,420	-45,055	-45,564	-46,622	-46,622	-46,622
TM [T]												TM [T]	23,705	29,026	27,026	32,385	14,034	14,589	14,589	14,589	14,589	14,589
TH = 1 [Tm]												TH = 1 [Tm]	26,888	19,428	19,428	26,888	7,314	7,314	7,314	7,314	7,314	7,314
TH = 3 [Tm]												TH = 3 [Tm]	23,705	29,026	27,026	32,385	14,034	14,589	14,589	14,589	14,589	14,589
TL [T]												TL [T]	32,385	27,026	29,026	23,705	15,069	14,589	14,589	14,589	14,589	14,589

## Portique "Tc" Sow G.

efforts	Porte					Poteaux				
	2-3	4-2	2-4	3-5	6-4	Sens P	Sens C	Sens P	Sens C	Sens P
$M_x(M)$ [Nm]	-7,45	-4,66				-7,45	-8,66	9,02	3,64	
$M_z(M)$ [Nm]	-9,02	-5,64				+3,73	2,53	-4,53	2,33	
$M_x(G)$ [Nm]						2,33	1,45	4,1	2,64	
$T_w(k)$ [kN]	8,45	5,27				2,33	1,45	4,1	2,64	
$T_c(k)$ [kN]	14,05	8,78				2,33	1,45	4,1	2,64	
$N_f(k)_{\text{max}}$						4,23	2,92	4,95	8,76	6,36
$N_f(k)_{\text{min}}$						29,1	7,00	34,9	14,92	85,4
$N(k)$										700.

efforts	Poutres					Poteaux				
	1-1	1-2	3-4	4-3	5-6	3-2	3-1	3-2	3-10	3-9
$M_y(M)$	-4,512	-6,905	-3,766	-4,454	-3,817	-3,2	0,5	0,8	-0,9	-0,5
$M_z(M)$	-3,213	-4,821	-3,644	-6,385	-4,512	4,15	0,25	-0,14	+0,4	+0,25
$M_x(G)$	4,158	2,656	4,746	3,956	4,155	-0,387	8,145	0,12	-0,2	-9,125
$T_w(k)$	4,734	6,962	6,689	5,215	6,642	3,1	0,49	0,8	0,9	0,49
$T_c(k)$	6,642	5,205	5,589	4,461	4,734	3,1	0,49	0,8	0,7	0,49
$N(k)$						19,54	33,68	33,68	33,68	19,54

Portique "L2" sous "G"

Efforts	POUTRES				POTEAUX.				
	1-2	2-3	3-4	4-5	1-6	2-7	3-8	4-9	5-10
$M_W (M_N)$ [tm]	-9,378	-40,52	-31,49	-42,545	-9,378	40,25		-2,025	9,378
$M_e (M_S)$ [tm]	-42,545	-31,49	-40,52	-9,378	4,689	1,014		1,014	4,689
$M_t$ [tm]	29,084	18,97	18,97	29,014					
$T_w (T_N)$ [t]	22,522	29,555	26,545	33,578	1,383	0,301		0,301	1,393
$T_e (T_S)$ [t]	33,578	26,545	29,555	22,522	1,383	0,301		0,301	1,383
$N$ [t]					46,035	86,646	76,603	86,646	46,035

Portique "L2" sous "P"

Efforts	Poutres				Poteaux.				
	1-2	2-3	3-4	4-5	1-6	2-7	3-8	4-9	5-10
$M_W (M_N)$ [tm]	-1,2	-4,9	-4,0	-6,2	-1,2	0,26		-0,26	1,2
$M_e (M_S)$ [-]	-5,2	-4,0	-4,9	-1,2	0,5	-0,2		0,1	0,5
$M_t$ [tm]	4,75	6,3	6,3	4,75					0,3
$T_w (T_N)$ [t]	2,71	3,225	3,525	4,01	0,3				0,3
$T_e (T_S)$ [t]	4,01	3,525	3,225	2,71	0,3				2,71
$N$ [t]					2,71	7,265	6,78	7,265	2,71

<u>POUTRES</u> Efforts	1-2	2-3	3-4	4-5	6-7	7-8	8-9	9-10
M <sub>W</sub> [tm]	-2,1	-4,52	-4,12	-4,18	-2,74	-4,19	-4,04	-4,63
M <sub>e</sub> [tm]	-4,18	-4,12	-4,52	-2,12	-4,23	-4,02	-4,19	-2,74
M <sub>f</sub> [tm]	3,3	2,43	2,43	3,3	2,65	2,02	2,02	2,65
T <sub>W</sub> [t]	2,925	3,175	3,575	3,825	3,765	4,105	4,11	4,385
T <sub>e</sub> [t]	3,825	3,575	3,175	2,925	4,1395	4,11	4,05	3,765

<u>Poteaux</u> Efforts	1-6	2-7	3-8	4-9	5-10	6-11	7-12	8-13	9-14	10-15
M <sub>N</sub> [tm]	-2,1	0,28		-0,28	2,10	-0,4	0,1		-0,1	0,4
M <sub>s</sub> [tm]	1,86	-0,34		0,34	-1,86	0,9	-0,05		0,05	-0,9
M <sub>f</sub> [tm]										
T <sub>N</sub> =T <sub>S</sub> [t]	0,82				0,82	0,65				0,65
N [t]	2,925	7,0	6,76	7,0	2,925	6,69	15,445	14,92	15,445	6,69

# Etude Au Vent

26

## Introduction:

L'étude au vent sera menée suivant le règlement en vigueur NV65 qui stipule:

- La direction du vent est supposée horizontale, la pression engendrée est fonction de
  - La vitesse du vent
  - La catégorie de la construction et ses proportions d'ensemble
  - L'emplacement de l'élément considéré dans la construction et son orientation par rapport au vent.

## Pression dynamique:

L'action élémentaire unitaire exercée par le vent sur une face d'un élément est donnée par le produit  $q \cdot c$ .

$$q = \frac{v^2}{16,3} \quad [\text{daN/m}^2]. \quad v = [\text{m/s}] . \quad q: \text{pression dynamique} = f(v).$$

c: coeff de pression. fonction de l'emplacement de l'élément par rapport au vent  
sur pression  $c > 0$   
depression  $c < 0$

face au vent  $c_e = +0,8$ .

" sous vent  $c_e = -0,5$ .

Action interne  $c_i = \pm 0,5$

Coefficient résultant  $C = C_e - C_i = 0,8 - (-0,5) = 1,3$ .

Conformément aux règles NV65, on doit envisager dans les calculs une pression dynamique normale et une pression dynamique extrême de telle sorte que  $q_e = 1,75 q_n$ .

## Surcharges dues au vent

$$q_e = q_H \cdot K_m \cdot K_s \cdot \zeta \cdot \beta_e$$

$$q_t = q_H \cdot K_m \cdot K_s \cdot \zeta \cdot \beta_t$$

où :

$$q_H = q_{10} \cdot \frac{2,5 (H+18)}{H+60} \quad q_{10} = 90 \text{ kg/m}^2 \quad \text{pression dynamique de base} \quad H = 10 \text{ m.}$$

Pour notre cas  $H = 10,8 \text{ m.}$ :

$$q_H = 90 \cdot 2,5 \cdot \frac{(10,8 + 18)}{10,8 + 60} \quad \boxed{q_H = 91,53 \text{ kg/m}^2}$$

•  $K_s$  : coefficient de site..

$$\boxed{K_s = 1,25}$$

Notre construction sera édifiée sur un site exposé

- $K_m$ : coefficient de masque.

$K_m = 1$ . constructions environnantes n'ont pas d'effet sur la selle.

- $S$ : effet de dimensions; tenant compte de la surface sollicitée:

Vent dans les sens transversal:  $S = 0,74$

et dans les sens longitudinal:  $S = 0,74$

- $\beta$ : coefficient dynamique:  $\beta = \theta \cdot (1 + \zeta \tau)$

$\theta$ : coefficient global dépendant du type de construction

$\zeta$ : coefficient de réponse donné en fonction de  $T$  du mode fondamental.

$\tau$ : coefficient de pulsation, calculé à chaque niveau.

on prend:  $\tau = 0,358$  .  $\theta = 0,7$ .

$$\bullet T = \frac{0,09 \cdot H}{\sqrt{L}} \quad (\text{contreventement-poutre}).$$

$H = 10,8 \text{ m}$

$$L_L = 24 \text{ m} \rightarrow T_L = 0,198 \text{ s} \rightarrow \beta_L = 0,748$$

$$L_T = 30,5 \text{ m} \rightarrow T_T = 0,176 \text{ s} \rightarrow \beta_T = 0,745.$$

$$\beta_L = 0,7 (1 + 0,188 \cdot 0,358) = 0,747$$

$$\beta_T = 0,7 (1 + 0,175 \cdot 0,358) = 0,744$$

Pour simplifier le calcul on considère un diagramme moyen uniforme d'où

$$q_m = \frac{q_L + q_T}{2} = \frac{94 + 90}{2} = 92,20 \text{ kg/m}^2$$

$$q_L = 84,53 \text{ kg/m}^2$$

$$q_T = 84,20 \text{ kg/m}^2$$

Force revenant à chaque côté

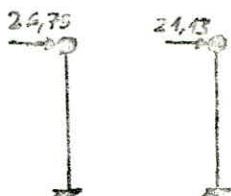
sens longitudinal: Section sollicitée  $S = 20,5 \times 10,8 = 223,4 \text{ m}^2$

$$F_L = q_L S = 84,20 \times 223,4 = 18,75 \text{ t}$$

$$F_{ext} = 46,81$$

sens transversal:  $S = 24 \times 10,8 = 259,2 \text{ m}^2 \rightarrow F_T = 21,13 \text{ t}$

$$F_{ext} = 36,98 \text{ t}$$



# ETUDE AU SEISME

## Generalités

Le seisme par ses secousses, engendre dans les constructions des accélérations atteignant parfois l'ordre de grandeur de la pesanteur ( $g = 9,81 \text{ m/s}^2$ ). De ces accélérations résultent des forces, pouvant s'exercer dans des directions quelconques.

Une grande partie de L'ALGERIE est susceptible d'être soumise à d'importantes secousses sismiques, dont l'intensité est suffisante pour causer d'importants dommages et ruines des constructions. Par conséquent, elles doivent être construites de manière adéquate pour résister à ces efforts.

## Recommandations pour la conception des constructions (zone sismique)

- Réduire autant que possible la hauteur du bâtiment ainsi que l'rapport de l'hauteur avec la largeur.
- Eviter les ensembles mal équilibrés en hauteur ou en inertie et les éléments de construction mal liés à l'ossature.
- Prevoir des fondations soigneusement chaînées et engagées dans le sol afin de résister aux efforts de soulevements dus au séisme.
- Eviter les ouvertures de très grandes dimensions.
- Autour des ouvertures, il faut prévoir des encadrements armés à l'ossature.
- Assurer l'indefor mabilité de l'ensemble par des contreventements dans tous les sens.

## Règlement utilisé: L'étude sismique se fera avec les Règles Parcimonieuses.

Algériennes (RPA81) version B3, en vigueur et ceci dans le but de faire une étude basée sur les observations et les analyses déjà faites sur la sismicité de L'ALGERIE.

## Calcul sismique:

l'effort sismique horizontal agissant suivant chacun des axes principaux de la structure est donné par la formule suivante

$$V = (ABDQ) W.$$

### 1. coefficient d'accélération de la zone : A

Il dépend du groupe d'usage;

$$\begin{aligned} & - \text{groupe d'usage } 2 \\ & - \text{zone sismique I} \} \Rightarrow A = 0,08g. \end{aligned}$$

## 2. facteur d'amplification : aménage moyen L'

Il dépend du type de sol et de la période du bâtiment. On a une structure auto-stable. capable de reprendre à 100% les efforts horizontaux. La période est alors : (Art 3.3.1.22).

$$T = \frac{0,09H}{\sqrt{L}}$$

H : hauteur totale du bâtiment.

L : longueur du bâtiment dans les sens considérés

### sens transversal.

$$H = 10,8 \text{ m}$$

$$L_t = 30,5 \rightarrow T_t = 0,176 \text{ s}$$

$$D_t = 2$$

### sens longitudinal.

$$H = 10,8 \text{ m}$$

$$L_t = 24,95 \text{ m} \rightarrow T_t = 0,198 \text{ s}$$

$$D_t = 2$$

## 3. Facteur de comportement de la structure "B"

Il dépend du type de structure et la nature de ses contreventements. On a une structure auto-stable. d'après le tableau A1-2.

$$B = 0,25$$

## 4. Facteur de qualité "Q"

$$Q = 1 + \sum_{q=0}^6 P_q, \quad \text{avec } 1 \leq Q \leq 1,6.$$

P<sub>0</sub>: pénalité qui dépend de l'observation ou non du critère de qualité q.

P<sub>1</sub>: critère de files porteuses

P<sub>2</sub>: " de surabondance en plan.

P<sub>3</sub>: " de symétrie en plan

P<sub>4</sub>: " de régularité en élévation

P<sub>5</sub>: " de contrôle de la qualité des matériaux de construction

P<sub>6</sub>: " " " de la construction

$$P_1 = P_3 = P_5 = P_6 = 0,1$$

$$P_2 = P_4 = -$$

$$\} \Rightarrow Q = 1,4$$

## 5. Poids "W"

$$W = G + \frac{1}{2} P$$

P : surcharges d'exploitation  
G : poids de la structure.

$$W = 1216,11 \text{ t.}$$

$$V_L = V_t = 0,08 \cdot 2 \cdot 0,25 \cdot 1,4 \cdot 1216,11$$

$$V_L = V_t = 68,1 \text{ t.}$$

Portique transversal:  $w = 170 t$ .

$$\text{d'où } V_L = 0,08 \cdot 2 \cdot 0,25 \cdot 1,4 \cdot 170 \cdot$$

$$V_L = 9,52 t$$

Distribution en hauteur des forces latérales:

La force latérale totale  $V$  doit être distribuée sur la hauteur de la structure selon la formule suivante.

$$V = F_t + \sum F_i$$

avec  $F_t$  force concentrée au sommet de la structure et est donné par

$$F_t = \begin{cases} 0,07 T V & \text{si } T > 0,75 \\ 0 & \text{si } T \leq 0,75 \end{cases}$$

La partie restante de l'effort est distribuée sur la structure suivant la formule.

$$F_k = (V - F_t) \frac{w_k h_k}{\sum w_i h_i}$$

$F_k$ : effort horizontal au niveau k.

$w_k$ : charge au niveau k

Dans notre cas  $T < 0,75 \rightarrow F_t = 0$

$$F_k = V \frac{w_k h_k}{\sum w_i h_i} \quad V = \frac{68,1}{5} = 13,7 t \quad (\text{portique transversaux})$$

Niveau	$h_k$ [m]	$w_k$ [t]	$h_k w_k$ [tm]	$F_k$ [t]
I	9,6	343,36	3325	9,58
II	4	357	1428	4,12

Distribution suivant le sens longitudinal.

$$V_L = \frac{V}{2} = \frac{68,1}{2} = 34,05 t.$$

$$\text{Niveau 1} \rightarrow F_1 = 23,82 t$$

$$\text{Niveau 2} \rightarrow F_2 = 10,23 t$$

## CHARGES HORIZONTALES. Calcul des Efforts

La méthode utilisée est celle de BOWMAN qui permet d'obtenir des résultats voisins de ceux obtenus en utilisant des méthodes exactes. Les conditions de son application sont remplies :

1. Les poteaux encastrés aux extrémités
2. Poteaux d'un même étage ont la même hauteur.
3. les raideurs des travées de poutres porteuses et aux forces appliquées sont supérieures au 1/5 de la raideur du poteau le plus raide.

Poutre :  $50 \times 50 \times 550$

Poteau :  $50 \times 50 \times (9,1 \text{ ou } 5,6)$ .

### A. Moments :

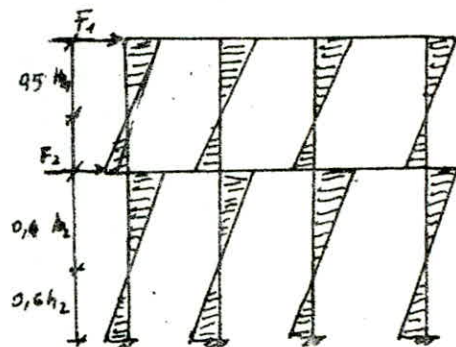
Le moment en tête du poteau "i" est :

$$M_{iN} = f_i \alpha h \quad \text{où } \alpha = 0,4 + 0,15.$$

avec :

$$f_i = F \frac{\beta I_i}{\sum I_i} \quad \beta = \begin{cases} 0,8 & \text{poteau de droite} \\ 1 & \text{poteau central} \end{cases}$$

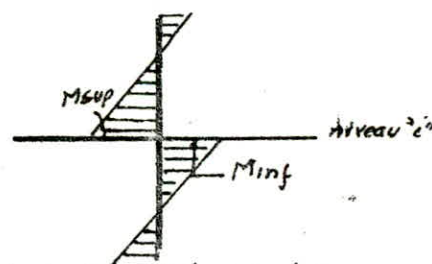
$$\sum I_i = 0,8 I_1 + I_2 + I_3 + \dots + I_{n-1} + 0,8 I_n.$$



Les moments dans les poutres se répartissent suivant leurs raideurs :

$$M_d = - (M_{sup} + M_{inf}) \frac{K_d}{K_d + K_g}$$

$$M_g = - (M_{sup} + M_{inf}) \frac{K_g}{K_d + K_g}$$



$M_d, M_g$ : Moments repris respectivement par la poutre de droite et de gauche.

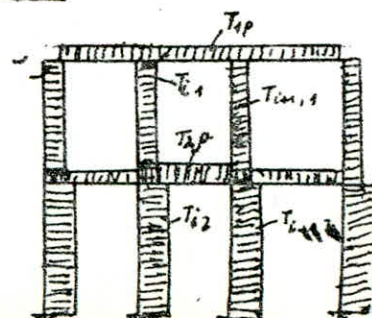
$$K_d = \frac{I_d}{l_d}, \quad K_g = \frac{I_g}{l_g}; \quad \text{Raideurs des poutres de droite et de gauche.}$$

dans notre cas :  $K_d = K_g = 1686,36 \text{ cm}^3$ .

$$\text{d'où} \quad M_d = M_g = - (M_{sup} + M_{inf})$$

### B. EFFORTS TRANCHANTS :

L'effort tranchant total à chacun des niveaux se partage proportionnellement aux inerties des poteaux.



Poteau<sup>i</sup>: niveau 1:  $T_{i_1} = \frac{F_i \beta I_i}{\sum I_i}$   $\beta$  et  $\sum I_i$  définis précédemment  
 niveau 2:  $T_{i_2} = (F_1 + F_2) \frac{\beta I_i}{\sum I_i}$

Poutre<sup>i</sup>:  $T = \frac{M_{et} + M_{Wi}}{l_i}$   $l_i$ : portée de la poutre<sup>i</sup>

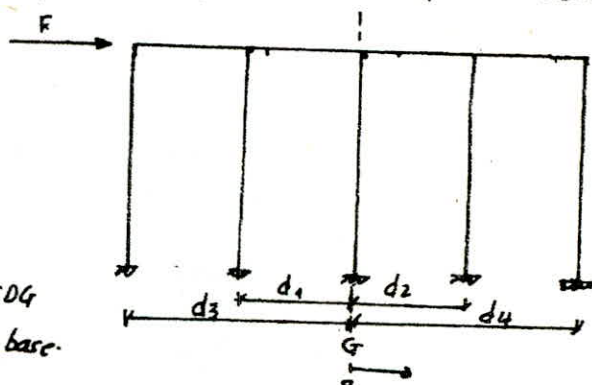
### C- EFFORT NORMAL:

Pour déterminer les poteaux soumis à la traction et ceux soumis à la compression; on assimile le portique à 1 poutre soumise à 1 force horizontale  $F$ .  
 Donc il faut trouver l'axe neutre de notre portique qui n'est autre que le C.O.G des poteaux. (fibre neutre).

L'effort normal est donné par:

Poteau<sup>i</sup>:  $f_i = \frac{F_h d_i s_i}{\sum s_i d_i^2}$

ou  $d_i$ : distance du poteau<sup>i</sup> au C.O.G  
 $s_i$ : section du poteau<sup>i</sup> à la base.



Dans le cas de plusieurs niveaux:  $f_i = \frac{(\sum F_j h_j) \cdot d_i s_i}{\sum s_i d_i^2}$

Le calcul des portiques transversaux, ne remplissant pas les conditions de BOWMAN, seront calculés avec la méthode des déplacements.

Les résultats obtenus sont réunis dans les tableaux ci-joints.

EFFORTS.	POUTRES				POTEAUX..				
	1-2	2-3	3-4	4-5	1-6	2-7	3-8	4-9	5-10
$M_W/M_N [t.m]$	23,92	14,95	14,95	14,95	23,92	29,90	29,90	29,90	23,92
$M_e /M_s [t.m]$	-14,95	-14,95	-14,95	-23,92	-35,82	-44,84	-44,84	-44,84	-35,82
$M_t [t.m]$	2,243				-2,243	-5,98	-7,147	-7,147	-5,98
$T_W/T_N [t]$	6,1478	4,983	4,983	6,1478	5,92	7,140	7,140	7,140	5,92
$T_e /T_s [t]$	6,1478	4,983	4,983	6,1478	5,92	7,140	7,140	7,140	5,92
$N [kN]$					-11,51	-5,73		5,73	11,51

Portique longitudinal 72°

34  
Portique transversal "TJ" sous SH

<del>Poutres</del>	1-2	2-3	3-4	4-5	5-6
$M_W$ [Nm]	5,48	3,44	3,44	3,44	3,44
$M_E$ [Nm]	-3,44	-3,44	-3,44	-3,44	-3,44
$M_E$ [Nm]	3,025				-3,025
$T_W$ [t]	3,488	3,147	3,147	3,147	3,148
$T_e$ [t]	1,488	1,147	1,147	1,147	1,148

<del>poteaux</del>	1-7	2-3	3-9	4-10	5-11	6-12
$M_W$ [Nm]	5,49	6,87	6,87	6,87	6,87	5,49
$M_S$ [Nm]	-2,24	-10,30	-10,30	-10,30	-10,30	-2,24
$M_E$ [Nm]	-1,375	-1,715	-1,715	-1,715	-1,715	-1,375
$T_w$ [t]	1,36	1,70	1,70	1,70	1,70	1,36
$T_s$ [t]	1,36	1,70	1,70	1,70	1,70	1,36
$N$ [t]	-2,29	-3,37	-0,66	0,46	1,37	2,29

Portique transversal "TJ" sous SH

effet	Poutre		poteaux		
	2-3	1-2	3-4	3-5	6-7
$M_N/M_W$	-54,72	0	-3,48	-4,34	-3,17
$M_S/M_E$	46,54	0	13,526	3,60	0,55
$M_E$ [Nm]	46,54	47,22	52,23	-16,24	46,48
$T_N/T_W$ [t]	-33,09	-	-51,68	14,38	32,55
$T_s/t_e$ [t]	-25,2	-	-	-	-
$T_w/T_W$ [t]	10,263	6,23	12,45	3,84	4,8
$T_s/t_e$ [t]	8,715	-	13,61	3,26	3,58
$N$ [t]	10,26	6,23	12,45	3,54	3,68
	0,224	-	-8,08	9,63	0
	-0,128	-	-8,08	-	-

~~SH~~

Portique longitudinal "L1"

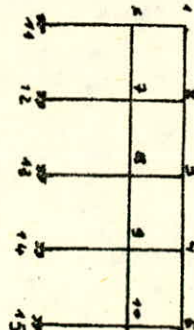
35

<u>POUTRES</u>	1-2	2-3	3-4	4-5	5-6	6-7	7-8	8-9	9-10
$M_W$ [tm]	10,97	6,86	6,86	6,86	22,34	13,97	13,97	13,97	
$M_e$ [tm]	-6,86	-6,86	-6,86	-10,97	-13,97	-13,97	-13,97	-22,34	
$M_t$ [tm]	2,055			-2,055	4,185			-4,185	
$T_W$ [t]	2,972	2,987	2,987	2,972	6,052	4,657	4,657	6,052	
$T_e$ [t]	2,972	2,987	2,987	2,972	6,052	4,657	4,657	6,052	

<u>POTEAUX</u>	1-6	2-7	3-8	4-9	5-10	6-11	7-12	8-13	9-14	10-15
$M_N$ [tm]	10,97	13,73	13,73	13,73	10,97	11,37	14,21	14,21	14,21	11,37
$M_s$ [tm]	-10,97	-13,73	-13,73	-13,73	-10,97	-13,05	-21,31	-21,31	-21,31	-13,05
$M_t$ [tm]										
$T_N$ [t]	4,14	5,18	5,18	5,18	4,14	5,92	7,40	7,40	7,40	5,92
$T_s$ [t]	4,14	5,18	5,18	5,18	4,14	5,92	7,40	7,40	7,40	5,92
$N$ [t]	-4,21	-2,10		2,10	4,21	-9,66	-4,83		4,83	9,66

$N > 0$  compression

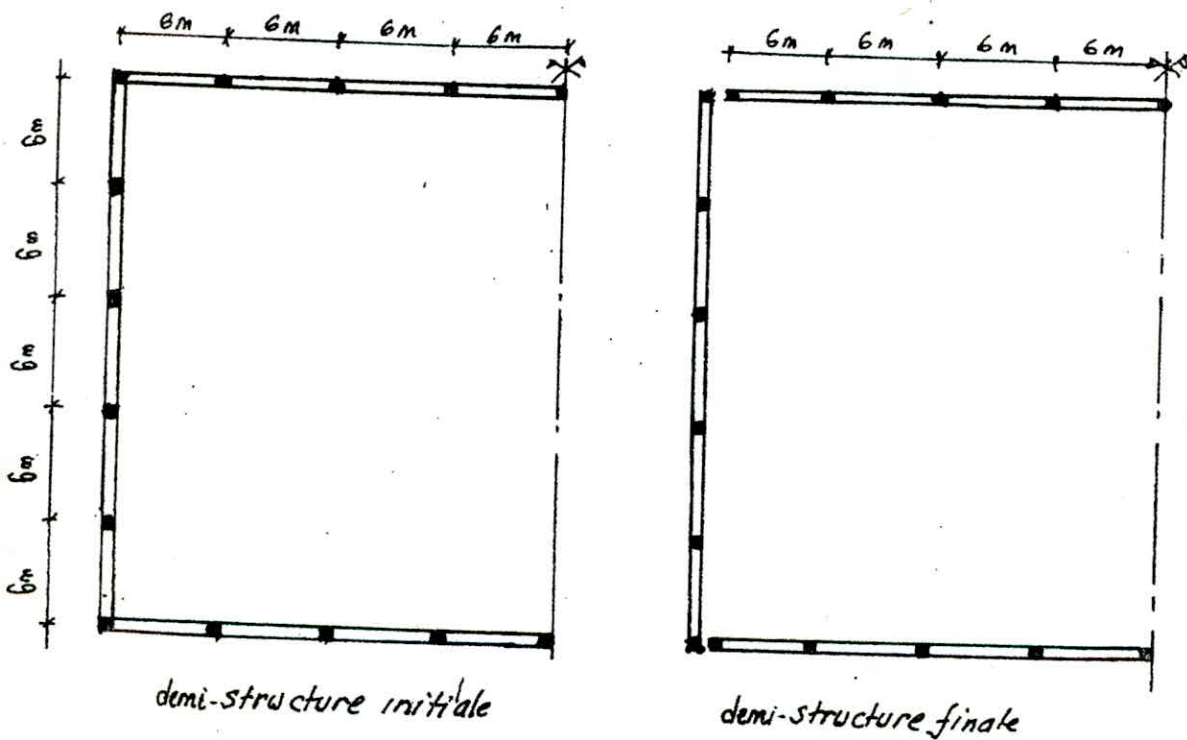
$N < 0$  traction



## TORSION

Le calcul de l'excentricité avec la structure initiale, donnait une valeur relativement grande  $e \approx 4m$ , entraînerait un moment de torsion  $M_T = Fe$  élevé, et par suite des efforts tranchants considérables aux poteaux.

Nous avons été amené à séparer les portiques transversaux de la structure, ce qui annulerait l'excentricité.



# SUPERPOSITION des EFFORTS.

Dans la justification de calcul relative à l'équilibre statique, à la résistance et à la stabilité de forme, on prend en compte les sollicitations dites totales pondérées définies comme suit :

- Sollicitations totales pondérées du 1<sup>er</sup> genre:

$$S_1 = (G) + 1,2(P) + (T)$$

$$S'_1 = (G) + (P) + (V) + (T)$$

- Sollicitations pondérées du 2<sup>eme</sup> genre:

$$S_2 = (G) + 1,5(P) + 1,5(V) + (T)$$

$$S'_2 = (G) + (P) + \gamma_w(W) + (G)$$

$$S''_2 = (G) + (P) + (T) + (SI)$$

avec

(G) : sollicitation due à la charge permanente.

(P) : sollicitation due aux surcharges d'exploitation, y compris les majorations dynamiques éventuelles pour les effets dynamiques.

(V) : sollicitation due aux surcharges climatiques normales

(W) : sollicitation due aux surcharges climatiques extrêmes

$\gamma_w$  : coefficient qui dépend des surcharges d'exploitation

(T) : Sollicitation due aux effets de la température et du retrait

(SI) : sollicitation due au séisme.

Remarque:

Dans notre cas, les sollicitations dues aux effets de la température et du retrait ne sont pas à prendre en compte, car un joint est disposé à mi longueur

- la sollicitation pondérée du 1<sup>er</sup> genre sera :  $(G) + 1,2(P)$

- la sollicitation pondérée du 2<sup>eme</sup> genre sera :  $(G) + (P) + (SI)$

car l'effet du séisme est prépondérant

Les combinaisons du 2<sup>eme</sup> genre données par le RPA81 sont :

- pour les poutres  $\{(G) + (P) + (SI)\}$   
 $\{0,8(G) + (SA)\}$

- pour les poteaux  $\{(G) + (P) + 1,2(SI)\}$   
 $\{0,8(G) + (SA)\}$

Moments entravés (CCBAG8 Art A<sub>12</sub>):

Pour déterminer les moments entravés, on trace la courbe des moments de la travée indépendante, complète de portée ( $L$ ) avec les charges permanentes puis avec les.

charges permanentes et les surcharges et par suite on prend comme ligne de fermeture :

Pour les moments positifs celle qui joint les moments d'appuis minimums en valeur absolue.

Pour les moments négatifs celle qui joint les moments d'appuis maximums en valeur absolue.

Et ceci, dans chaque cas de charges en supposant que les surcharges peuvent être indépendantes les unes des autres.

Moments en travée: "M<sub>t</sub>"

$$\text{sous } (G) + 1,2(P) \longrightarrow M_t = M_o(G+1,2P) - \frac{M_w(G) + M_e(G)}{2}$$

$$\text{sous } (G) + (P) + (\overleftarrow{SH}) \longrightarrow M_t = M_o(G+P) + M_t(\overleftarrow{SH}) - \frac{M_w(G) + M_e(G)}{2}$$

$$\text{sous } 0,8(G) + (\overleftarrow{SH}) \longrightarrow M_t = M_o(0,8G) + M_t(\overleftarrow{SH}) - \frac{M_w(G) + M_e(G)}{2}$$

Moments sur appui: "M<sub>a</sub>"

$$\text{sous } (G) + 1,2(P) \longrightarrow M_a = M_a(G) + M_a(1,2P)$$

$$\text{sous } (G) + (P) + (\overleftarrow{SH}) \longrightarrow M_a = M_a(G) + M_a(P) + M_a(\overleftarrow{SH})$$

$$\text{sous } 0,8(G) + (\overleftarrow{SH}) \longrightarrow M_a = M_a(0,8G) + M_a(\overleftarrow{SH})$$

Effort tranchant:

$$\text{sous } (G) + 1,2(P) \longrightarrow T = T(G) + 1,2T(P)$$

$$\text{sous } (G) + (P) + (\overleftarrow{SH}) \longrightarrow T = T(G) + T(P) + T(\overleftarrow{SH})$$

$$\text{sous } 0,8(G) + (\overleftarrow{SH}) \longrightarrow T = 0,8T(G) + T(\overleftarrow{SH}).$$

## Portique longitudinal "L2"

		POUTRES				POTEAUX					
		1-2	2-3	3-4	4-5	1-6	2-7	3-8	4-9	5-10	
$G + 1/2 P$		$M_W(M_N)$	-10,818	-46,4	-86,29	-48,785	+10,818	-2,337		+2,337	-10,818
$M_t$											
$M_e(M_S)$		48,785	-86,29	-46,4	-10,818	-10,818	+2,337		-2,337	-10,818	
$T_W \quad T_e$						1,753	0,309		0,301	1,753	
$N[F]$						49,283	94,753	84,74	94,75	49,28	
$M_W(M_N)$		-13,342	-30,47	-20,54	-32,785	+13,342	+32,785	-29,30	+45,954	-30,681	
$M_t$											
$M_e(M_S)$		62,655	-50,47	-60,370	-84,580	-30,654	-45,954	-29,30	-32,185	-45,342	
$T_W \quad T_e$						3,163	8,00	7,14	7,10	4,23	
$N[F]$						87,235	88,18	83,38	99,64	60,28	
$M_W(M_N)$		-34,50	-60,370	-50,47	-62,655	-34,458	-27,645	-29,30	-45,954	-30,681	
$M_t$											
$M_e(M_S)$		-32,785	-20,54	-30,47	-13,342	41,07	43,726	44,84	32,185	13,342	
$T_W \quad T_e$						4,123	7,1	7,14	7,12	4,23	
$N[F]$						60,25	98,64	83,38	88,18	37,235	
$M_W(M_N)$		+16,498	-17,147	-10,242	+18,09	-15,48	31,52	29,90	44,03	40,2	
$M_t$											
$M_e(M_S)$		-48,69	-40,14	-47,37	-31,80	-31,69	-45,954	-29,30	-27,645	-34,458	
$T_W \quad T_e$						7,034	7,64	7,14	7,16	4,82	
$N[F]$						25,32	63,59	61,28	73,05	48,34	
$M_W(M_N)$		-34,80	-47,37	-40,14	-48,69	32,36	-28,28	-29,30	-45,954	-31,68	
$M_t$											
$M_e(M_S)$		+19,09	-10,242	-17,147	16,418	40,1	44,03	44,84	31,52	15,48	
$T_W \quad T_e$						4,82	7,16	7,14	7,16	7,034	
$N[F]$						48,34	35,05	61,28	63,59	25,32	

Portique longitudinal "L 1."  
Effort tranchant [t]. - POUTRES -

POUTRES		$G+1,2P$	$G+P+\overline{SH}$	$G+P+\overline{SH}$	$0,8G+\overline{SH}$	$0,8G+\overline{SH}$
1-2	TW	27,215	29,602	28,658	24,49	18,546.
	Te	36,985	33,248	39,192	22,944	29,888
2-3	TW	32,884	34,536.	29,962.	25,546	20,972.
	Te	31,316.	28,314	32,888	19,534	23,94
3-4	TW	31,316.	32,888	28,314	23,94	19,334
	Te	32,884	29,69	34,536	20,972.	25,55
4-5	TW	36,985	39,192.	33,248	28,888	22,95
	Te	27,215	25,658	29,602	18,54	24,149
5-6	TW	18,069	23,848	19,744	17,24	5,173
	Te	20,343	13,412.	25,546	6,00	18,12.
7-8	TW	19,371	23,218	13,904	16,266	6,952.
	Te	19,521	14,042	23,556	7,02.	16,33
8-9	TW	19,521	23,356	14,042.	16,33.	7,014
	Te	19,371	13,904	23,218	6,952.	16,27
9-10	TW	20,343	25,52.	13,412.	18,12.	6,00
	Te	18,069	19,744	23,848	5,173.	17,128

Portique longitudinal "L1" - Poutres -  
moments [tm]

Poutres	G+12P	G+P+SH	G+P+SH	0,8G+SH	0,8G+SH
1-2	M <sub>W</sub>	-17,555	-6,165	-28,105	-1,05
	M <sub>t</sub>	34,998	35,703	31,593	23,573
	M <sub>c</sub>	-46,88	-52,78	-39,06	-39,756
2-3	M <sub>W</sub>	-44,04	-36,28	-50,0	-24,036
	M <sub>t</sub>	27,928	26,178	26,178	15,542
	M <sub>c</sub>	-37,418	-29,734	-43,454	-32,839
3-4	M <sub>W</sub>	-37,418	-43,454	-29,734	-19,119
	M <sub>t</sub>	27,528	26,178	26,178	15,542
	M <sub>c</sub>	-48,054	-50,00	-36,28	-37,756
4-5	M <sub>W</sub>	-46,88	-39,06	-52,78	-26,036
	M <sub>t</sub>	34,998	31,593	35,703	19,463
	M <sub>c</sub>	-17,555	-29,105	-6,165	-22,99
5-6	M <sub>W</sub>	-15,736	-7,152	-37,528	-12,382
	M <sub>t</sub>	15,163	18,124	9,754	10,440
	M <sub>c</sub>	-24,12	-34,164	-6,224	-26,142
6-7	M <sub>W</sub>	-19,423	-4,615	-32,565	+2,454
	M <sub>t</sub>	14,658	13,434	13,434	5,854
	M <sub>c</sub>	-10,439	-32,607	-4,667	+2,268
7-8	M <sub>W</sub>	-19,439	-4,667	-32,607	-25,672
	M <sub>t</sub>	14,658	13,434	13,434	5,854
	M <sub>c</sub>	-19,423	-32,555	-4,615	-25,486
8-9	M <sub>W</sub>	-21,12	-6,224	-34,164	-1,509
	M <sub>t</sub>	15,163	9,754	18,124	2,070
	M <sub>c</sub>	-15,736	-37,528	+7,152	-39,756
9-10	M <sub>W</sub>	-21,12	-6,224	-34,164	-1,509
	M <sub>t</sub>	15,163	9,754	18,124	2,070
	M <sub>c</sub>	-15,736	-37,528	+7,152	-39,756

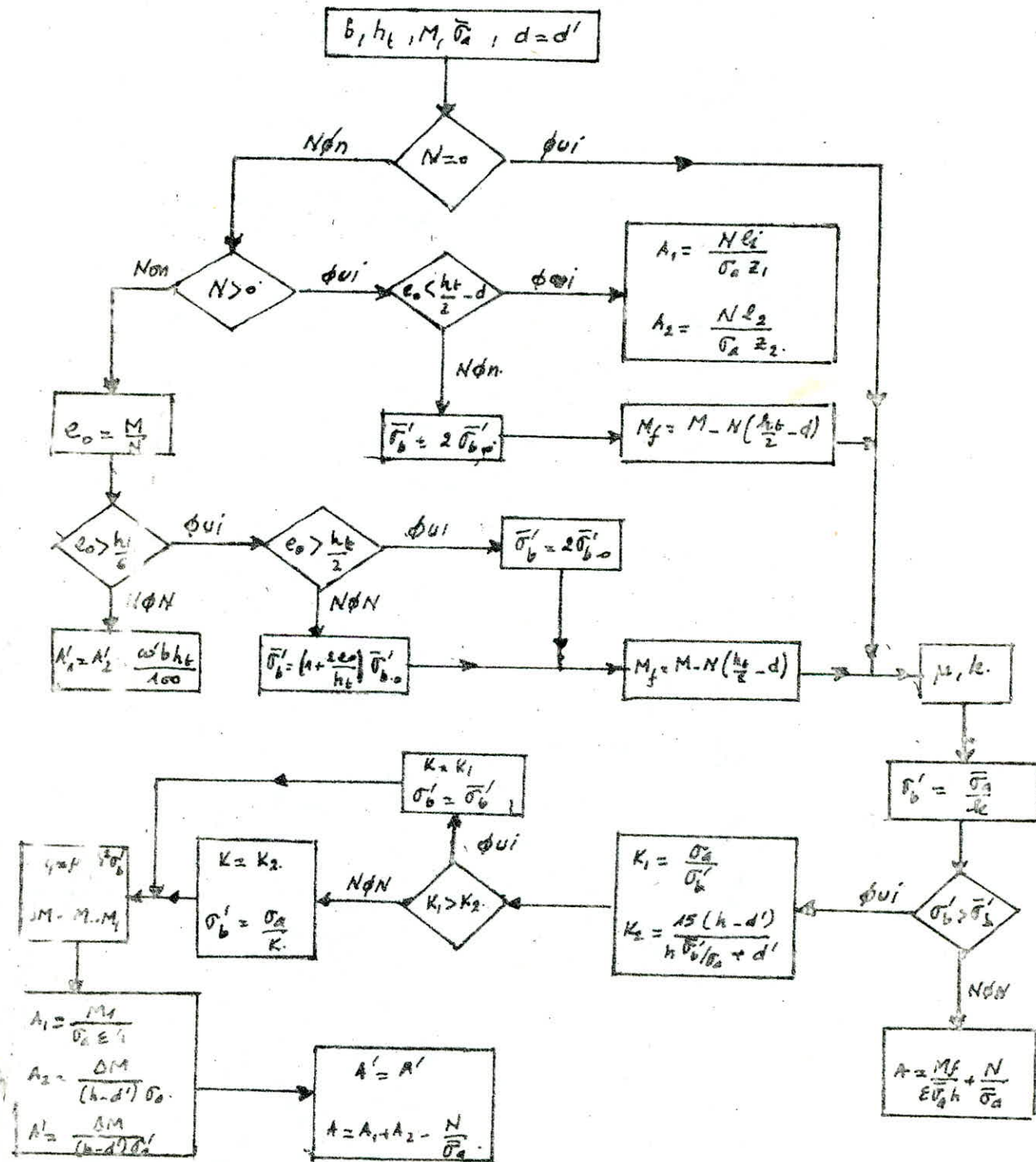
42

Poteaux $\rightarrow$	1-6	2-7	3-8	4-9	5-10	6-11	7-12	8-13	9-14	10-15
$M_N$	-17,055	2,8,36			-2,836	17,055	-2,96	-0,17		-0,17
$M_S$	12,350	-1,627			1,627	-12,350	2,292	-0,084	0,084	-2,292
$T_5=T_N$	6,772.	0,744			0,744	6,772.	1,506.			1,506.
$G+P_{\text{SH}}$										
$N$	47,54	90,194	82,49	90,194	47,54	68,902	132,72.	124,272.	132,72.	68,902.
$M_N$	-6,165	16,510	13,73	12,514	22,95	8,55	1436.	14424	21,236.	19,462.
$M_S$	1,008	-14,949	-13,73	-10,520	-28,105	-14,939	-24,384	-21,31	-14,06	-14,190.
$T_5=T_N$	10,850	41,435	6,18	5,924	2,53	7,286.	7,140	7,40	7,40	4,544.
$G+P_{\text{SH}}$										
$N$	42,745	86,69	84,14	90,9.	56,165	57,904	124,182.	124,28	134,462	77,224.
$M_N$	-26,140	-10,920	-13,73	-14,949.	41,008	-14,15	-14,06	-14,24	-21,394	-14,538.
$M_S$	22,948	12,544	13,73	16,510	-6,165	19,162.	21,236.	24,236	14,36	745.
$T_5=T_N$	2,53.	5,924	5,18	4,436.	10,850	4,544	7,140	7,40	7,40	2,296.
$N$	59,165	90,90	84,134	86,69	42,745	77,224	1345	124,28	124,8	53,8.
$M_N$	-1,058	15,330	13,73	16,515	19,064	9,434	14,24	14,81	24,34.	18,020.
$M_S$	-2,876	-14,745	-13,73	-14,933	-22,948	-16,06	-21,34	-24,39	-14,81	-13,502.
$T_5=T_N$	8,186.	41,435	5,18	5,735	0,58	6,50	7,140	7,40	7,40	5,838.
$G+P_{\text{SH}}$										
$M_N$	31,04	63,34	58,5	67,535	39,43	39,04	86,52	84,85	96,18	58,186.
$M_S$	19,054	12,755	13,73	-14,935	-14,935	-2,976.	-13,306.	-14,24	-14,24	-16,02.
$T_5=T_N$	0,580	5,735	5,18	4,436	8,86	5,329	7,140	7,40	7,40	5,239.
$N$	39,43	63,34	58,5	63,34	39,04	58,52	86,18	84,85	96,18	58,04

Potique longitudinal "L" M, N, T  $\rightarrow$  Netton [t]  $\rightarrow$  m [t]

# FERRAILLAGE des Poutres et Poteaux

Pour le calcul du ferrailage, on a choisi la méthode de CHARON, dont voici l'organigramme de calcul, valable dans tous les cas de flexion composée et simple.



## Ferrailage des poutres:

### 1. Armatures longitudinales:

Les poutres seront ferrallées à la flexion simple, l'effort normal étant négligé CCBA A15.

La section d'acier sera déterminée sous la plus défavorable des sollicitations du premier genre (max  $S_{P1}$ ) et du second genre max( $S_{P2}$ ).

- si  $\max [1,5 M(S_{P1}), M(S_{P2})] = 1,5 M(S_{P1}) \rightarrow$  on calcule  $A$  sous. ( $S_{P1}$ ).

- si  $\max [1,5 M(S_{P1}), M(S_{P2})] = M(S_{P2}) \rightarrow$  on calcule  $A$  sous ( $S_{P2}$ )

### Etapes de calcul:

#### a- Cas de moments négatifs (traction des fibres supérieures)

On calcule la section d'acier nécessaire  $A_{\text{osup}}$  avec  $M_{\text{osup}}^{\text{max}}$ , soit  $A_1$ , la section supérieure minimale donnée par le RPA 81.

alors  $A_{\text{osup}}^{\text{sup}} \geq \max (A_{\text{osup}}, A_1)$ .

#### b- Cas de moments positifs (traction de fibres inférieures)

- On détermine  $A_{\text{oinf}}$  avec  $M_{\text{oinf}}^{\text{max}}$

- soit  $A_2$  la section minimale inférieure donnée le RPA 81.

- Et comme les sections sollicitées par des moments positifs, ce qui dans notre cas les armatures inférieures, seront soumises à une traction égale à  $T + \frac{M}{z}$

$$A_{\text{oinf}}^{\text{min}} \geq \frac{T + M/z}{f_a}$$

la section d'armatures inférieures finales sera:

$$A_{\text{oinf}} \geq \max (A_{\text{oinf}}^{\text{min}}, A_2, A_{\text{oinf}}^{\text{max}})$$

### 2. Armatures transversales:

Leurs rôles est de reprendre l'effort tranchant dans les poutres et d'éviter la fissuration. Elles sont calculées à l'effort de cisaillement maximum.

#### Contrainte de cisaillement maximale:

$$\tau_b = \frac{T^{\text{max}}}{b z} \quad \text{avec } z = \frac{l}{8} h$$

### contrainte admissible des armatures transversales

$$\bar{\sigma}_{at} = \frac{2}{3} \sigma_{en} \quad \text{si on a reprise de bétonnage.}$$

$$\bar{\sigma}_{at} = \max \left[ \frac{2}{3}, 1 - \frac{\varepsilon_b}{9\bar{\sigma}_b} \right] \sigma_{en} \quad \text{si on a reprise de bétonnage.}$$

### contrainte admissible de cisaillement :

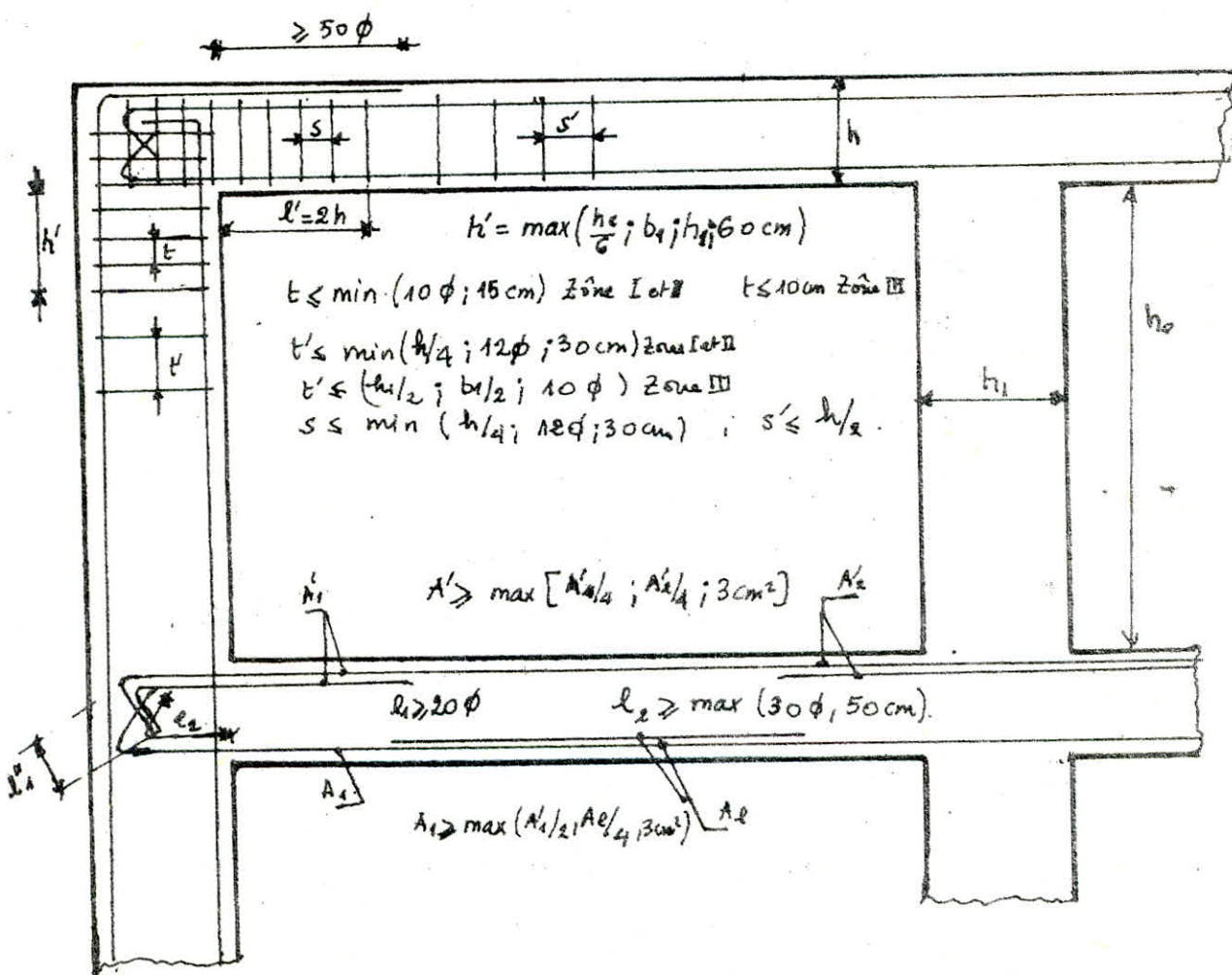
$$\bar{\tau}_b = \begin{cases} 3,5 \bar{\sigma}_b & \text{si } \bar{\sigma}'_b < \bar{\sigma}'_{b,0} \\ \left( 4,5 - \frac{\bar{\sigma}'_b}{\bar{\sigma}'_{b,0}} \right) \bar{\sigma}_b & \text{si } \bar{\sigma}'_{b,0} \leq \bar{\sigma}'_b \leq 2 \bar{\sigma}'_{b,0} \end{cases}$$

. si  $\varepsilon < 3,5 \bar{\sigma}_b$ . Cadres et Etriers droits. (verticaux)

. si  $3,5 \bar{\sigma}_b < \varepsilon < 5 \bar{\sigma}_b$ . cadre et Etriers verticaux plus des barres indinées

. si  $\varepsilon > 5 \bar{\sigma}_b$  on change l'section

### Recommandations et prescriptions relatives au ferrailage (RPA 84 Art 4.03-2)



Armatures longitudinales:

- le % total minimum sur toute la longueur de la poutre doit être de 0,3% pour les H.A et 0,5% pour les R.L.
- le % total maximum des aciers longitudinaux doit être de 2,5%.
- les poutres supportant les charges verticales des planchers doivent comporter des armatures filantes supérieures et inférieures.

Armatures transversales:

La quantité d'armatures transversales minimales est donnée par:

$$A_t = 0,003 \cdot s \cdot b.$$

d'espacement maximum  $s$ :

$$s \leq \min(h/4, 12\phi)$$
 zone nodale.

$$s \leq \frac{h}{2}$$
 zone courante.

$\phi$ : étant le plus petit diamètre calculé et dans le cas d'une section en travée avec armatures comprimées, c'est le diamètre le plus petit des aciers comprimés.

Remarque: Il est à noter qu'après un premier calcul avec les coffrages obtenus à partir du prédimensionnement, nous avons été amené à modifier le coffrage des poteaux et des poutres, pour plusieurs raisons

- 1°- Le pourcentage des armatures longitudinales dépassait le pourcentage maximum donné par le R.P.A. (4% poteaux, 2,5% poutres)
- 2°- le usiissement (parfois  $\geq 50\%$ )

On a adopté les sections suivantes

- poutres
- poteaux :

ferraillage des poutres (sur appuis)  
Portique L1

Nœud	$M_{max}$ ( $Sp_1$ )	$A_o^{sup}$	$A_o^{inf}$	$T_{max}(Sp_1)$	$A_o^{inf\ min}$	$A_o^{inf}$	Section adoptée	$A [cm^2]$
1	-38,106	43,999					ST20	45,70
				33,215	9,7196		ST16	10,05
2	-46,85	34,43					ST20 + 10T20	35,8
				36,075	13,21	30,07	10T20	34,41
3	-37,418	27,633					9T20	28,27
				31,316	13,21	19,34	ST20 + 2T14	18,78
6	-37,528	18,50					ST20 + 2T14	18,78
	+12,382	5,909		18,068	12,58	12,32	ST16 + 2T14	18,13
7	-34,464	16,999					ST16 + ST14	17,75
	8,454	1,145		20,343	8,45	8,54	ST16	10,05
8	-32,555	16,3664					ST16 + ST14	17,75
	2,268	1,025		19,524	8,00		ST16	10,05

Portiques L2 sur appuis

Nœud	$M_{max}$ ( $Sp_1$ )	$A_o^{sup}$	$A_o^{inf}$	$T_{max}(Sp_1)$	$A_o^{inf\ min}$	Section Adoptée	$A [cm^2]$	$A' [cm^2]$
1	-62,685	34,30				10T20	39,42	
	16,42		46,82	25,774	14,26	15T20		43,22
2	-48,985	35,90				12T20	37,69	
				38,39	13,71	ST20		19,70
3	-36,29	26,84				9T20	28,37	
				30,775	10,59	5T20		18,70

Portique T1 sur appuis

Nœud	$M_{max}$ $Sp_1$	H	E	K	$A_o^{sup}$	$A_o^{inf}$	$T_{max}(Sp_1)$	$A_o^{inf\ min}$	Section adoptée	$A [cm^2]$
1	-7,002 4,280	0,0165 0,0102	0,9429 0,9550	72,15 96,0	3,22				7T16	14,07
						1,84	6,802	3,74	7T16	"
2	-7,237 3,98	0,0256 0,0093	0,9306 0,9565	57,0 100	5,05				7T16	14,07
						1,8	5,688	3,32	7T16	"
3	-7,206 0,427	0,0170 0,427	0,9424	71,75	3,34				7T16	14,07
							5,688	6,38	7T16	

## ferraillage des poutres (en travée)

portique	Travée	M <sub>max</sub>	A <sub>sup</sub> [cm <sup>2</sup> ]	A <sub>inf</sub> [cm <sup>2</sup> ]	section adoptée	A [cm <sup>2</sup> ]	A' [cm <sup>2</sup> ]
L1	1-2	34,998		25,962	7T20+3T14	26,58	5,32
			15,340		5T20		15,70
	2-3	27,528		20,62	5T20+5T12	24,35	
			6,088		5T14		7,70
L2	6-7	15,163		11,19	5T14+4T12	12,22	
	7-8	14,658	10,90		5T14+4T12	12,22	
T1	1-2	3T114		27,22	7T20	28,27	
		14,664	18,22		7T20		21,89
	2-3	27,07		20,25	7T20		
T1	1-2	5,129		3,54	7T16	14,07	
	2-3	3,928		2,69	7T16	14,07	
	3-4	5,338		3,98	7T16	14,07	

## Verification de la condition de fragilité (CC8468 Art 52)

$$A \geq 0,69 bh \frac{\bar{\sigma}_b}{\sigma_{en}}$$

$$0,69 bh \frac{\bar{\sigma}_b}{\sigma_{en}} = 0,69 \cdot 50 \cdot 55 \cdot \frac{8,85}{4200} = 3,998 \text{ cm}^2 < A_{min} = 5T16 = 14,07 \text{ cm}^2$$

### Verification de la fissuration :

On doit avoir  $\max(\sigma_1, \sigma_2) > \bar{\sigma}_a$

$$\text{avec } \sigma_1 = \frac{K_p}{\phi} \frac{\bar{\omega}_f}{1+10\bar{\omega}_f} \quad ; \quad \sigma_2 = 3,4 \sqrt{\frac{K_p \bar{\sigma}_b}{\phi}} \quad \text{où } \bar{\omega}_f = \frac{A}{2bd}$$

$\phi_{mn}$	Section	$A [\text{cm}^2]$	$\bar{\omega}_f$	$\sigma_1$	$\sigma_2$	$\bar{\sigma}_a$
20	9T20	28,27	0,0446	3703	2019,4	2800
20	7T20	21,89	0,0346	3082	2019,4	2800
20	7T20 + 3T16	26,51	0,0324	6037	2019,4	2800
20	5T20 + 10T16	35,8	0,0968	7386,8	2258	2800
20	5T20 + 4T18	21,25	0,0804	5348	2019,4	2800
16	5T14 + 4T12	12,22	0,0487	5614	2493	2800

$\sigma_1 > \bar{\sigma}_a$   
vérifiée

### Verification de la condition de non écrasement du béton.

En toute partie courbe, d'une barre, le rayon de courbure ( $r$ ) doit satisfaire l'inégalité suivante:

$$r \geq 0,1 \phi \frac{\bar{\sigma}_a}{\bar{\sigma}_{b..}} \left(1 + \frac{\phi}{d_s}\right)^2$$

avec  $d_s$ : distance entre centre de courbure de la barre et la paroi

$\bar{\sigma}_a$ : contrainte à l'origine de la barre

$\nu$ : coefficient numérique:

$\nu = 1$  : barre courbée isolée ou fait partie d'un ensemble de barres courbées en un seul lit

$\nu = 5/3$  : barre courbée appartenant à un ensemble dispersé en 2 lits

on prend  $d_s = 5 \text{ cm}$        $\bar{\sigma}_{b..} = 68,5 \text{ kg/cm}^2$        $\bar{\sigma}_a = \bar{\sigma}_{a..} = 2800 \text{ kg/cm}^2$

alors pour

$$\phi = 14 \text{ mm} \quad v=1 \longrightarrow n \geq 5,2 \phi$$

$$v=5/3 \longrightarrow n \geq 8,7 \phi$$

$$\phi = 16 \text{ mm} \quad v=1 \longrightarrow n \geq 5,5 \phi$$

$$v=5/3 \longrightarrow n \geq 9 \phi$$

$$\phi = 20 \text{ mm} \quad v=5/3 \longrightarrow n \geq 9,5 \phi$$

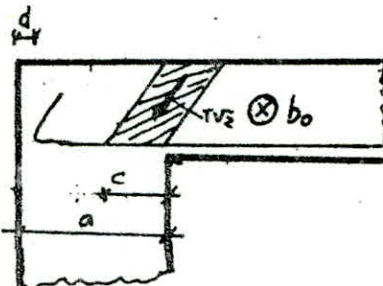
### Verification d'appuis:

on doit avoir

$$c \geq \frac{2T}{b_0 \bar{\sigma}_{b,0}} = c_0$$

$$\text{avec } c = a + (d+r)$$

$$a = b_0 = 50 \text{ cm}$$



Portique	L2	L3	T <sub>0</sub>
Appui	1	1	5
T [t]	25,774	39,192	20,343
C <sub>0</sub> [cm]	15,05	22,89	11,88
C [cm]	26	26	36,2

### Condition de non entraînement des barres..

On devra avoir  $\bar{\epsilon}_d \leq \bar{\epsilon}_d$

$$\text{avec } \bar{\epsilon}_d = 2 \psi_d \bar{\sigma}_b \quad (\psi_d = 1,5 \text{ H.A})$$

$$\bar{\epsilon}_d = \frac{T}{3 P_{0,i}} \frac{A_i}{A}$$

où A. Section totale des armatures tendues

A<sub>i</sub> section de la barre (i) ou d'un paquet de barres.

P<sub>0,i</sub> périmètre utile d'une barre (i). ou d'un paquet de barres.

$$j = 7/8 \quad h = 48,125 \text{ cm.}$$

$$\bar{\epsilon} = 2 \cdot 1,5 \cdot 5,9 = 17,7 \text{ kg/cm}^2$$

Appui	$T_{sp_1}$ [kN]	d [mm]	A [cm²]	$A_e/A$	$\sigma_a, i$	$\bar{c}_d$
7T16	6,642	16	14,07	0,14	5,03	3,52
10T20	25,774	20	31,44	0,10	6,28	7,82
5T20	27,74	20	15,78	0,20	6,28	16,82
5T16	21,40	16	10,05	0,20	5,03	16,81
5T20 + 2T14	32,884	14	18,78	0,08	4,40	11,39
		20		0,17	6,28	16,96
5T16 + 2T14	18,069	14	13,13	0,12	4,40	9,29
		16		0,15	5,03	10,26
5T16 + 5T14	18,069	14	17,75	0,09	4,40	7,55
		16		0,11	5,03	8,02
5T20 + 2T16	18,069	16	19,72	0,10	5,03	6,84
		20		0,16	6,28	8,77

$$\bar{c}_d < \bar{\bar{c}}_d$$

### Verification des contraintes:

#### - Section sans armatures comprimées:

Portique "L 1"

i	M (sp <sub>2</sub> )	A	$\bar{w}$	E	K	$\sigma_a$ [kg/cm²]	$\sigma_b'$ [kg/cm²]
appui 1	28,105	16,70	0,985	0,8641	21,8	3639,4	169,69
appui 8	32,655	17,75	1,065	0,8536	20,4	3850	194,54
travet 6-7	15,163	12,22	0,731	0,8762	25,4	2540,2	100
travet 7-8	14,658	12,28	0,731	0,8762	25,4	2455,6	96,69

on calcule  $\bar{w} = \frac{A}{bh} \cdot 100$  et des tableau de CHARDON, on tire: E et K.

puis on calcule  $\sigma_a = \frac{M}{EhA}$ ,  $\sigma_b' = \frac{\sigma_a}{K}$ .

#### - Section avec armatures comprimées:

On calcule la position de l'axe neutre ( $y_i$ ) à partir de l'équation du moment statique

$$S(y_i) = b \frac{y_i^2}{2} + nA'(y_i - d') - nA(h - y_i) = 0$$

$$\text{l'inertie est: } I = b \frac{y_i^3}{3} + nA'(y_i - d')^2 + nA(h - y_i)^2.$$

on pose  $K = \frac{M}{I}$ . les contraintes sont alors:

$$\sigma_b' = y_i K$$

$$\sigma_a' = Kn(y_i - d')$$

$$\Gamma_a = nk(h - y_i)$$

	$M_{sp2}$	A	$A'$	$y_i$	K	$\sigma'_a$	$\sigma'_b$	$\sigma_a$
Portique L 2 Tendeur appui	1 62,685	31,41	47,11	20,47	7,95	1845	162	4118
	2 60,87	37,68	15,70	24,95	8,02	2397	183,92	3484
	3 50,44	28,27	15,70	24,02	8,58	2283	192,07	2718
	4-2 38,087	28,27	21,89	22,82	5,74	1560	130,94	2820
	7-1 25,72	22,98	10,07	19,78	310,84	2232	204,53	3013
Portique L 2 Tendeur appuis	3 28,105	15,70	10,05	20,04	6,616	1611,6	132,16	3568,67
	2 46,88	35,8	31,42	23,08	5,672	1538	130,9	2616
	6 37,528	19,72	13,13	21,28	7,458	1915	188,67	3843
	7 34,164	12,75	10,05	20,98	7,58	1936	157,62	3892
	4-2 34,598	26,52	15,7	23,22	5,65	1696	131,7	2705
	2-3 27,528	21,35	7,70	23,24	5,95	1596	126,54	2642

## Armatures transversales

on prend  $A_t = (2 \text{ cadres} + 1 \text{ extérieur}) \phi B = 3,01 \text{ cm}^2$ .

contrainte de cisaillement:

$$\tau_b = \frac{T}{b z} \quad \text{avec } z = \frac{7}{8} h = 48,125 \text{ cm}$$

contrainte admissible de cisaillement:

$$\bar{\tau}_b = \begin{cases} 3,5 \bar{\sigma}_b & \text{si } \sigma'_b \leq \bar{\sigma}'_b \\ \left(4,5 - \frac{\sigma'_b}{\bar{\sigma}'_b}\right) \bar{\sigma}_b & \text{si } \bar{\sigma}'_b \leq \sigma'_b \leq 2\bar{\sigma}'_b \end{cases}$$

contrainte admissible des armatures tendues:

$$\sigma_{at} = \begin{cases} \frac{2}{3} \sigma_{cn} & \text{s'il y a reprise de bétonnage} \\ \left(1 - \frac{\bar{\tau}_b}{9\bar{\sigma}_b}\right) \sigma_{cn} & \text{pas de reprise de bétonnage} \end{cases}$$

Espacement  $t$ :

$$t = \frac{A_t z \bar{\sigma}_{at}}{T}$$

Espacement admissible donné par le RPA 81:

zone nodale:

$$t \leq \min \left( \frac{ht}{4}, 120,30 \text{ cm} \right)$$

zone courante

$$t \leq \frac{ht}{2} = 30 \text{ cm}$$

Position	N°ord	$T_{602}^{max}$	$\sigma_b'$	$\sigma_b$	$E_{B/Han}$	$\bar{\sigma}_{eff}$ $kg/cm^2$	$t$ $[cm]$	$t$ adopté en [cm] → Joint Nodale et parante
9	1	39,110	108	21,60	30,52	2400	11,15	8 15
	2	44,496	133,21	30,82	28,35	2400	7,81	8 15
	3	39,763	128,05	26,15	28,80	2400	9,22	8 15
	1	38,602	169,65	27,43	25,27	2400	7,78	8 15
	2	39,192	145,27	27,14	27,38	2400	8,87	8 15
	3	39,888	132	22,78	28,46	2400	10,57	8 15
	6	23,848	158,67	16,52	26,16	2400	14,58	8 15
	7	29,602	157,6	20,50	26,25	2400	11,75	8 15
	8	25,516	101,54	17,67	23,33	2400	13,63	8 15
	1	6,642	62,1	4,22	30,975	2400	57,1	8 15
	2	6,162	67,13	3,92	30,975	2400	6,15	8 15
	3	5,688	64,7	3,69	30,975	2400	67	8 15

## Portique "A"

ST20 5T20+4T16 3T14+2T12 5T20+2T14 3T14+2T12 1 5T20+4T16  
 ▲ 5T20+3T14 ▲ 5T20+5T12 ▲ 5T20+5T12 5T20+3T14 ▲ 5T20

ST20+2T16 5T18 4OT20 5T12 5T16+3T14 5T12 5T12  
 ▲ 5T16+2T14 ▲ 5T16+2T14 5T1 5T16+2T14 5T16+2T14

## Portique "C2"

4OT20 5T20 4OT20 5T20 5T20 5T20 5T20 5T20 5T20 4OT20  
 ▲ 4OT20 5T20 5T20 5T20 5T20 5T20 5T20 5T20 5T20 4OT20

## Portique "T1"

5T18 5T12 5T12 5T16 5T12 5T12 5T12 5T12 5T12 5T12  
 ▲ 5T16 5T12 5T12 5T16 5T12 5T12 5T12 5T12 5T12 5T12

# FERRAILLAGE des Poteaux

les poteaux sont soumis à des efforts normaux, des efforts tranchants et à des moments en tête et à la base, dans le sens longitudinal et transversal. Ils sont donc calculés en flexion combinée. On fera le calcul sous ( $S_{P_1}$ ) et sous la plus défavorable des combinaisons du second genre et on obtiendra la plus grande des actions d'acières.

Distingue 3 types d'efforts :

- $N_{min}, M_{corr}$  → Pour le calcul des armatures tendues
- $N_{max}, M_{corr}$
- $N_{corr}, M_{max}$  } Pour le calcul du béton comprimé et éventuellement les armatures comprimées.

## METHODE de calcul.

On adopte la méthode de P. CHARON.

### contrainte admissible du béton

$$\ast \bar{\sigma}_b' = 2 \bar{\sigma}_{b,0}' \quad \text{si } e_0 = \frac{M}{N} > \frac{ht}{2}$$

$$\ast \bar{\sigma}_b' = \left(1 + \frac{e_0}{3e_1}\right) \bar{\sigma}_{b,0}' \quad \text{si } e_0 < \frac{ht}{2}$$

1)  $e_0 > e_1$ . → Section partiellement comprimée

2)  $e_0 \leq e_1$ . → { section entièrement comprimée (si  $N$  est l'effort de compression)  
{ section entièrement tendue (si  $N$ : traction).

3)  $e_0 \approx 0$  → compression simple.

### Prescriptions relatives aux armatures: (RPA 81. Art 4.2.3-1).

#### \* Armatures longitudinales

- Elles doivent être à haute adhérence, droites et sans crochets.
- Pourcentage minimum 48% en zone I
- Pourcentage max. 4% en zone I.
- Le diamètre minimum: 12mm zone I
- longueur minimum d'enroulements : 50 Ø tija en zone I.
- La distance entre les barres verticales dans une face du poteau ne doit pas dépasser: 25cm Zone I et II
- les jonctions par recouvrement doivent être faites, si possible, à l'extérieur des zones nodales.

\* Armatures transversales:

les armatures transversales des poteaux sont calculées à l'aide de la formule:

$$\frac{A_t}{s} = \frac{1,25 T}{h_t \cdot \sigma_{en}}$$

où  $T = 2$  fois l'effort tranchant de calcul si l'élancement mécanique dans la direction considérée est supérieur ou égal à 15 ( $\lambda \geq 15$ )

$T = 3$  fois l'effort tranchant de calcul si  $\lambda \leq 15$ .

$s =$  l'espacement entre les cours successifs d'armatures transversales

$s \leq 12 \cdot \phi$  zone courante.

$s \leq \min(10\phi, 15\text{cm})$  zone nodale.

$\phi$ : diamètre le plus petit des armatures longitudinales  
la quantité minimale d'armatures transversales est donnée par:

$$A_t = 0,003 \cdot s \cdot b_1 \quad \text{en zone I} \quad b_1: \text{l'largeur du poteau.}$$

Prescriptions relatives au flambement:

\* Pièce chargée axialement ( $N \neq 0, M=0$ )

- $\lambda \leq 50 \rightarrow$  calcul en compression simple.

- $50 \leq \lambda \leq 150 \rightarrow$  calcul en flexion composée en prenant:  $N$  et  $e$ .

$$\text{où } e_0 = f_c = \frac{8c^2}{\nu} (1 + \xi) \cdot 10^{-3} \cdot (\lambda - 50)^{3/2}$$

\* charge excentrée ( $N, M_{G_0}, e_0$ )

- $\lambda \leq 35 \rightarrow$  calcul en flexion composée avec  $N, e$ .

- $35 \leq \lambda \leq 50 \rightarrow$  calcul en flexion composée avec  $N, e_0$ :

$$\text{où } e_{01} = e_0 + 0,16(\lambda - 35)e_0$$

- $50 \leq \lambda \leq 150 \rightarrow$  on calcule  $X$  avec  $X^2 = \lambda + \frac{33600}{1+0,69} \frac{e_0}{h_t}$

et on vérifie  $X$  comme ci-dessus

Vérification au flambement:

Arrêté du 5 juillet 1958 V. 15.4.6. VII.

- Poteau A<sub>1</sub>: Poteau de rete du pontique L<sub>1</sub>

- " A<sub>2</sub>: " déversoir émissaire " " "
- " A<sub>3</sub>: " de rive " " " L<sub>2</sub>
- " A<sub>4</sub>: " intermédiaire " " " L<sub>2</sub>
- " B<sub>1</sub>: " de rive " " " T<sub>1</sub>
- " B<sub>2</sub>: " déversoir émissaire " " " T<sub>1</sub>
- " C<sub>1</sub>: " de rive des Grands " " " T<sub>1</sub>
- " C<sub>2</sub>: " intermédiaire " " " T<sub>1</sub>

Poteau	N°	Sens longitudinal			Sens transversal		
		L <sub>0</sub> (m)	K	$\lambda$	L <sub>0</sub> (m)	K	$\lambda$
A <sub>1</sub>	1	4,5	0,5	15,50	4,5	0,5	11,13
	2	5	0,5	17,32	5	0,7	17,32
A <sub>2</sub>	1	4,5	0,5	15,59	4,5	0,5	11,13
	2	5	0,5	17,32	5	0,7	17,32
A <sub>3</sub>	5	0,5	17,32	10,1	0,7	35	
A <sub>4</sub>	5	0,5	17,32	10,1	0,7	35	
B <sub>1</sub>	14,1	2	123,12	16	0,5	19,50	
B <sub>2</sub>	14,1	2	123,12	16	0,5	26	
C <sub>1</sub>	3,30	0,5	12,43	330	0,5	11,43	
C <sub>2</sub>	3,30	0,5	11,43	330	0,5	11,43	

$\lambda$  est toujours < 35 sauf sur B<sub>1</sub> et B<sub>2</sub> dans le sens longitudinal  
donc on doit travailler avec une excavation f.c.

$$f_c = \frac{\theta_{\text{eff}}^2}{v^2} (1 + f) \cdot 10^{-3} (\lambda' - 50)^{3/2}$$

$$i^2 = 300, v = 30 \quad \{ f = 1.$$

$$\lambda' = \lambda^2 + \frac{33000}{(1,96 \cdot 2)} \cdot \frac{e_0}{60}$$

$$f_c = 0,128 (\lambda' - 50)^{3/2}$$

Year	#	SP <sub>1</sub>				N <sup>max</sup> , M com				SP <sub>2</sub>				N <sup>max</sup> , M com				SP <sub>3</sub>			
		N <sub>(1)</sub>	M <sub>kg</sub>	E <sub>cm</sub>	Salt	Ø <sub>b</sub> '	N <sub>(2)</sub>	M <sub>kg</sub>	E <sub>cm</sub>	Salt	Ø <sub>b</sub> '	N <sub>(3)</sub>	M <sub>kg</sub>	E <sub>cm</sub>	Salt	Ø <sub>b</sub> '	N <sub>(4)</sub>	M <sub>kg</sub>	E <sub>cm</sub>	Salt	Ø <sub>b</sub> '
1	1	68,9	2,9	4,8	SEC	80,01	77,22	29,96	32,76	SPC	20,95	39,04	26,08	66,8	SPC	20,55	77,24	29,11	37,65	SPC	20,55
2	2	47,54	17,05	35,86	SPC	137	51,16	22,40	54,93	SPC	20,55	31,01	2,88	9,29	SPC	16,93	51,16	28,10	54,93	SPC	20,55
Year	1	68,9	2,9	4,8	SEC	80,01	77,22	29,96	32,76	SPC	20,95	40,44	65,0	160	SPC	20,55	77,24	68,8	80,40	SPC	20,55
2	2	47,54		C.S.	68,5	46,55	56,46	42,68	SPC	20,55	35,21	54,66	160,8	SPC	20,55	46,55	56,46	42,68	SPC	20,55	

### Poteau A<sub>2</sub>

Year	#	SP <sub>1</sub>				N <sup>max</sup> , M com				SP <sub>2</sub>				N <sup>max</sup> , M com				SP <sub>3</sub>			
		N <sub>(1)</sub>	M <sub>kg</sub>	E <sub>cm</sub>	Salt	Ø <sub>b</sub> '	N <sub>(2)</sub>	M <sub>kg</sub>	E <sub>cm</sub>	Salt	Ø <sub>b</sub> '	N <sub>(3)</sub>	M <sub>kg</sub>	E <sub>cm</sub>	Salt	Ø <sub>b</sub> '	N <sub>(4)</sub>	M <sub>kg</sub>	E <sub>cm</sub>	Salt	Ø <sub>b</sub> '
Long	1	80,85	0,08	0,06	C.S.	58,5	18,16	31,13	21,23	SPC	19,82	34,55	31,31	36,36	SPC	20,55	124,8	32,58	31,13	SPC	20,55
2	2	94,0	2,83	5,01	SEC	76,65	30,99	12,95	14,02	SPC	16,85	59,50	13,73	23,08	SPC	19,51	86,69	46,59	45,04	SPC	20,55
Year	1	132,0	13,24	9,82	SEC	92,92	14,19	62,8	48,13	SPC	20,55	34,65	65,0	79,60	SPC	20,55	44,2	67,8	48,73	SPC	20,55
2	2	94,0		C.S.	68,5	92,25	56,46	61,10	SPC	20,55	64,8	56,16	87,14	SPC	20,55	52,8	56,46	61,10	SPC	20,55	

Poteau A<sub>3</sub>, A<sub>4</sub>, B<sub>2</sub>, B<sub>2</sub>

Sens	SP <sub>1</sub>				N <sup>max</sup> , M con				SP <sub>2</sub>				N <sup>max</sup> , M con				SP <sub>3</sub>				N con, M <sup>max</sup>				SP <sub>4</sub>			
	N <sub>(e)</sub>	M <sub>tm</sub>	E <sub>0</sub>	Soll	Ø <sub>b</sub> '	N	M	e <sub>0</sub>	Soll	Ø <sub>b</sub>	N	M	e <sub>0</sub>	Soll	Ø <sub>b</sub> '	N	M	e <sub>0</sub>	Soll	Ø <sub>b</sub>	N	M	e <sub>0</sub>	Soll	Ø <sub>b</sub> '			

Poteau A<sub>3</sub>

L	49,28	10,84	21,94	SPC	128,6	60,25	41,07	68,17	SPC	205,5	25,38	31,66	125	SPC	205,5	60,25	41,07	68,17	SPC	205,5				
T	49,3		C.S	68,5	48,7	58,97	11,18	SPC	205,5	36,8	58,97	158	SPC	205,5	48,7	58,97	11,18	SPC	205,5					

Poteau A<sub>4</sub>

L	94,75	2,33	2,46	SEC	75,24	99,64	43,32	43,35	SPC	205,5	61,28	44,84	73,17	SPC	205,5	88,15	45,95	52,13	SPC	205,5				
T	94,75		C.S	68,5	93,9	58,17	61,88	SPC	205,5	69,8	58,17	84,55	SPC	205,5	93,9	58,17	61,88	SPC	205,5					

Poteau B<sub>2</sub>

L	49,54		C.S	68,5	49,54	41,26	24,28	SPC	205,5	15,63	10,26	24,2	SPC	205,5	49,54	41,26	24,2	SPC	205,5					
T	49,54	3,1	15,86	SPC	122,77	22,29	8,99	40,31	SPC	205,5	13,34	7,63	57,2	SPC	205,5	22,29	8,99	40,33	SPC	205,5				

Poteau B<sub>2</sub>

L	33,68		C.S	68,5	33,68	11,26	162,2	SPC	205,5	26,94	11,26	180	SPC	205,5	33,68	11,26	162,2	SPC	205,5					
T	33,68	0,5	44,8	SEC	73,57	35,38	11,31	54,85	SPC	205,5	25,57	16,1	62,96	SPC	205,5	33,32	11,32	54,85	SPC	205,5				

## CALCUL des ARMATURES MINIMALES.

Pot	Sens	Niv	Soll	$N_t$	$\bar{c}_t$	$\lambda$	$\delta_m'$	$a_s$	$a_{l,mm}$
$A_1$	L	1	SPC	68,9	111,45	11,35	58,52	2,46	22,88
		3	CS	63,50	63,5			2,30	6,64
		4	SEC	68,9	80,01			2,16	7,43
		5	SEC	68,96	83,7	16,05	33,65	2,19	14,27
$A_2$	L	1	SEC	92,72	93,32			2,16	11,13
		2	CS	94,0	68,5			2,30	10,22
		3	CS	114,38	68,5			2,16	11,13
		4	SEC	94,0	76,95			2,29	8,35
$A_3$	T		CS	68,9	68,5			4,64	11,48
			SPC	49,52	122,62	10,36	33,35	2,36	15,80
$A_4$	T		CS	94,75	68,5			4,64	11,07
$B_1 = 34$	L		SEC	94,75	75,24			2,36	8,68
$B_2$	T		SPC	49,54	122,79	14,23	34,20	2,47	7,87
			CS	19,54	68,5			13,44	9,44
$B_3 = 34$	L		SEC	38,68	73,57			2,47	3,23
			CS	28,68	68,5			13,44	16,26

$$A_t^{\min} = \frac{1,25 \theta_1 \theta_2 \delta_m' \cdot b}{1000 \bar{\delta}_{b0}'}$$

avec  $\delta_m' = \frac{N}{b Y_1}$

$$Y_1 = \frac{15 \delta_i'}{15 \delta_i' + 6a} h$$

SEC et. CS

$$A_t^{\min} = \frac{1,25 \theta_1 \theta_2 N}{1000 \bar{\delta}_{b0}'}$$

Poteau A<sub>1</sub>

Soll	N <sup>max</sup> , M cor				SP <sub>2</sub>				N <sup>min</sup> , M cor				SP <sub>2</sub>				N cor, M <sup>max</sup>				SP <sub>2</sub>			
Sens	long		travers		long.		travers		long.		travers		long.		travers		long.		travers		long.		travers	
NIV	1	2	1	2	1	2	1	2	1	2	1	2	1	2	1	2	1	2	1	2	1	2		
N	77,24	51,16	77,20	46,95	39,04	31,01	40,61	35,22	77,24	51,16	77,20	46,75												
M	29,16	28,10	68,80	56,66	26,08	2,88	65,0	56,66	29,11	28,10	688	56,66												
$\rho_{cm}$	37,76	54,93	89,12	123,93	66,80	9,29	160	160,85	37,69	54,93	89,12	123,93												
$\bar{v}_b$	205,5	205,5	205,5	205,5	205,5	140,93	205,5	205,5	205,5	205,5	205,5	205,5												
$\rho_m$	57,76	74,93	113,12	147,93	86,80	29,29	184	184,85	57,69	74,93	113,12	147,93												
Mf	44,60	38,33	87,23	67,63	33,89	9,08	74,72	65,11	44,56	38,33	87,23	67,63												
M	0,1124	0,0966	0,1570	0,1217	0,0854	0,0229	0,1345	0,1172	0,1123	0,0966	0,1570	0,1217												
K	22,9	25,3	18,3	21,7	27,4	60,5	20,3	22,3	22,9	25,3	18,3	21,7												
E	0,8681	0,8759			0,8638	0,8821	0,9338		0,8660	0,8681	0,8759													
$\bar{v}_b'$	183,40	166,00	229,50	193,55	153,28	69,42	206,89	188,34	183,40	166,00	229,50	193,54												
K			20,4				20,4						20,4											
$\alpha$			0,4237				0,4237						0,4237											
E			0,8588				0,8588						0,8588											
$\mu$			0,1819				0,1819						0,1819											
$y_1$			26,69				26,69						26,69											
$\bar{v}_a$			2274				2274						2274											
M1			74,18				74,18						74,18											
AM			13,05				0,54						13,05											
A <sub>1</sub>			10,24				0,42						10,24											
AFs	27,18	23,15	38,19	29,59	20,33	5,14	32,87	28,41	27,16	25,15	38,19	29,58												
N/Ga	18,38	12,18	18,38	10,88	9,29	7,38	9,67	8,38	18,39	12,18	18,38	10,88												
A	8,80	10,97	19,81	18,71	11,04	A min	21,20	20,03	8,77	12,97	19,81	18,70												

# TABLEAU RECAPITULATIF

. 61.

Pos	Niv	SP <sub>1</sub>		SP <sub>2</sub>				Section adoptée		$\omega \%$	
		A <sub>min</sub>		A		A'		A = A'	A = A'	L	T
		L	T	L	T	L	T	L	T	L	T
A <sub>1</sub>	1	7,43	22,084	18,71	21,2			10,24	4 HA 25 + 2 HA 20	1,12	1,30
	2	14,27	6,64	12,97	20,03				2 HA 25 + 2 HA 16	4 HA 25	0,92
A <sub>2</sub>	1	11,13	14,13	9,37	17,63	9,14	22,37		2 HA 25 + 2 HA 16	4 HA 25 + 2 HA 20	0,80
	2	8,35	10,28	0,99	16,30			3,70	2 HA 20 + 2 HA 16	6 HA 20	0,60
A <sub>3</sub>		15,80	11,42	18,31	20,52				4 HA 25	4 HA 25	1,12
G <sub>1</sub>		8,68	17,07	20,48	16,48	11,65	5,14		4 HA 25	4 HA 25	1,12
B <sub>1</sub>		9,44	7,87	19,06	4,61	2,45			4 HA 25	2 HA 25 + 2 HA 14	1,63
B <sub>2</sub>		16,26	3,23	23,83	11,83	17,50			4 HA 25	2 HA 25 + 2 HA 20	1,63
G <sub>2</sub>		2,98		14,05					2 HA 20 + HA 12	4 HA 20 + 2 HA 12	0,60
G <sub>3</sub>		4,65		12,86					2 HA 20 + HA 12	4 HA 20 + 2 HA 12	0,60

$$\min RPA \left\{ \begin{array}{l} 28 \text{ cm}^2 \\ 19,2 \text{ cm}^2 \end{array} \right.$$

$$\max RPA \left\{ \begin{array}{l} 140 \text{ cm}^2 \\ 96 \text{ cm}^2 \end{array} \right.$$

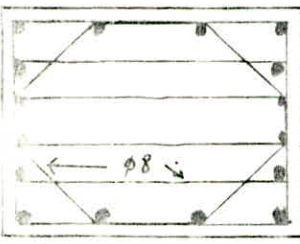
Poteaux A<sub>1</sub>, A<sub>2</sub>, A<sub>3</sub>, A<sub>4</sub>

.. B<sub>1</sub>, B<sub>2</sub>

## COUPES

### Poteau A<sub>1</sub>

70cm.

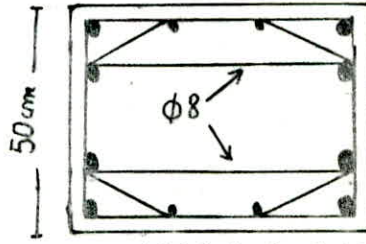


70cm

4 HA 25

2 HA 25 + 2 HA 16

niveau 1.



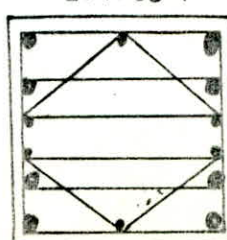
sens Long.

sens Transv.

### Poteau G<sub>1</sub>

50cm

2 HA 20 + HA 12.



4 HA 20 + 2 HA 12

# ARMATURES TRANSVERSALES

Évaluation de la résistance à l'effort tranchant

$$\Sigma_b = \frac{n \cdot T}{b \cdot g} < \Sigma_g = 0,15 \cdot \epsilon_{gj} = 43,25 \text{ kg/cm}^2$$

$$n=6 \quad \epsilon_{gj}=0,15 \\ n=3 \quad \epsilon_{gj}=0,15$$

T sera égal à max ( $\epsilon_b^{max}$ ,  $\epsilon_g^{max}$ ) pour tous les niveaux

tot	Niv	$\lambda$	n	$nT$ (L)	b cm	h cm	$\delta$ cm	$\Sigma_b$ kg/cm <sup>2</sup>
$A_1$	1	11,13	3	54,66	50	63	55,12	19,83
	2	17,32	2	36,44	50	63	55,12	13,22
$A_2$	1	11,13	3	60,39	50	63	55,12	21,91
	2	17,32	2	40,26	50	63	55,12	14,60
$A_3$		34,94	2	14,068	50	63	55,12	5,10
$A_H$		34,94	3	16,004	50	63	55,12	5,80
$B_1$		19,5	2	9,464	40	54	47,25	5,00
$B_2$		19,5	2	3,384	40	54	47,25	1,79

## PASEMET

utilisation de l'acier Fe E24  $t = \frac{\rho_e \cdot \text{Tot} \cdot \lambda}{T} < \bar{t}$

en nodale  $\bar{t} = \min(10 \phi, 15 \text{ cm})$

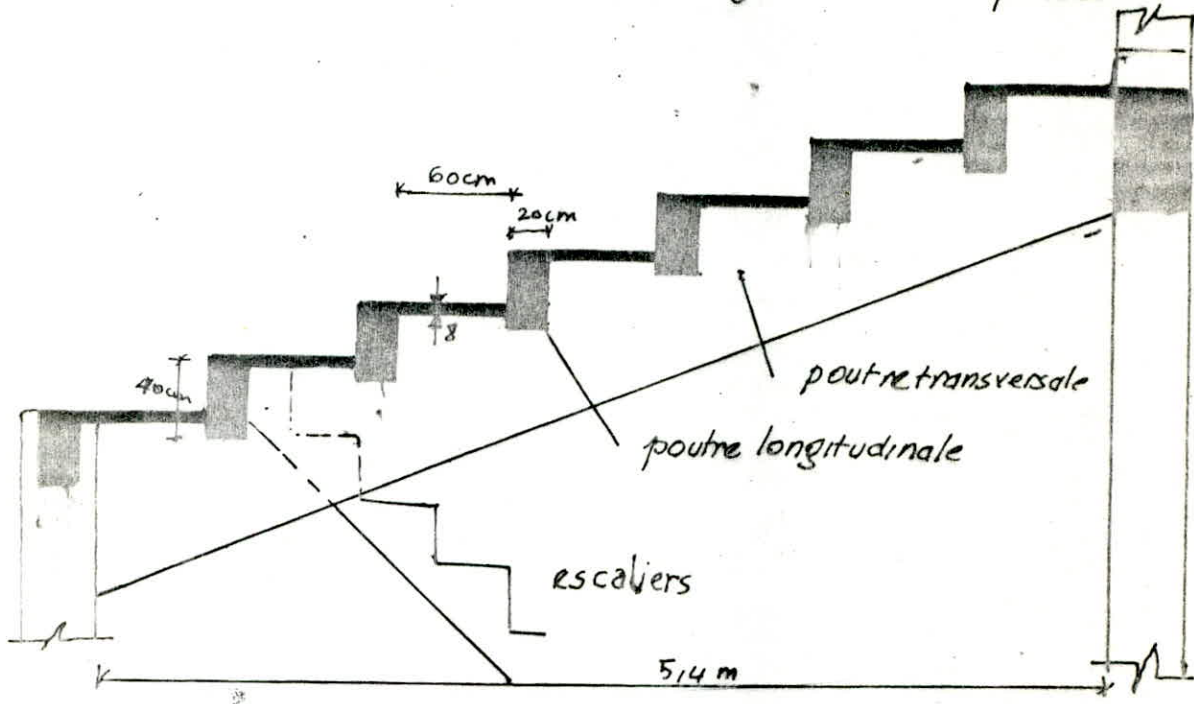
en courante  $\bar{t} = 12 \phi$

$\rightarrow 50 \phi_L$

t	Niv	nT	$\bar{t}$ cm	$\Sigma$ cm	$\phi$ cadre + others	$A_t$ cm <sup>2</sup>	t	Zone courante		Zone Nodale		$L_d$ cm
								$\bar{t}$ cm	$t_{adep}$	$\bar{t}$ cm	$t_{adep}$	
1	54,66	55,12	3C	6,03	14,60	44,6	12	14,6	10	1,00		
2	24,38	55,12	3C	6,03	37,62	19,2	16	15	10	1,00		
1	60,39	55,12	3C	6,03	13,20	13,2	12	13,85	10	1,00		
2	24,38	55,12	3C	6,03	37,32	16,8	16	14	10	1,00		
	14,068	55,12	3C	6,03	56,70	19,2	16	15	10	1,00		
-4	16,004	55,12	3C	6,03	49,84	19,2	16	15	10	1,00		
-1	9,464	47,25	2C+SE	5,02	70,16	16,8	16	14	10	1,00		
-2	3,384	47,25	2C+SE	5,03	196	16,8	16	14	10	1,00		

## Etude Des Gradins

Les gradins sont disposés dans le sens longitudinal de la salle. Ils sont composés de poutres transversales espacées de 6m, et de poutres longitudinales reliées entre elles par des dalles de 60cm de largeur et 8cm d'épaisseur.



surcharges  $P = 500 \text{ daN/m}^2$  (Salles de spectacles et lieux publics)

### ETUDE D'UN PANNEAU DE DALLE

$$l_x = 0,6 \text{ m}$$

$$l_y = 6 - 0,5 = 5,5 \text{ m} \rightarrow g = \frac{l_x}{l_y} = 0,109 < 0,14$$

$g < 0,4 \rightarrow$  Il s'agit d'une dalle de grande longueur, la dalle est considérée comme une poutre. On arme dans le sens  $l_y$  entravée avec une section min  $A_y = \frac{A_x}{4}$

Poids propre  $G = 2,5 \cdot 0,6 \cdot 0,08 = 0,12 \text{ t/ml}$ .

surcharges  $P = 0,500 \cdot 0,6 = 0,3 \text{ t/ml}$

Pour une bande de 1m :  $S = G + 1,8 P = 0,48 \text{ t/ml}$

$$M_{ox} = S \frac{l_x^2}{8} = 0,48 \frac{0,6^2}{8} = 21,3 \cdot 10^{-3} \text{ tm} \quad \text{travée indépendante.}$$

$$T_{ox} = S \frac{l_x}{2} = 0,48 \frac{0,6}{2} = 0,144 \text{ t}$$

Qui sont des valeurs faibles et donnent par conséquent (après répartition) des sections d'acières dérisoires

$$A_x = 0,10 \text{ cm}^2/\text{ml} \text{ entravée.}$$

$$A_x^g = 0,34 \text{ cm}^2/\text{ml} \text{ surappui}$$

la condition de fragilité donne:

$$A_x \geq 0,69 \cdot b h_x \frac{\bar{\sigma}_b}{\bar{\sigma}_a} \Psi_4 = 0,69 \cdot 100 \cdot 6,6 \cdot \frac{5,9}{2800} \left(1 - \frac{0,109}{2}\right)$$

$$A_x \geq 0,91 \text{ cm}^2/\text{mL} \quad (\Psi_4 = 0,56)$$

L'espacement "t" conditionne le choix des aciers.

• suivant  $\ell_y$ :  $t = \min [3h_0, 33\text{cm}] = 20\text{cm}$

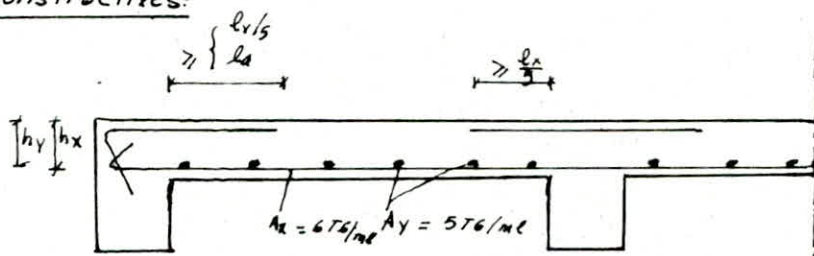
• suivant  $\ell_x$ :  $t = \min [4h_0, 45\text{cm}] = 27\text{cm}$ .

on prend alors :

$$\begin{aligned} \text{- armatures inf: } & \begin{cases} \text{sens } \ell_y \rightarrow 6T6 = 1,69 \text{ cm}^2 \rightarrow t = 20 \text{ cm} \leq \bar{t} = 20 \text{ cm} \\ \text{sens } \ell_x \rightarrow 5T6 = 1,41 \text{ cm}^2 \rightarrow t = 25 \text{ cm} \leq \bar{t} = 27 \text{ cm} \end{cases} \end{aligned}$$

$$\begin{aligned} \text{- armatures sup: } & \begin{cases} \text{sens } \ell_y \rightarrow 6T6 = 1,69 \text{ cm}^2 \rightarrow t = 20 \text{ cm} \leq \bar{t} = 20 \text{ cm} \\ \text{sens } \ell_x \rightarrow 5T6 = 1,41 \text{ cm}^2 \rightarrow t = 25 \text{ cm} \leq \bar{t} = 27 \text{ cm} \end{cases} \end{aligned}$$

Dispositions constructives:



où  $l_a$ : longueur d'ancrage:

$$l_a = \begin{cases} 16\phi \text{ barres droites} \\ 40\phi \text{ barres munies de crochets} \end{cases}$$

Vérifications:

a- cisaillement:

$$\tau_b = \frac{T}{b \bar{\sigma}} = \frac{1,1 T_{iso}}{b \cdot (7/8 h_x)} \ll 1,15 \bar{\sigma}_b = 6,785 \text{ kg/cm}^2$$

$$\tau_b = \frac{1,1 \cdot 0,144 \cdot 10^3}{100 \cdot 7/8 \cdot 6,7} = 0,27 \text{ kg/cm}^2 \ll 1,15 \bar{\sigma}_b . \text{ vérifiée}$$

b- fissurations:

$$\sigma_1 = \frac{k \eta}{\phi} \frac{\bar{\omega}_f}{1+10\bar{\omega}_f} \quad \sigma_2 = 2,4 \sqrt{\frac{\eta}{\phi} k \bar{\sigma}_b}$$

avec

$$\bar{\sigma}_b = 5,9 \text{ kg/cm}^2 \quad \phi = 6 \text{ mm} \quad \eta = 1,6 \quad k = 1,5 \cdot 10^6$$

$$\bar{\omega}_f = \frac{A}{B_f} = \frac{1,69}{2 \cdot 1,3 \cdot 100} = 6,5 \cdot 10^{-3}$$

$$\text{d'où} \quad \sigma_1 = 2441 \text{ kg/cm}^2 \text{ et, } \sigma_2 = 3686,95 \text{ kg/cm}^2$$



$$\text{on a bien } \max(\sigma_1, \sigma_2) > \bar{\sigma}_a = \frac{2}{3} \bar{\sigma}_{eu} = 2800 \text{ kg/cm}^2$$

Le problème de fissuration n'est pas prépondérant, le calcul des armatures avec  $\bar{\sigma}_a = 2800 \text{ kg/cm}^2$  reste valable.

c. flèche:

Il n'est pas nécessaire de donner des justifications des flèches des hourdis si les conditions suivantes sont vérifiées (CCBAG8 . Art 58,4 - 61,21 - 61,22).

$$\frac{h_0}{l_x} > \frac{M_t}{20 M_x}, \quad \frac{A}{bh} < \frac{20}{\sigma_{en}}.$$

$$\frac{h_0}{l_x} = \frac{6,7}{60} = 0,11 > \frac{1}{20 \times 0,85} = 0,0588.$$

$$A = 1,69 \text{ cm}^2 < \frac{20 \cdot b \cdot h}{\sigma_{en}} = \frac{20 \times 100 \times 8}{4200} = 3,81 \text{ cm}^2.$$

} vérifiées.

Poutre transversale: 40x70

Le ferrailage est donné par la méthode de P. CHARON.

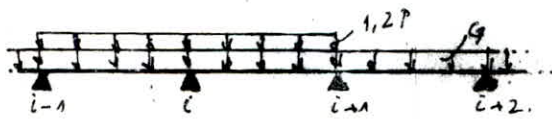
	$M_{max}$ [Nm]	$\mu$	$E$	$K$	$A_{o,up}$	$A_{o,int}$	$T_{max}$ [t]	$A_{int}$	section adoptée	$A$ [cm <sup>2</sup> ]
ouest	-66,83	0,1503	0,8525	18,9	29,72	5,88			10HA20	31,41
	40,58	0,913	0,8789	26,3		17,5	23,72	5,65	5HA20 2HA14	18,78
travers	18,48	0,0416	0,9135	42,8	7,64				5HA14	7,69
	40,05	0,0901	0,8795	26,3		17,21			5HA20 2HA14	18,78
est	-18,26	0,0410	0,9141	43,0	7,55				5HA14	7,69
								31,49	7,49	

Poutre longitudinale: 20x40

Poids propre:  $G = 2,5 \cdot 0,20 \cdot 0,4 = 0,3 \text{ t}/\text{m}$

surcharges  $P = 0,500 \cdot 0,8 = 0,4 \text{ t}/\text{m}$ .

On a une poutre continue avec 8 travées. les cas de figures permettant d'obtenir l'enveloppe des moments et efforts tranchants sont les suivantes:



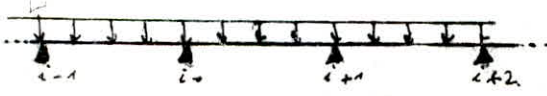
Moment négatif maximal sur l'appui  $i^{(1)}$  ainsi que l'effort tranchant max en valeur absolue



Moment positif max dans la travée  $[i, i+1]$



Moment (négatif ou positif) minimal dans la travée  $[i, i+1]$



Moment négatif min sur les appuis



Effort tranchant max sur l'appui  $i+1$

le calcul avec la méthode de CANTIS donne :

$M_f = 2,51 \text{ t.m}$  moment max en travée.

$M_q = -1,48 \text{ t.m}$  moment max sur appui.

$T_{max} = 2,66 \text{ t.m}$ .

Moment résistant de la section :  $M_{fb} = 6,45 \text{ t.m}$  à l'âge de 1 an et 1 mois.

$$M_b = 6,45 \text{ t.m.}$$

$$M_f < M_{fb} \rightarrow N=0$$

$$A = \frac{M_f}{\gamma_h E_b} = \frac{2,51 \cdot 10^3}{0,85 \cdot 20 \cdot 23000} = 2,09 \text{ cm}^2$$

Section qui répond aux recommandations de LPA 81 Art 4.2.3.2 qui prescrit 0,6% d'aciers filé au moins 2,5% au plus.

0,6%  $E_f = 0,002 \cdot 20 \cdot 40 = 8,4 \text{ cm}^2$  au minimum.  $E_b$ : section du béton.  
en ferme : en travée avec  $3742 = 8,89 \text{ cm}^2$ .  
sur appuis avec  $3742 = 9,89 \text{ cm}^2$ .

## VERIFICATIONS

a) condition de fragilité  $A \geq 0,69 \text{ bh } \frac{\bar{E}_b}{E_b}$ .

$$0,69 \text{ bh } \frac{\bar{E}_b}{E_b} = 0,69 \cdot 20 \cdot \frac{51}{4800} = 0,735 < 1 \text{ vérifié}$$

b) fissuration

on doit avoir  $\max(\sigma_1, \sigma_2) > \bar{\sigma}_n = 2/3 E_n$ .

$$\sigma_1 = \frac{A_2}{A} \frac{\bar{E}_1}{1 + 100 \beta_2}$$

$$\bar{E}_1 = 2,4 \sqrt{\frac{27 E}{\rho}}$$

$$\text{et } \bar{\sigma}_f = \frac{A}{264}$$

plast	section	A [cm <sup>2</sup> ]	$\bar{\sigma}_f$	$E$	$\sigma_1$	$\bar{E}$
12	SH 42x22	5,595	40,603	51000	26,67	2000
20	SH 42x10 + 42x10	11,391	40,600	3932	33,19	2000

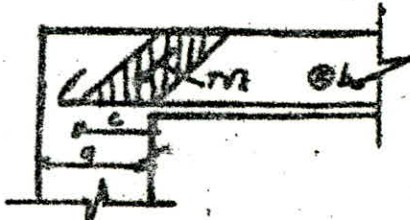
Dans tous les cas on a  $\max(\sigma_1, \sigma_2) > \bar{\sigma}_n$

c) largeur de l'appui

$$C > C_0 = \frac{27}{100 \beta_0}$$

avec  $C = a - (d + \alpha)$

Appuis	T [t]	G [cm]	c [cm]
Poutre	est.	82,72	22,52
transversale	est.	82,04	21,62
longitudinale	9,36	3,45	08,80



• Contraintes normales:

$$\sigma_a = \frac{M}{A \cdot E_n} \leq \sigma_a \quad \text{et} \quad \sigma'_b = \frac{\sigma_b}{k} \leq \bar{\sigma}_b'$$

Poutre	$M [Sp]$	$A [cm^2]$	$\bar{\sigma}$	$E$	$k$	$\sigma_a$	$\sigma'_b$
transversale	40,05 <small>Sp2</small>	18,78	0,745	0,8753	25,1	38,67	154,07
longitudi- nale	9,51 <small>Sp1</small>	3,39	0,471	0,8960	33,1	22,95	69,34

• Armatures transversales:

On prend  $A_t = (2 \text{ cadres} + 1 \text{ tetric}) \phi 8 = 3,01 \text{ cm}^2$ .

on doit avoir:

$$\zeta_b = \frac{T}{b(7/8)h} < \bar{\zeta}_b = \begin{cases} 3,5 \bar{\sigma}_b & \text{si } \sigma'_b \leq \bar{\sigma}_b \\ (4,5 - \frac{\sigma'_b}{\bar{\sigma}_{b..}}) \bar{\sigma}_b & \text{si } \bar{\sigma}_{b..} \leq \sigma'_b \leq 2 \bar{\sigma}'_{b..} \end{cases}$$

l'espacement  $t$  est donné par

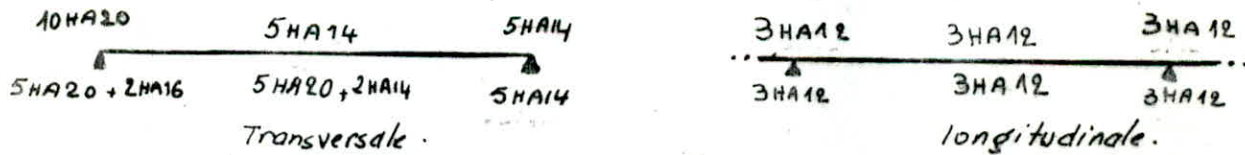
$$t = \frac{A_t \cdot 3 \cdot \bar{\sigma}_{at}}{T} \quad \text{où} \quad \bar{\sigma}_{at} = \begin{cases} 2/3 \sigma_{en} & \text{reprise de rebondas} \\ (1 - \frac{\zeta_b}{9\bar{\sigma}_b}) \sigma_{en} & \text{cas contraire} \end{cases}$$

espacement admissible donné par le RPA 81:

• zone nodale:  $\bar{t} \leq \min(h_t/4, 12\phi, 30\text{cm}) = 15\text{cm}$

• zone courante:  $\bar{t} \leq \frac{h_t}{2} = 30\text{cm}$

Appui	$T^{max}$ [T]	$\sigma'_b$ [kg/cm²]	$\zeta_b$ [kg/cm³]	$\bar{\zeta}$ [kg/cm³]	$\bar{\sigma}_{at}$ [kg/cm²]	$t$ [cm]	t adopté [cm]	
							z. nodale	z. courante
poutre longitudinale	2,36	69,34	3,74	20,675	9400	64,39	10	20
poutre transversale	31,49	154,07	14,28	17,73	9400	12,64	10	20



• flèche (CC8A68 Art61)

les 3 conditions suivantes doivent être remplies:

$$A_t \leq \frac{43}{\sigma_{en}} b \cdot h$$

$$h_t \geq \frac{l}{16}$$

$$h_t \geq \frac{1}{10} \frac{M_t}{M_0} l$$

POUTRES	condition 1		condition 2		condition 3	
	$A_t$	$\frac{43}{\sigma_{en}} b \cdot h$	$h_t$	$\frac{l}{16}$	$h_t$	$\frac{1}{10} \frac{M_t}{M_0} l$
longitudinale	3,39	7,37	40	34,375	40	93,07
Transversale	18,78	25,80	70	35,00	70	75

## ESCALIERS

Les escaliers sont incorporés dans les gradins et permettant l'accès du public. Ils sont constitués d'une paillasse simple de largeur 1m.

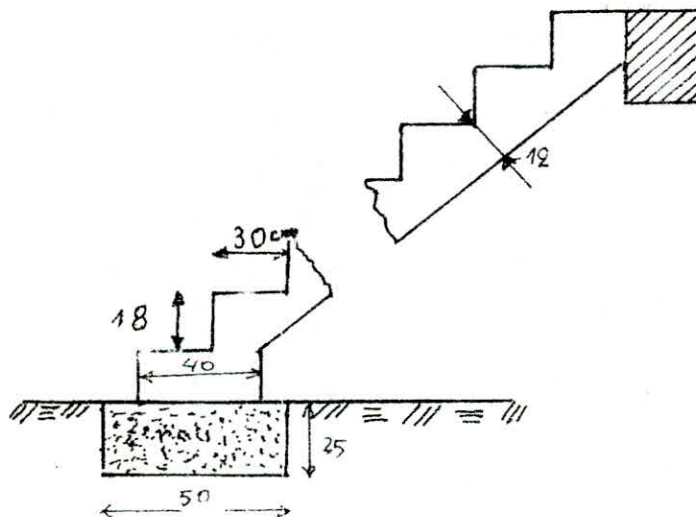
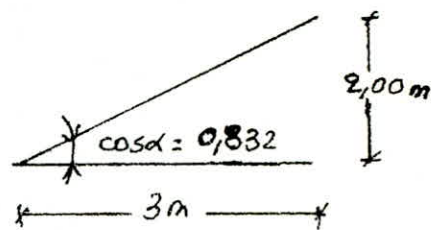
Pour un tracé correct des escaliers, les dimensions des marches et contre-marches doivent vérifier la condition empirique de BLONDEL:

$$59 \leq g + 2h \leq 66 \text{ cm.}$$

on a 12 marches avec  $g = 30 \text{ cm}$

13 contre-marches avec  $h = 18 \text{ cm}$

donc  $59 < g + 2h = 66 < 66 \text{ cm.}$



### Epaisseur de la Paillasse:

$e = 12 \text{ cm}$  pour ne pas avoir le problème de flèche.

### Charges et surcharges:

#### Paillasse:

Poids propre de la paillasse

$$1 \times \frac{2500 e}{\cos \alpha} = 3.61 \text{ kg/m}^2$$

Poids propre des marches

$$1 \times \frac{2200 h}{2} = 198 \text{ kg/m}^2$$

surcharges S

$$1,2 \cdot 500 = 600 \text{ kg/m}^2$$

---


$$q = 1159,0 \text{ kg/m}^2$$

L'effort normal étant en général très négligeable (il introduit une charge supplémentaire qui dépasse rarement 5 bars), le calcul se fait vis-à-vis de la flexion simple.

#### Efforts $M$ et $T$ max:

$$M = q \frac{b^2}{8} = 1159 \cdot \frac{3^2}{8} = 1304 \text{ kg.m}$$

$$T = q \frac{b^3}{100} = 1159 \cdot \frac{3^3}{100} = 1738,5 \text{ kg.}$$

$$b = 1 \text{ m} \quad h_f = 18 \text{ cm} \quad d = 8 \text{ cm} \quad h = h_f - d = 10 \text{ cm.}$$

#### Calcul des armatures:

$$\mu = \frac{15 M}{\bar{\sigma}_a b h^2} = \frac{15 \cdot 1304 \cdot 10^2}{2800 \cdot 100 \cdot 10^2} = 0,07 \rightarrow \begin{cases} K = 31,0 \\ \epsilon = 0,8915 \end{cases}$$

$$\bar{\sigma}'_b = \frac{\bar{\sigma}_a}{K} = \frac{800}{31,0} = 90,32 \text{ kg/cm}^2 < \bar{\sigma}'_b = 137 \text{ kg/cm}^2$$

$$\text{Aciers tendus: } A = \frac{M}{\bar{\sigma}'_a h} = \frac{1304,00 \cdot 10^2}{2800 \cdot 0,8915 \cdot 10} = 5,22 \text{ cm}^2/\text{m.l.}$$

on prend HA10 (soit  $A = 5,49 \text{ cm}^2$ ).

Armatures: répartition  $\frac{A}{4} \leq A_r \leq \frac{A}{3}$ .

$$A = 5,49 \cdot n^2 \rightarrow 1,37 \text{ cm}^2 \leq A_r \leq 1,89 \text{ cm}^2$$

on prend HA8, avec un espace de 25cm.

#### Armatures transversales:

$$\tau \cdot \frac{T}{b^3} = \frac{1738,5}{100 \cdot 8,75} = 1,986 \text{ kg/cm}^2 < \bar{\sigma}_b = 1,15 \bar{\sigma}_a = 785 \text{ kg/cm}^2$$

les armatures transversales ne sont pas nécessaires.

#### Vérification des contraintes:

$$\bar{\omega} = \frac{100}{b h} = \frac{100 \cdot 5,9}{100 \cdot 10} = 0,549 \rightarrow \begin{cases} K = 30,2 \\ \epsilon = 0,8894 \end{cases}$$

$$\bar{\sigma}_a = \frac{M}{EhA} = \frac{1334,00 \cdot 10^2}{5,49 \cdot 0,8894 \cdot 10} = 2739,5 \text{ kg/cm}^2 < \bar{\sigma}_a = 2800 \text{ kg/cm}^2$$

$$\bar{\sigma}'_b = \frac{\bar{\sigma}_a}{K} = \frac{2739,5}{30,2} = 90,50 \text{ kg/cm}^2 < \bar{\sigma}'_b = 137 \text{ kg/cm}^2$$

#### Condition de fragilité:

$$A > 0,7 \cdot b h \cdot \frac{\sigma_b}{\sigma_{en}} = 0,69 \cdot 100 \cdot 10 \cdot \frac{5,9}{4200} = 0,97 \text{ cm}^2.$$

or  $A : 5,49 \text{ cm}^2 > 0,97 \text{ cm}^2$  (verified).

### Verifier in de la flèche (Paillasse)

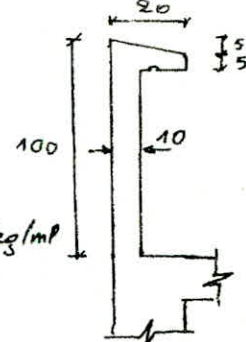
$$\text{Indit avoir } \frac{A}{bh} \leq \frac{43}{\sigma_{en}}$$

$$\frac{A}{bh} = \frac{5,49}{10 \cdot 10} = 5,49 \cdot 10^{-3} < \frac{43}{\sigma_{en}} = \frac{43}{4200} = 10,2 \cdot 10^{-3} \text{ (verified.)}$$

ACROTERE:

l'acrotère est assimilée à une console encastrée au niveau de la terrasse, et sera calculée en flexion composée. Section dangereuse (la plus sollicitée) se trouve à l'enca斯特rement.

Dimensions     $e = 10 \text{ cm}$   
 $h_t = 100 \text{ cm}$   
 $b = 100 \text{ cm}$ .



- Poids propre  $0,10 \times 1 \times 1 \times 2500 = 250 \text{ kg / ml}$
- surcharge dûe à la main courante  $P = 1,2 \times 100 = 120 \text{ kg / ml}$

Calcul des efforts:

Effort Normal  $N = G = 250 \text{ kg / ml}$

Moment de flexion  $M = P \times b \times h_t = 120 \text{ kg m}$

l'excentricité  $e_0 = \frac{M}{N} = 48 \text{ cm} > \frac{h_t}{6} = \frac{10}{6} = 1,67 \text{ cm} \rightarrow \text{section partiellement comprimée.}$

Calcul des aciers:

moment fictif  $M_f = N \times f$       où  $f = e_0 + \left( \frac{h_t}{2} - d \right) = 48 + \left( \frac{10}{2} - 2 \right) = 51 \text{ cm.}$

$M_f = 12750 \text{ kg cm}$

$f$ : distance entre le COG des aciers tendus et le centre de pression.

$$\mu = \frac{15 M_f}{\bar{\sigma}_a b h^2} = \frac{15 \times 12750}{2800 \times 100 \times \bar{\sigma}^2} = 0,0108 \xrightarrow{\text{tableau}} (\varepsilon = 0,9535, k = 92,5)$$

on a  $k = 92,5 > \bar{k} = \frac{\bar{\sigma}_a}{\bar{\sigma}_b} = \frac{2800}{137} = 20,4 \Rightarrow \text{les aciers comprimés ne sont pas nécessaires } A'_c = 0$

$$A_1 = \frac{M_f}{\varepsilon h \bar{\sigma}_a} = \frac{12750}{0,9535 \cdot 8 \cdot 2800} = 0,6 \text{ cm}^2 / \text{ml.}$$

La section finale est  $A_2 = A_1 - \frac{N}{\bar{\sigma}_a} = 0,51 \text{ cm}^2 / \text{ml.}$

la section donnée par la condition de fragilité est:

$$A \geq 0,69 b h \frac{\bar{\sigma}_b}{\sigma_{en}} = 0,69 \times 100 \times 8 \times \frac{5,9}{2800} = 1,16 \text{ cm}^2 > A_2$$

on prend  $A = 1,16 \text{ cm}^2$  soit 5T6 / ml espacés de 20cm.

Verification de la fissuration

Il faut que:  $\max(\sigma_1, \sigma_2) > \bar{\sigma}_a$ .

$$\sigma_1 = \frac{K \eta}{\phi} \times \frac{\omega_f}{1+10\omega_f} \quad \omega_f = \frac{A}{2bd} = \frac{1,41}{2 \times 2 \times 100} = 3,525 \cdot 10^{-3} \quad \phi = 6 \text{ mm}$$

$$\sigma_1 = 908 \text{ cm}^2$$

$$k = 10^6 \quad \text{fissuration préjudiciable.} \quad \eta = 1,6 \text{ H.A}$$

$$\sigma_2 = 2,4 \sqrt{\frac{K \eta \bar{\sigma}_b}{\phi}} = 3010,4 \text{ kg/cm}^2.$$

Pas de risque de fissuration

Effort tranchant :  $A \cdot f > T + M_f / z$        $t = f/g = 7 \text{ cm}$        $T = 1,2 \times 100 = 120 \text{ kg}$   
 $M_f = 18750 \text{ kg m}$

$T + M_f / z = 170,4 \text{ kg} < 3948 \text{ kg}$

### Verification du sismisme local de l'acrotère RPA81 Art 3-39

On doit faire une vérification au séisme local dans les éléments verticaux.  
 L'acrotère se vérifie sous l'action de la force horizontale

$F_p = Z I C_p W_p$

$Z = \frac{A (\text{group II, 80 cm})}{A (\text{groupe III, 70 cm})} = \frac{0,08}{0,25} = 0,32$       A : coefficient d'accélération de zone.

$C_p = 1,8$  pour une console d'après le tableau '4'

$I = \frac{(\text{gr. II ou III})}{(\text{groupe d'usage 2})}$

Notre sa. 2 est du groupe d'usage 2. donc  $I = 1$ .

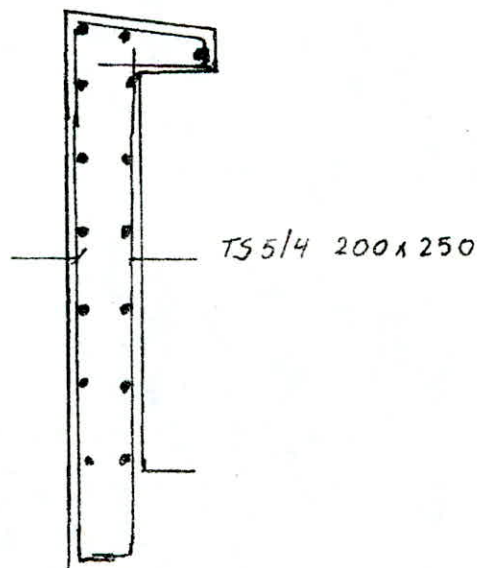
$W_p$ : Poids de l'élément (250 kg/m)

$F_p = 0,32 \cdot 1 \cdot 0,8 \cdot 250 = 64 \text{ kg}$

$F_p < S = 1,1 \times 100 = 120 \text{ kg} \quad (\text{force de calcul})$

Il n'y a pas lieu de faire la vérification

TS 5/4 210x80



## VOILE PERIPHERIQUE

Conformément au RPASI N° 3-3.8.5, les assises ou disques de la base, formées de poteaux courts, doivent comporter un voile périphérique continu entre le niveau des fondations (semelles) et le niveau de base en zone II et III. Le voile périphérique constitue une ceinture du bâtiment et assure, par suite le bon chainage. Son ferrailage est parfaitement

Caractéristiques du voile:

$$\cdot \text{épaisseur } e = 10\text{cm}$$

$$\cdot \text{Hauteur } h = 1,70 \text{ m}$$

• Armatures longitudinales filantes supérieures et inférieures de section  $\geq 0,20\%$  de la section transversale totale du béton:

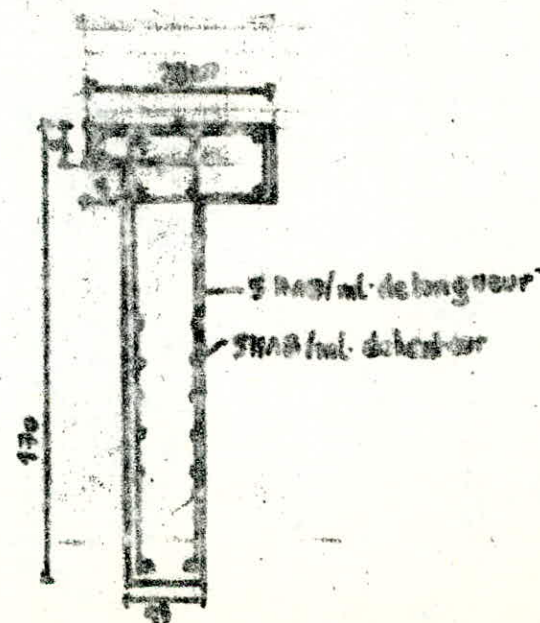
$$A \geq \frac{0,20}{400} \cdot 1,70 \cdot 10^3 = 5,18 \text{ cm}^2$$

On adoptera 2 MA 16 en haut et les même aciers en bas.

• Armatures longitudinales de peu  $> 2 \text{ cm}^2$  par face et par mètre linéaire de hauteur

On adoptera 5 MA 8/ml et par face  $\rightarrow A = 2,5 \text{ cm}^2$

• Armatures verticales: on prendra 5 MA 8/ml et par face.



ETUDE du SOLCaractéristiques géologiques du terrain

Les coupes de sondages montrent que le sol est composé de deux couches. la première, existe entre 0,0 et 6m de profondeur et se compose d'argile rouge brique consolidée recouverte en carottes. A partir de 6m, Gleyites rouges  $\phi 40\text{mm}$  emballés dans des matrices argileuses montrant traces d'argile.

ESSAIS de Laboratoire:

essais physiques: suivant les analyses granulométriques et leur classification, on conclut que les échantillons sont de nature argileuse. ( $c=6\text{m}$ ).

la teneur en eau naturelle est comprise entre 29 et 36% . le  $E = 282 \text{N/mm}^2$  en moyenne : couche 0:  $\gamma_a = 18 \text{ Kilon}$  et  $\gamma_s = 22 \text{ KN/m}^3$

essais mécaniques: Ils sont fait à partir des essais de démantèlement (rectiligne ou triaxial). ceci donne un  $32 \text{ kg/cm}^2$  (c烈son) .  $\varphi = 35^\circ$  angle de frottement.

essais au penetromètre dynamique:

3 essais au penetromètre dynamique lard, ont été réalisés, qui permettent de :

- Donner une idée rapide de la résistance en fonction de la peint.
- Donner le degré d'homogénéité du sous-sol en détectant éventuelles anomalies (cavernes, roches).

- Obtenir le niveau précis du premier horizon dur rencontré.

L'opération de penetration dynamique consiste à l'enfoncement dans le terrain d'une tige par l'action d'un piston de masse 19 tombeant répétitivement d'une hauteur fixe H.

L'appareil enregistre le nombre de coups N en fin de l'enfoncement

La formule du Holländais permet de donner la résistance de pointe R:

$$R_p = \frac{1}{ne} \frac{M^2 H}{(M+P)}$$

P: poids du pieu et des accessoires

h: [m] hauteur de chute

M: poids du monton.

e: [m] refus, enfoncement moyen du pieu

n=6 coefficient de réduction

### Conclusion:

On prendra comme taux de travail admissible 8,5 bars pour des semelles superficielles isolées, à une profondeur 1,5 m. La contrainte réelle sera déterminée une fois les dimensions des semelles seront connues

76.  
FONDACTIONS.

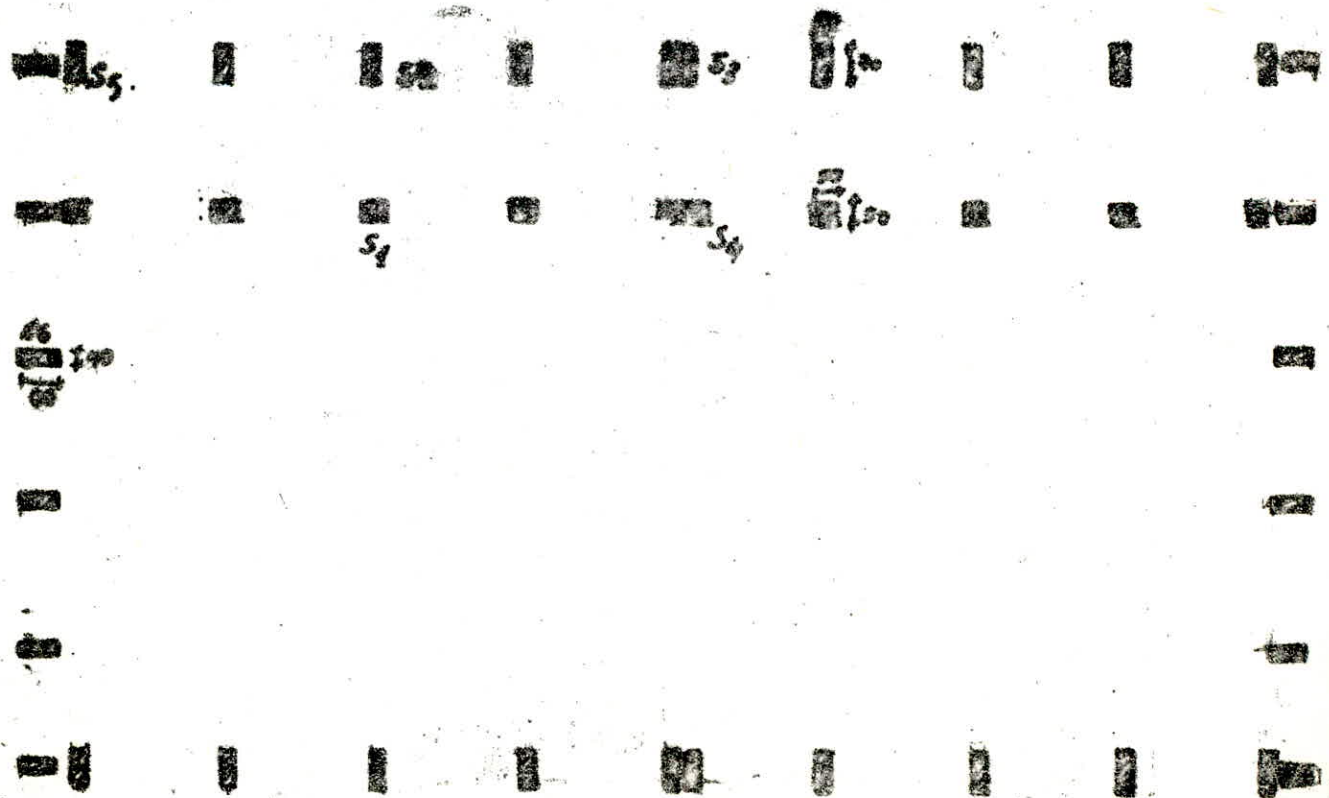
Le choix du type de fondations est tributaire essentiellement de la qualité des sols, du type de contreventement de l'assiette, de la charge qui leur est transmise par la superstructure.

On a opté pour les semelles isolées, vu l'espacement suffisant des poteaux. Le dimensionnement et le calcul de la semelle se fait sous max (1.5 S<sub>b</sub>, S<sub>pe</sub>)

Pour le prédimensionnement on considérera une variation rapide des contraintes. Les dimensions L.B. de la semelle doivent vérifier la condition suivante:

$$\tau\left(\frac{L}{g}\right) \leq \bar{\sigma}_s \rightarrow \frac{N}{S} + \frac{M_y}{I} \leq \bar{\sigma}_s \quad \text{où } S = \text{L.B.} \\ y = \frac{L}{g} \approx 8\%$$

Vue en plan des fondations repartis par la position des poteaux



Semelle S6:

le plateau est homothétique à la fondation

$$\frac{f}{g} = \frac{f}{h} = \frac{60}{40} = 3/2 \quad (1)$$

On prend  $\bar{G} = 2$  vers (rapport de sol) et on calcule la  $\bar{G}$  exact, une fois les dimensions sont connues

$$\bar{G} = \frac{N}{LB} \left( 1 + \frac{M}{N} \right) \quad (2) \quad \Rightarrow \quad a_0 = \frac{M}{N} = \frac{0,5 \cdot 10^3}{33,68} = 1,48 \text{ cm}$$

$$\text{de (1) et (2) on tire} \quad \begin{cases} h = 22,7 \text{ cm} \\ g = 45 \text{ cm} \\ d = 43,5 \text{ cm} \end{cases}$$

Vérification à la Stabilité (sous SP3)

$$M = 11,86 \text{ t} \quad N = 33,32 \text{ t}$$

$$\text{Poids des terres} \quad N_t = T(LB - bL)(D - h) = 9,70 \text{ t}$$

$$\text{Poids de la semelle} \quad N_s = 2,318 \text{ t} \quad = 3,375 \text{ t}$$

$$M = 11,86 \text{ t}$$

$$N_{\text{tot}} = N + N_t + N_s = 42,68 \text{ t} \quad \Rightarrow \quad c_0 = \frac{M}{N_{\text{tot}}} = 0,28 \quad \left\langle L = 48,5 \text{ cm} \text{ RPN 61} \right.$$

Calcul de  $F_c$ 

$$F_c = M + \frac{(1+q_0)Q_L}{F} \times N_t \cdot N_s \cdot N_g + T D (N_g - 1) + (1+q_0) Q_L \cdot N_c$$

$$q_0 = 25 \rightarrow \begin{cases} N_g = 3,73 \\ N_g = 8,66 \\ N_c = 18,1 \end{cases}$$

$$C = 0,3 \text{ KN/m}^2$$

$$D = 4,5 \text{ m}$$

$$T = 2,7 \text{ KN/m}^2$$

$$\rightarrow \bar{G} = 3,41 \text{ kg/cm}^2$$

$$Q_L = \frac{N}{g} = \frac{M}{g} \quad (g = \frac{f}{h}) \quad (\text{avec } g = 39)$$

$$Q_L = \frac{33,32 + 11,86}{40} = 1,142 \text{ t/cm} \quad \approx 11,42 \text{ t/cm} \quad \bar{G} = 2,66 \text{ kg/cm}^2$$

fermailloge : (bielles)

$$A_h = \frac{Q'(L-b)}{3hF_c}$$

$$\left\{ \begin{array}{l} Q' = F(4) \cdot 1,8 \\ h = 6,5 \text{ cm} \end{array} \right.$$

$$A_y = \frac{Q'(B-b)}{3hF_c}$$

$$Q' = 2600 \text{ kg/cm}^2$$

$$\text{d'où } h_x = 6,5 \text{ cm}^2$$

et  $Q'(L-b) = 3,66 \text{ cm}^2$  espèce de 20cm < 30cm

$$A_y = 3,09 \text{ cm}^2$$

sous  $Q'(B-b) = 9,48 \text{ cm}^2$  espèce de 35cm < 50cm

Vérification au poinçonnement

$$h \geq \sqrt{\frac{Q'}{\sigma_{b..}}} \times 1,44 = 43,48 \text{ cm. vérifiée}$$

Semelle S1:

$$SP_1 \left\{ \begin{array}{l} M = 15,79 \text{ t m} \\ N = 22,05 \text{ t} \end{array} \right.$$

$$SP_2 \left\{ \begin{array}{l} M = 9,926 \text{ t m} \\ N = 28,55 \text{ t} \end{array} \right.$$

$$\frac{L}{B} = \frac{l}{b} = \frac{50}{50} = 1 \rightarrow L = B$$

$$\bar{\sigma}_S = \frac{N}{L^2} \left( 1 + \frac{3e_0}{L} \right) \quad e_0 = \frac{M_{SP_1}}{N_{SP_1}} = 71,61 \text{ cm}$$

$$L = B = 170 \text{ cm} \quad h = 45 \text{ cm}$$

Stabilité (sous SP2)

Poids des terres  $N_1 = 0,75 \text{ t}$

Poids de la semelle  $N_2 = 3,6125 \text{ t}$

$$N_{tot} = N_{SP_2} + N_1 + N_2 = 32,9125 \text{ t}$$

$$e = \frac{M}{N_{tot}} = \frac{9,926 \cdot 10^2}{32,9125} = 30,16 \text{ cm} < \frac{L}{4} = 42,5 \text{ cm}$$

$$\bar{\sigma}_S = 2,1 \text{ bars}$$

$$\sigma(A/4) = \frac{3\sigma_1 + \sigma_2}{4} = \frac{3 \times 2,35 + 1,07}{4} = 2,03 \text{ kg/cm}^2 < \bar{\sigma}_S$$

Ferraillage (bielles)

$$A_y = A_x = \frac{Q'(L-l)}{8h\bar{\sigma}_a} = 6,194 \text{ cm}^2 \text{ soit } 6 \text{ HA12} = 6,78 \text{ cm}^2 \text{ espacés de } 25 \text{ cm}$$

Poinçonnement:

$$h \geq \sqrt{\frac{Q'}{\sigma'_{b..}}} \times 1,44 = 39,46 \text{ cm} \quad \text{vérifiée.}$$

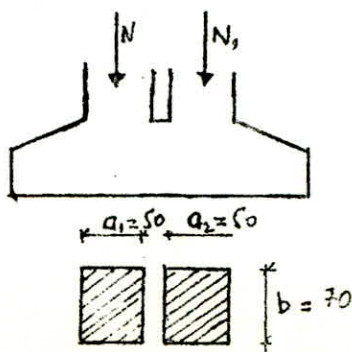
Semelle S3

$$N = N_1 + N_2 = 2 \times 68,9 = 137,8 \text{ t.}$$

$$M = M_1 + M_2 = 2 \times 3,963 = 6,526 \text{ t m.}$$

$$\frac{A}{B} = \frac{a_1 + a_2}{b} = \frac{100}{70} = \frac{10}{7} \rightarrow A = \frac{10}{7} B$$

$$\bar{\sigma}_S = \frac{7N}{10B^2} \left( 1 + \frac{3e_0}{B} \right) \quad e_0 = \frac{M}{N} = 4,74 \text{ cm.}$$



ontire  $B = 890 \text{ cm}$   $\rightarrow h = 65 \text{ cm}$   
 $A = 320 \text{ cm}^2$

### Stabilité (sous SP<sub>2</sub>)

$$M = 2 \times 65,76 = 131,52 \text{ t.m}$$

$$N = 2 \times 77,198 = 154,40 \text{ t}$$

remps des terres  $N_3 = \gamma (AB - (a_1 + a_2)b) (D - h) = 1,46 \text{ t}$

remps de la semelle  $N_4 = 2,5 AB h_t = 11,44 \text{ t}$

$$e = \frac{M}{N_{\text{tot}}} = \frac{131,52 \cdot 10^2}{167,30} = 78,61 < \frac{L}{4} = 80 \text{ cm}$$

$$\bar{\sigma}_s = 2,31 \text{ kg/cm}^2.$$

### Contraintes dans le sol (sous SP<sub>1</sub>)

$$\sigma_{1,2} = \frac{N}{S} \left( 1 \pm \frac{6e_0}{B} \right)$$

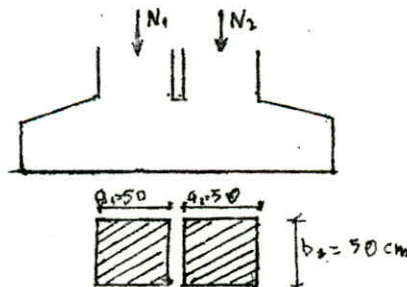
$$\sigma\left(\frac{A}{4}\right) = \frac{3\sigma_1 + \sigma_2}{4} = \frac{3 \times 2,31 + 1,97}{4} = 2,225 \text{ kg/cm}^2 < \bar{\sigma}_s$$

### Ferraillage:

$$A_x = \frac{Q'(A-a)}{8h\bar{\sigma}_a} = 23,7 \text{ cm}^2 \quad \text{soit } 16 \text{ HAN} = 24,62 \text{ cm}^2 \text{ espacés de } t = 19 \text{ cm}$$

$$A_y = \frac{Q'(B-b)}{8h\bar{\sigma}_a} = 16,14 \text{ cm}^2 \quad \text{soit } 11 \text{ HAN} = 16,93 \text{ cm}^2 \text{ espacés de } t = 18 \text{ cm}$$

semelle S4 SP<sub>1</sub>  $\left\{ \begin{array}{l} M = 2 \times 3,947 = 7,894 \text{ t.m} \\ N = 2 \times 11,02 = 24,04 \text{ t.} \end{array} \right.$



Le même raisonnement donne:

$$B = 155 \text{ cm} \quad h = 45 \text{ cm.}$$

$$\bar{\sigma}_s = 2,1 \text{ kg/cm}^2.$$

$$\sigma\left(\frac{A}{4}\right) = \frac{3\sigma_1 + \sigma_2}{4} = 1,12 \text{ kg/cm}^2 < \bar{\sigma}_s.$$

### Ferraillage:

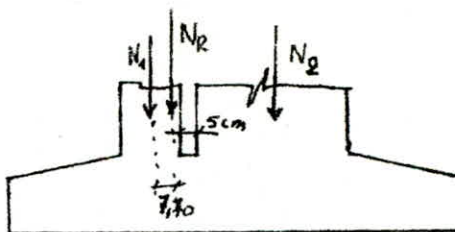
$$A_x = \frac{Q'(A-a)}{8h\bar{\sigma}_a} = 11,21 \text{ cm}^2 \quad \text{soit } 11 \text{ HAN} = 12,44 \text{ cm}^2 \text{ espacés de } t = 26 \text{ cm} < 30 \text{ cm}$$

$$A_y = \frac{Q'(B-b)}{8h\bar{\sigma}_a} = 5,6 \text{ cm}^2. \quad \text{soit } 6 \text{ HAN} = 6,78 \text{ cm}^2 \text{ espacés de } t = 22 \text{ cm}$$

Répartissement:  $h > \sqrt{\frac{Q'}{\bar{\sigma}_{b.s}}} = 40,36 \text{ cm} \quad (\text{vérifiée})$

zemelle SF

$$\text{SP}_1 \left\{ \begin{array}{l} M_1 = 6,596 \text{ tm} \\ M_2 = 0,82 \text{ tm} \\ N_1 = 132,72 \text{ t} \\ N_2 = 19,54 \text{ t} \end{array} \right.$$

Point d'application de N\_R:

$$x_0 = \frac{\sum N_i x_i}{\sum N_i} = 7,7 \text{ cm}$$

Moment dû à l'excentrement: (25 + 5 - 7,70)

$$M_e = 22,3 \cdot 10^{-2} N_R = 22,3 \cdot 10^{-2} \times 152,26 = 33,95 \text{ tm}$$

$$\begin{aligned} M_{\text{tot}} &= M_1 + M_2 + M_e = 41,30 \text{ tm} \\ N_{\text{tot}} &= N_1 + N_2 = 152,26 \text{ t} \quad \left. \right\} e_0 = \frac{M}{N} = 27,12 \text{ cm.} \end{aligned}$$

$$\begin{aligned} \frac{A}{B} &= \frac{a_1 + a_2}{b_1} = \frac{60 + 50}{70} = \frac{11}{7} \\ \bar{\sigma}_s &= \frac{N}{AB} \left( 1 + \frac{3e_0}{B} \right) \quad \left. \right\} \Rightarrow \begin{aligned} B &= 270 \text{ cm} \\ A &= 430 \text{ cm} \\ h &= 90 \text{ cm.} \end{aligned} \end{aligned}$$

Vérification de la stabilité: (sous SP2)

$$M_1 = 68,8 \text{ tm.} \quad N_1 = 141,19 \text{ t}$$

$$M_2 = 8,99 \text{ tm} \quad N_2 = 19,54 \text{ t}$$

$$\text{Poids des terres: } N_3 = \gamma (AB - ab) (D - h) = 1,76 \text{ t}$$

$$\text{Poids de la zemelle } N_4 = 2,5 \cdot A \cdot B \cdot h_L = 26,12 \text{ t.}$$

$$M_{\text{tot}} = M_1 + M_2 + M_e = 117,17 \text{ tm.} \quad \left. \right\} \Rightarrow e = \frac{M_{\text{tot}}}{N_{\text{tot}}} = 62,12 < \frac{A}{4} = 67,5 \text{ cm.}$$

$$N_{\text{tot}} = N_1 + N_2 + N_3 + N_4 = 188,61 \text{ t} \quad \bar{\sigma}_{sp_2} = \frac{3\bar{\sigma}_1 + \bar{\sigma}_2}{4} = 3,02 < 1,5 \bar{\sigma}_s = 3,69 \text{ kg/cm}^2$$

Contraintes dans le sol (sous SP1)

$$\bar{\sigma}_{1,2} = \frac{N}{AB} \left( 1 \pm \frac{6e_0}{B} \right). \quad e_0 = 27,12 \text{ cm}$$

$$\bar{\sigma}(A/4) = \frac{3\bar{\sigma}_1 + \bar{\sigma}_2}{4} = \frac{3 \times 2,17 + 0,46}{4} = 1,74 < \bar{\sigma}_s = 2,46 \text{ kg/cm}^2$$

ferrailage:

$$A_x = \frac{Q'(A-a)}{8h\bar{\sigma}_a} = 32,1 \text{ cm}^2 \text{ soit } 21 \text{ HAI4} = 32,32 \text{ cm}^2 \text{ espacés de } 19,0 \text{ cm}$$

$$A_y = \frac{Q'(B-b)}{8h\bar{\sigma}_a} = 20,04 \text{ cm}^2 \text{ soit } 16 \text{ HAI4} = 21,55 \text{ cm}^2 \text{ espacés de } 16 \text{ cm}$$

$$\text{Ponçonnement} \quad h > 1,44 \sqrt{\frac{Q'}{\bar{\sigma}_{b,p}}} = 78,2 \text{ cm} \quad (\text{vérifié})$$

## Calcul des tassements :

Le calcul des tassements du sol est pratiquement le seul critère de choix d'une fondation. Pour évaluer les tassements, on utilise la méthode globale dont les hypothèses sont :

- . le sol est homogène
- . Cas de sollicitations brèves

Le tassement en 1 point quelconque est donné par :

$$s = I \frac{1-v^2}{E} B q.$$

On peut utiliser la formule simplifiée de WESTERGAAD :

$$q = K_s \cdot s$$

avec :

$K_s$ : coeff de raideur ou (module de réaction du sol) [kg/cm³]

$q$ : contrainte moyenne appliquée sur la semelle [kg/cm²]

$s$ : tassement au point considéré

$B$ : largeur de la semelle

$E, v$ : caractéristiques intrinsèques du sol respectivement module de déformation et coeff de poisson.

$I$ : coeff de forme, sans dimension, dépend des dimensions de la semelle et de sa rigidité

La valeur du module de réaction  $K_s$  est donnée par la formule de TERZAGHI (1955) pour les semelles de fondations

$$\text{cas d'une argile: } K_s = \frac{20}{B} K_{s_1} \quad B \text{ en [cm]}$$

$$0,5 < K_s < 12 \text{ kg/cm}^3 \quad K_{s_1} = 3 \text{ kg/cm}^3 \quad \text{coeff du sol.}$$

$$\text{Exemple de calcul: semelle "S}_6": \quad \sigma_1 = 1,45 \text{ kg/cm}^2 \quad \sigma_2 = 1,34 \text{ kg/cm}^2 \\ B = 135 \text{ cm.}$$

$$K_s = \frac{20}{135} \times 3 = 0,44 \text{ kg/cm}^3$$

$$\sigma_1 = 1,45 \text{ kg/cm}^2 \longrightarrow S_1 = \frac{\sigma_1}{K_s} = \frac{1,45}{0,44} = 3,26 \text{ cm} < \bar{s}_{adm} = 5 \text{ cm.}$$

$$\sigma_2 = 1,34 \text{ kg/cm}^2 \longrightarrow S_2 = \frac{\sigma_2}{K_s} = \frac{1,34}{0,44} = 3,02 \text{ cm} < \bar{s}_{adm} = 5 \text{ cm.}$$

$$\text{tassement différentiel} \quad \Delta s = s_{\max} - s_{\min} = 3,26 - 3,02 = 0,24 \text{ cm} < \frac{L}{1000} = 0,55 \text{ cm.}$$

$$\text{Distorsion.} \quad \delta = \frac{\Delta s}{L} = \frac{0,24}{550} = 4,36 \cdot 10^{-4} < 1/500$$

les autres résultats obtenus sont réunis dans le tableau ci-après :

semelle	$\sigma_1$ [kg/cm <sup>2</sup> ]	$\sigma_2$ [kg/cm <sup>2</sup> ]	$s_{max}$ [cm]	$s_{min}$ [mm]	$\Delta s$ [cm]	$s \cdot 10^{-3}$
S <sub>1</sub>	2,09	1,07	4,7	2,4	2,3	4,18
S <sub>2</sub>	2,07	1,87	4,52	4,21	0,31	0,56
S <sub>3</sub>	1,99	1,97	4,48	4,43	0,05	0,09
S <sub>4</sub>	1,42	1,02	3,195	2,295	0,87	1,58
S <sub>5</sub>	2,17	0,46	4,88	1,04	3,85	7,00
S <sub>6</sub>	1,45	1,34	3,96	3,02	0,24	0,44

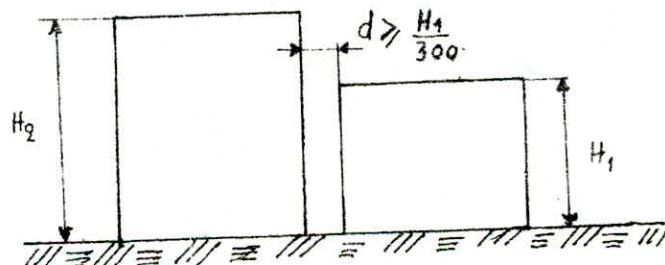
## Etude du joint de dilatation

Un joint de dilation est une coupure destinée à parer à l'action normale des variations thermiques, du retrait de durcissement ou l'expansion du béton. En outre, le joint doit permettre aux blocs adjacents le libre déplacement sans contact préjudiciable.

Pour le remplissage des joints de dilatation, on utilise des plaques de lièges, mastic d'asphalte, matières plastique. Ces matières permettent la transmission d'efforts d'un bloc à l'autre.

Le joint entre deux blocs contigus, d'après le RPA 81 Art 2.3.2-4 aura une largeur supérieure à  $H_1/300$ .

$H_1$  : représente la hauteur du bloc le moins haut.



$$d_{\min} = 2 \text{ cm} \quad (\text{Art } 2.3.2-5 \text{ RPA 81})$$

dans notre cas  $H_1 = H_2 = 9,20 \text{ m}$ . d'où  $d \approx 3,1 \text{ cm} > 2 \text{ cm}$ .

le calcul statique donne une valeur comparable;  $3,67 \text{ cm}$ .

## Renversement de la poutre de précontrainte

Pour pallier au renversement de la poutre de précontrainte, le mur de remplissage reprendrait les efforts de renversement,

# CONCLUSION 84.

Pour conclure, nous dirons qu'un projet de fin d'études est en réalité une synthèse de toutes connaissances acquises le long de la formation scolaire et une mise en application de celles-ci à un cas spécifique.

Pour ce qui nous concerne, nous les avons appliquées à une salle de sport à ossature auto-stable avec toiture en béton précontraint. Le principal objectif a été de calculer les éléments résistants.

Le long de notre travail, malgré les diverses difficultés qui nous ont amené soit à reconcevoir partiellement le projet, soit à ajouter certains éléments indispensables, nous avons appris et connu

Nous sortons de l'ENPA avec un bagage nécessaire pour résoudre faire face aux problèmes qui se présenteront dans la vie active.

La réussite de ce travail va de l'encadrement de nos professeurs et surtout du promoteur.

Nous sommes animés présentement de cette joie d'être enfin de cycle, et dans le même contexte, encourageons ceux qui seront le futurs.

## BIBLIOGRAPHIE

- Regles Techniques CCBA 68
- Regles Parasismiques Algeriennes RPA81 (Edition 83)
- Regles Neige et Vent N65.
- Calcul et Verification des Ouvrages en B.A (P. CHARON)
- Cours de Beton Armé (BELAZOUGUI)
- Aide Memoire de Beton (DUNOD)
- Pratique du Beton Precontraint (DREUX)
- Beton Precontraint (GUYON)
- Cours pratique de mecanique de sol , Tome 1et2 (costet - SANGERAT)

